

وزارة التعليم والبحث العلمي

MINISTÈRE DE L'ENSEIGNEMENT ET DE LA RECHERCHE SCIENTIFIQUE

ECOLE NATIONALE POLYTECHNIQUE

DEPARTEMENT

DE GENIE MECANIQUE

PROJET DE FIN D'ETUDES

En vue de l'obtention du diplôme d'Ingénieur d'Etat

S U J E T

**Construction Analytique d'un
système de vibro-isolation
du corps d'un homme
opérateur assis**

Proposé par :

Mohamed KERDJOUDJ

Etudié par :

Dirigé par :

Mr Marek KSIAZEK

PROMOTION : Juin 1985

Sillio

DEDICACES

je dédie ce modeste travail à :

Mon pays L'Algérie

Mes parents

toute ma famille

Mes sincères et fidèles amis.

REMERCIEMENTS

Je tiens à remercier Monsieur Marek Ksiaszek pour son aide et son suivi durant cette étude ainsi que tous les professeurs et assistants qui ont contribuer à ma formation.

NOM : PRENOM : KERDJOUJD MOHAMED

DEPARTEMENT : GENIE-MECANIQUE

PROMOTEUR : Marek KSIAZEK

ملخص

الموضوع: مشروع تحليلي لإيجاد أفضل نظام عازل للاهتزاز.

الملخص: يتطرق هذا المشروع إلى دراسة عمل الاهتزاز عن سائق عربة متحركة على طريق به ثباتات عشوائية. يعرض أن هذه التحريضات ذات إتجاه عمودي، وجدنا بواسطة معادلة فينر- هوبف، أفضى
أفضل نظام عازلة للاهتزاز من أجهزة تحريض ذات كثافة طيفية معروفة
من قبل.

Résumé

Sujet: construction analytique d'un système optimum de vibro-isolation du corps d'un homme opérateur assis.

Résumé: Notre projet consiste en l'étude de vibro-isolation d'un conducteur de véhicule en mouvement sur une chaussée comportant des irrégularités aléatoires. En supposant que ces excitations sont unidimensionnelles (verticales), on a trouvé à l'aide de l'équation de Wiener-Hopf, des systèmes de vibro-isolation optima pour des excitations de densités spectrales supposées connues.

Summary

Subject: Analytical design of an optimum vibro-isolation system.

Abstract: the content of the study includes analytical determination of uni-dimensional optimum Vibro-isolation systems based on the Wiener-Hopf equation for a driverbody of a vehicle subjected to the stochastic excitations. The power spectral densities of the excitations were considered known. Some numerical examples have been developed.

SOMMAIRE

	Page
INTRODUCTION	I
Chap I Generalités	
1.1 processus stochastiques	1
1.2 Caractéristiques des processus stochastiques	
1.2.1 fonction de densité de probabilité.....	2
1.2.2 moyennes statistiques.....	3
1.2.3 moyennes temporelles	3
1.2.4 Variance ou écart-type.....	3
1.3 Processus stationnaire	4
1.4 Processus ergodique	4
1.5 Processus Gaußien	5
1.6 fonctions de corrélation.....	5
1.7 fonction de densité spectrale.....	7
1.8 Relation entre la densité spectrale de puissance et la fonction de corrélation.....	8
1.9. Système stationnaire linéaire	
1.9.1 stationnarité	9
1.9.2 linearité	10
1.9.3 Specification des systèmes linéaires stationnaires	10
1.10 Système physiquement réalisable	
1.10.1 système stable.....	12

1.10.2 Système réalisable	13
1.10.3 Système physiquement réalisable	14
1.11 Relation entre la fonction d'auto-corrélation d'entrée et celle de sortie	15
1.12 Relation entre la densité spectrale d'entrée et celle de sortie	16
1.13 Réponse d'un système linéaire stationnaire sousmis à des entrées aléatoires	17
1.14 Expression de la dispersion du signal de sortie d'un système linéaire stationnaire	18
Chap II Construction analytique d'un S.V. supporté par un élément passif :-	
2.1 Représentation du problème	20
2.2 Hypothèses	20
2.3 Problème de critères de la vibro-isolation	21
2.4 Formulation mathématique du problème	23
2.5 Solution générale du problème par l'équation de Wiener-Hopf	27
Chap III S.V. pour vibro-isoler un corps rigide supporté par un élément passif:	
3.1 Schéma représentatif	28
3.2 Excitation par un bruit blanc	29
3.3 Excitation par un processus tel que $S_{\ddot{e}_0}(f) = 2\alpha_2 N^2 \frac{\Omega^2 - f^2}{(\Omega^2 + f^2)^2 - 4\alpha_2 \Omega^2}$	34

3.4 Determination des fonctions de transfert optimum pour les deux formes d'excitations	43
chap IV S.V. pour vibro-isoler un système dynamique supporté par un élément passif.	
4.1 Schéma représentatif	44
4.2 calcul de l'impédance de déplacement	45
4.3 excitation par un bruit blanc	47
4.4. excitation par un processus tel que	
$S_{\text{ie}_0}(s) = 2\alpha_2 N^2 \frac{\omega^2 - s^2}{(\omega^2 + s^2)^2 - 4\alpha_2 s^2}$	53
4.5 Determination des fonctions de transfert optimum pour le deux formes d'excitations	60
chap V calcul des dispersions et determination des fonctions de transfert optimum du S.V.	
5.1 caractéristiques du système passif	62
5.2 caractéristiques du système dynamique	62
5.3. formes d'excitations	63
5.4 calcul des dispersions de l'écart et de l'accélération	66
5.5 exemples pour la détermination des fonctions de transfert optimum	95
chap VI conclusion	97
bibliographie	99

INTRODUCTION

La vibro-isolation est l'ensemble des moyens techniques permettant d'atténuer l'effet des vibrations des systèmes en mouvement dans le but d'économie, de sécurité ou de confort.

La protection des machines, navires, véhicules et l'homme, contre les vibrations, constitue un problème essentiel de la vie courante et de l'activité de recherche.

cette protection consistera à isoler :

Soit le corps perturbateur ;

Soit les éléments auxquels le système perturbateur est susceptible de transmettre ses forces dynamiques d'excitation;

cette vibro-isolation est assurée :

Soit par des systèmes appelés ; systèmes actifs qui agissent par l'action des servomécanismes, de type pneumatiques ou electro-hydrauliques.

Soit par des systèmes appelés ; systèmes passifs qui agissent par l'action des ressorts et amortisseurs.

Soit par la combinaison des deux systèmes.

Parmis ces vibrations on distingue les vibrations aléatoires qui sont les plus nuisibles est courantes, et se trouvent partout, par exemple le cas d'une roue d'un véhicule et le profil de la piste. cette roue est soumise à ces genres

de vibrations.

on trouve également dans le cas de l'aérodynamique et des appareils volants, des excitations aléatoires telles que les conditions atmosphériques, les variations des rafales du vent, la turbulence, la densité de l'air et etc...

Il y a beaucoup d'autres sources d'excitations aléatoires telles que les vibrations sonores en toutes ces genres.

Donc on se trouve confronté à ces vibrations qui sont des parasites qu'en doit diminuer leur effet par les systèmes de vibro-isolation cités ci-dessus.

L'influence du monde extérieur par ces excitations aléatoires sur l'homme et sur certains machines, en particulier les systèmes de commande automatique, s'exerce par leurs organes sensibles qui sélectionnent l'information requise dans le milieu environnant. L'information est transformée, transmise, accumulée et ensuite utilisée pour réagir sur le monde extérieur.

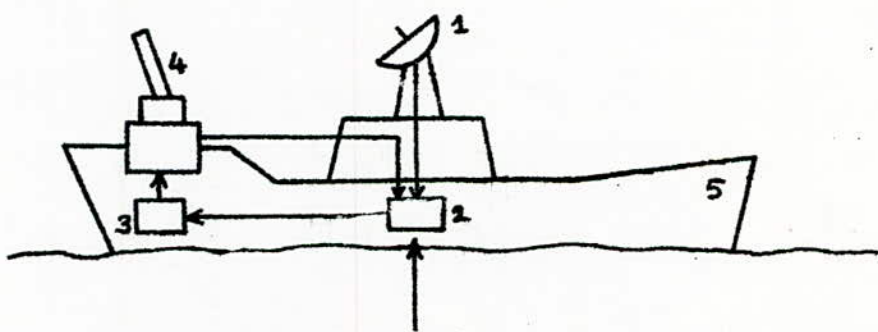
Soit par exemple un bâtiment de guerre doté d'un système de tir anti-aérien. Ce système se compose d'un radar de localisation, d'un calculateur et d'un canon asservi en position (vibro-isolé par un système asservi)

Le radar a pour rôle de déterminer les coordonnées instantanées de l'avion but mobile c-à-d qu'il

fournit l'information primaire sur les conditions extérieures au système de commande, conditions déterminantes de son fonctionnement. le calculateur détermine la trajectoire future probable du but à partir de l'information sur son mouvement passé et d'informations supplémentaires sur l'ambiance externe : (vent, excitations des vagues de la mer qui constituent bien des vibrations aléatoires, vitesse initiale du projectile, etc.) et élaborer le signal de commande du canon.

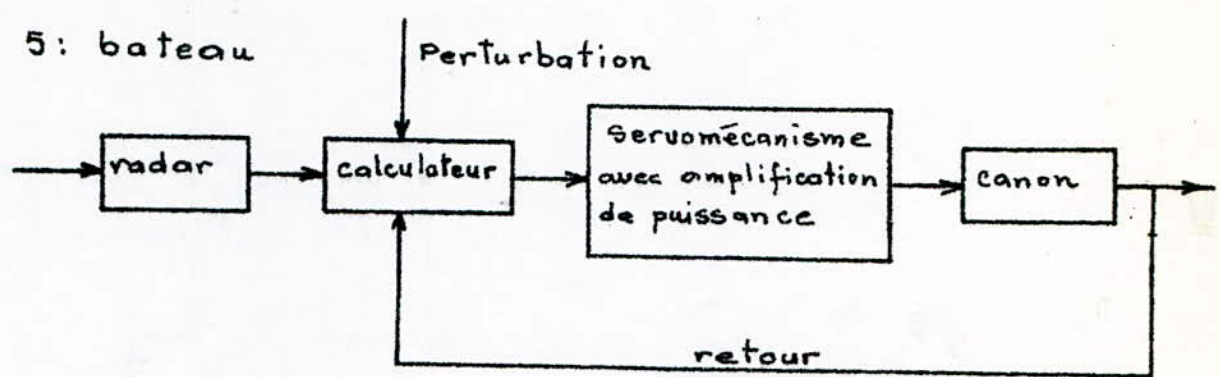
le servomécanisme amplifie le signal de commande reçu du calculateur et oriente le canon le plus exactement possible en fonction de ce signal.

autrement dit le canon est vibro-isolé des vagues de la mer de façon qu'il n'y aura pas manque de la cible.



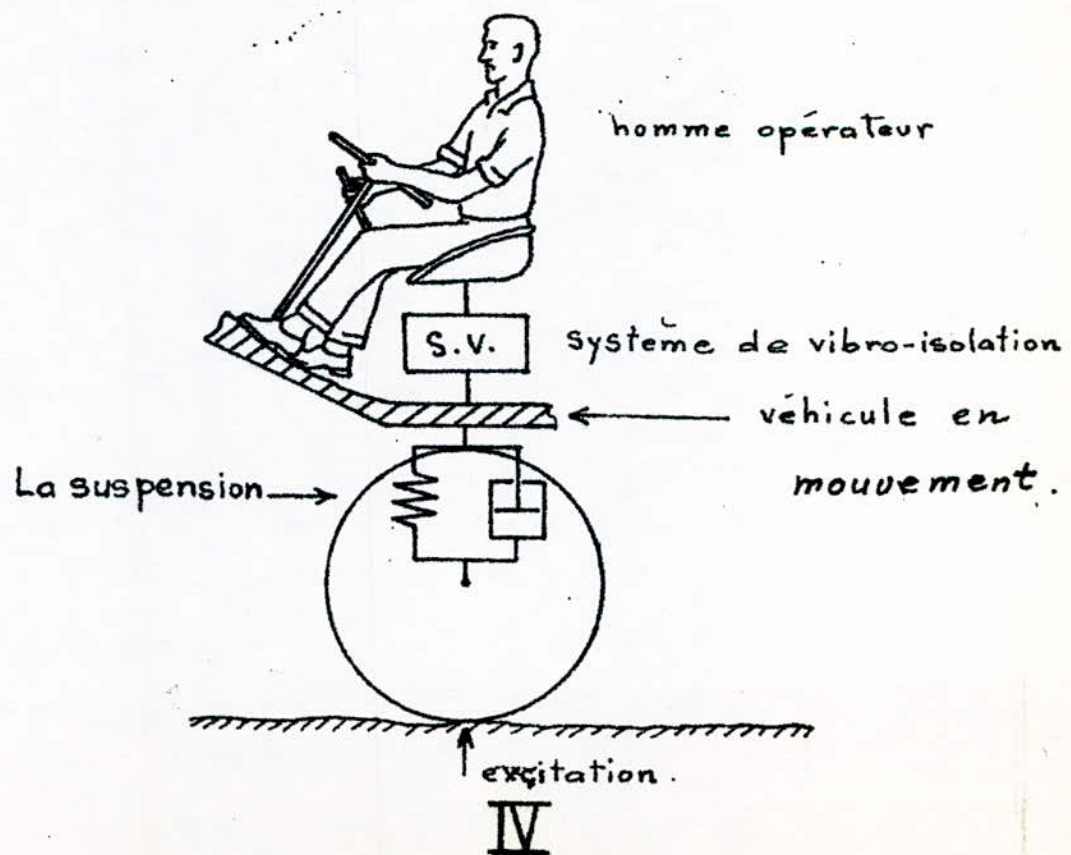
perturbations due aux vagues de la mer
(tangage, roulis, giration et etc...)

- 1: radar
- 2: calculateur
- 3: servomécanisme
- 4: canon
- 5: bateau



BUT DU PROJET

Considerons un véhicule dans lequel il y a un homme assis représenté par la figure ci-dessous:-



à cause du profil de la route , la roue est soumise à des vibrations de nature aleatoire qui se transmettent par suite à l'homme . donc on prévoit un système de vibro-isolation qui permet d'isoler ces vibrations ou diminuer leur effet.

du fait de la complexité de ce système on doit le modéliser par un modèle mathématique qui permet d'optimiser cette vibro-isolation à l'aide de l'équation de Wiener-Hopf tout en considérant l'homme opérateur assis . premièrement comme un corps rigide et deuxièmement comme un système dynamique .

IGENERALITES

1.1 Processus stochastiques:-

Le mot stochastiques est utilisé par les mathématiciens et les physiciens pour désigner les processus ou les phénomènes où il ya un element du hasard. Il est utilisé pour les processus ou les signaux qui ne sont pas purement aleatoires , mais contiennent un certain degré d'alea:

Ces processus sont difficile à approximer par des fonctions prévisible telque fonctions sinusoïdales. donc ils ne peuvent pas être représenté graphiquement de la même façon que ces dernières. Pour un signal stochastique on ne peut pas dire qu'il va y avoir une valeur bien spécifiée telque celle d'un signal prévisible , tout ce qu'on peut dire c'est qu'il y aura une certaine probabilité qui s'étend sur un domaine spécifié de valeurs.

On peut dire donc que l'analyse des signaux stochastiques peut-être exercée en terme de fonctions de densité de probabilité et autre caractéristiques statistiques telque La valeur moyenne , la valeur de la moyenne quadratique et les fonctions de correlations.

Le signal stochastiques est souvent traité comme un élément d'une famille de signaux , chacun d'eux est produit par un processus identique .

en effet le concept d'ensemble pour les signaux stochastiques correspond au concept de population en statistiques, donc les caractéristiques d'un signal stochastique est généralement rapporté à l'ensemble, non à un signal particulier de l'ensemble.

1.2 Caractéristiques des processus stochastiques:-

1.2.1 fonction de densité de probabilité:-

Un processus stochastique peut être représenté par une fonction de deux variables $f(\tilde{x}, t)$, tel que \tilde{x} est un vecteur aléatoire défini par $\tilde{x}: \Omega \rightarrow \mathbb{R}^n$, et Ω : un espace échantillon t : le temps variable sur l'axe réel du temps.

alors la fonction de répartition est définie par:-

$$F_{\tilde{x}}(x_1, t_1, \dots, x_n, t_n) = \int_{-\infty}^{x_1} \int_{-\infty}^{x_2} \dots \int_{-\infty}^{x_n} f_{\tilde{x}}(y_1, t_1, \dots, y_n, t_n) dy_1 \dots dy_n$$

par suite on peut définir la fonction de densité de probabilité:

$$\text{- } \forall \tilde{x} \in \mathbb{R}^n \quad f_{\tilde{x}}(x_1, t_1, \dots, x_n, t_n) \geq 0$$

$$\text{- } \int_{-\infty}^{+\infty} \int_{-\infty}^{+\infty} \dots \int_{-\infty}^{+\infty} f_{\tilde{x}}(x_1, t_1, \dots, x_n, t_n) dx_1 \dots dx_n = 1$$

cette dernière relation nous montre que nous sommes certains que le signal est quelque part dans le domaine $(-\infty, +\infty)$

- un processus stochastique est défini de plus en plus en détail si l'ordre de la fonction de densité de probabilité augmente.
- dans le cas d'une réalisation du 1^{er} ordre on a:-

$$f(x) = \frac{dF(x)}{dx}$$

c'est une fonction positive dont l'amplitude en chaque point est proportionnelle à la concentration des réalisations qu'on peut y observer sur un nombre à la limite infinie d'expériences.

1.2.2. Moyennes statistiques:-

- valeur moyenne

$$\tilde{x}(t_1) = \int_{-\infty}^{+\infty} x_1 f(x_1, t_1) dx_1$$

- valeur de la moyenne quadratique:

$$\tilde{x}^2(t_1) = \int_{-\infty}^{+\infty} x_1^2 f(x_1, t_1) dx_1$$

1.2.3 Moyennes temporelles:

- valeur moyenne temporelle

$$\overline{x(t)} = \lim_{T \rightarrow \infty} \frac{1}{2T} \int_{-\infty}^{+\infty} x(t) dt$$

- valeur moyenne quadratique

$$\overline{x^2(t)} = \lim_{T \rightarrow \infty} \frac{1}{2T} \int_{-\infty}^{+\infty} x^2(t) dt$$

1.2.4 Variance ou écart-type:-

$$\sigma^2(t) = \sigma(t) = \left[\overline{x(t)} - \overline{\overline{x(t)}} \right]^2 = \overline{x^2(t)} - \left[\overline{x(t)} \right]^2$$

ou

$$\sigma^2(t) = \sigma(t) = \int_{-\infty}^{+\infty} x^2 f(x, t) dx - \left[\int_{-\infty}^{+\infty} x f(x, t) dx \right]^2$$

1.3. Processus stationnaire:-

le processus stationnaire est défini par que la fonction de densité de probabilité reste invariable quand il y'a un changement de l'origine du temps. en fait la fonction de densité de probabilité d'ordre 1 est invariable avec le temps et celle du 2^{ème} ordre dépend seulement de la différence entre t_1 et t_2 et ainsi de suite.

pour cela on peut écrire :-

$$m = \overline{x(t)} = \text{constante} = E(X(t_1)) = E(X(t_2))$$

$$\text{et } \sigma^2 = \sigma = E(X(t_1)^2) = E(X(t_2)^2) = \text{constante}$$

1.4 Processus ergodique:-

un processus est dit ergodique si on a pour lequel les moyennes temporelles sont égales aux moyennes statistiques.

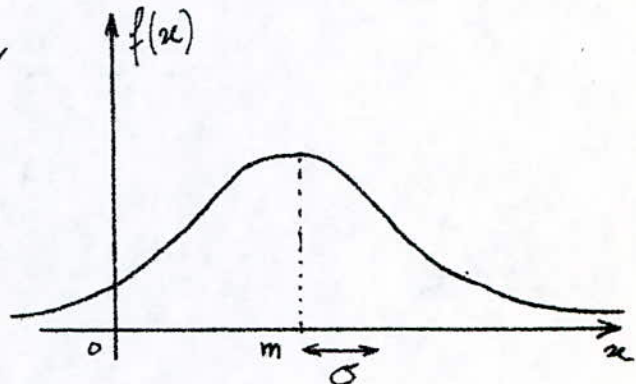
L'ergodicité est une propriété extrêmement intéressante car elle permet d'obtenir les caractéristiques d'un processus aléatoire à partir d'un seul enregistrement, suffisamment long, au lieu d'exiger la connaissance d'un très grand nombre d'échantillons.

donc pour un processus stationnaire et ergodique il y en a autant d'informations dans un enregistrement de longue durée que dans de multiples réalisations.

1.5. Processus Gaussien :-

le processus Gaussien est rencontré souvent en pratique, par exemple dans le cas des bruits. Il est caractérisé totalement par la fonction de densité de probabilité $f(x)$ qui peut-être décrit analytiquement par les deux paramètres m et σ , la moyenne et l'écart-type respectivement.

$$f(x) = \frac{1}{\sqrt{2\pi}\sigma} \exp -\frac{1}{2} \left(\frac{x-m}{\sigma} \right)^2$$



1.6 fonctions de corrélations:-

d'habitude les fonctions de densité de probabilité d'une excitation stochastique n'entrent pas directement dans l'analyse, mais ce qui est employé c'est des fonctions qui se rapportent de près à la 2^{ème} fonction de densité de probabilité. ces fonctions sont appelées ; fonctions de corrélations.

La fonction d'auto-corrélation est définie en général comme la moyenne statistique du d'un signal à un temps t_1 et de la valeur d'un même signal au temps $t_2 = t_1 + \tau$. soit

$$R_{xx}(t_1, \tau) = \overline{x(t_1) \cdot x(t_1 + \tau)} = \int_{-\infty}^{+\infty} \int_{-\infty}^{+\infty} x_1 x_2 \cdot f(x_1, t_1; x_2, t_2) dx_1 dx_2$$

si le processus devient stationnaire la fonction d'auto-correlation est simplifiée et sera indépendante du temps dans lequel la moyenne statistique a été prise et par suite elle dépend seulement du paramètre du temps τ .

En outre avec l'hypothèse d'ergodicité on peut calculer la fonction d'auto-correlation à la moyenne temporelle :

$$S_{xx}(\tau) = \overline{x(t) \cdot x(t+\tau)} = \lim_{T \rightarrow \infty} \frac{1}{2T} \int_{-T}^{+T} x(t) \cdot x(t+\tau) dt.$$

- Fonction de corrélation mutuelle temporelle:-

de la même façon on peut définir la fonction de corrélation mutuelle temporelle, de deux signaux x, y produit par deux sources différentes :

$$S_{xy}(\tau) = \overline{x(t) \cdot y(t+\tau)} = \lim_{T \rightarrow \infty} \frac{1}{2T} \int_{-T}^{+T} x(t) \cdot y(t+\tau) dt.$$

- propriétés de la fonction d'auto-correlation:-

1. on remarque que le changement de signe de τ dans $S_{xx}(\tau) = \overline{x(t) \cdot x(t+\tau)}$ ne change pas la valeur moyenne du produit.

donc la fonction d'auto-correlation est paire : $S_{xx}(\tau) = S_{xx}(-\tau)$

2. $\forall \tau$ on a $|S_{xx}(\tau)| \leq S_{xx}(0)$.

- propriétés de la fonction de corrélation mutuelle:-

1. de même on peut écrire $S_{xy}(\tau) = S_{yx}(-\tau)$.

2. $\forall \tau$ on a $|S_{xy}(\tau)| \leq \sqrt{S_{xx}(0) \cdot S_{yy}(0)}$

1.7. fonction de densité spectrale:-

La puissance d'un signal aléatoire est par définition:-

$$P = \lim_{T \rightarrow \infty} \frac{1}{2T} \int_{-T}^{+T} x^2(t) dt$$

en outre on a par définition de la transformée de Fourier:-

$$X(j\omega) = \int_{-\infty}^{+\infty} x(t) e^{-j\omega t} dt \quad \text{ou} \quad x(t) = \frac{1}{2\pi} \int_{-\infty}^{+\infty} X(j\omega) e^{j\omega t} d\omega$$

par définition on a l'énergie d'un signal dans l'intervalle de temps $[t_1, t_2]$ donnée par:-

$$E = \int_{t_1}^{t_2} x^2(t) dt.$$

$$\begin{aligned} \int_{-\infty}^{+\infty} x^2(t) dt &= \frac{1}{2\pi} \int_{-\infty}^{+\infty} x(t) \int_{-\infty}^{+\infty} X(j\omega) e^{j\omega t} d\omega dt \\ &= \frac{1}{2\pi} \int_{-\infty}^{+\infty} X(j\omega) d\omega \int_{-\infty}^{+\infty} x(t) e^{j\omega t} dt \\ &= \frac{1}{2\pi} \int_{-\infty}^{+\infty} X(j\omega) X(-j\omega) d\omega = \frac{1}{2\pi} \int_{-\infty}^{+\infty} |X(j\omega)|^2 d\omega \end{aligned}$$

donc:

$$\int_{-\infty}^{+\infty} x^2(t) dt = \frac{1}{2\pi} \int_{-\infty}^{+\infty} |X(j\omega)|^2 d\omega. \quad (1)$$

comme le membre de gauche constitue l'énergie du signal $x(t)$, il en est de même, au coefficient 2π près, de $\int_{-\infty}^{+\infty} |X(j\omega)|^2 d\omega$, ainsi, la fonction $|X(j\omega)|^2$ est appelée : densité spectrale d'énergie.

la limite des deux intégrales (1), définira, au coefficient 2π près, la densité spectrale de puissance de $X(t)$.

$$P = \lim_{T \rightarrow \infty} \frac{1}{2T} \int_{-T}^{+T} x^2(t) dt = \frac{1}{2\pi} \int_{-\infty}^{+\infty} \lim_{T \rightarrow \infty} \frac{|X(j\omega)|^2}{2T} d\omega.$$

$$S(\omega) = \lim_{T \rightarrow \infty} \frac{|X(j\omega)|^2}{2T} \quad \text{densité spectrale de Puissance.}$$

et La Puissance P est :-

$$P = \frac{1}{2\pi} \int_{-\infty}^{+\infty} S(\omega) d\omega = \text{Variance.}$$

1.8. Relation entre la densité spectrale de puissance et la fonction de corrélation :-

soit $S(\omega)$ la densité spectrale de puissance définie par : $S(\omega) = \lim_{T \rightarrow \infty} \frac{1}{2T} |X(j\omega)|^2 = \lim_{T \rightarrow \infty} \frac{1}{2T} X(j\omega) X(-j\omega)$

$$S(\omega) = \lim_{T \rightarrow \infty} \frac{1}{2T} \int_{-T}^{+T} x(t_1) \cdot e^{-j\omega t_1} dt_1 \cdot \int_{-T}^{+T} x(t_2) \cdot e^{j\omega t_2} dt_2$$

$$S(\omega) = \lim_{T \rightarrow \infty} \frac{1}{2T} \int_{-T}^{+T} \int_{-T}^{+T} x(t_1) \cdot x(t_2) e^{-j\omega(t_1 - t_2)} dt_1 \cdot dt_2$$

faisant un changement de variables :-

$$t = t_2 \quad \text{et} \quad \tau = t_1 - t_2$$

on a

$$S(\omega) = \lim_{T \rightarrow \infty} \int_{-T+t}^{T+t} \left(\frac{1}{2\pi} \int_{-T}^{+T} x(t) \cdot x(t-\tau) dt \right) e^{-j\omega\tau} d\tau.$$

mais la fonction de corrélation s'écrit :-

$$\rho(\tau) = \rho(-\tau) = \lim_{T \rightarrow \infty} \frac{1}{2T} \int_{-T}^{+T} x(t) \cdot x(t-\tau) dt.$$

donc :-

$$S(\omega) = \lim_{T \rightarrow \infty} \int_{-T+t}^{T+t} \rho(\tau) \cdot e^{-j\omega\tau} d\tau = \int_{-\infty}^{+\infty} \rho(\tau) \cdot e^{-j\omega\tau} d\tau.$$

et finalement :-

$$S(\omega) = \int_{-\infty}^{+\infty} \rho(\tau) \cdot e^{-j\omega\tau} d\tau$$

on remarque donc que la densité spectrale de puissance d'un signal aléatoire est la transformée de Fourier de la fonction de corrélation.

propriétés de la densité spectrale de puissance :-

on démontre que :-

- $S(\omega) = S(-\omega)$
- $\forall \omega \text{ on a } S(\omega) \geq 0$

1.9. Système stationnaire linéaire :-

1.9.1 Stationnarité :-

Soit un système caractérisé par un opérateur fonctionnel Φ qui transforme l'espace des entrées $x(t)$ en l'espace des sorties $y(t)$.

un système non stationnaire est un système dont

le modèle mathématique présente des coefficients variables avec le temps.

- on dit qu'un système est stationnaire si pour lequel l'opérateur associé Φ est invariant avec le temps.

$$\Phi(x(t+\tau)) = y(t+\tau)$$

1.9.2 Linéarité:-

supposons qu'aux signaux d'entrée $x_1(t)$ et $x_2(t)$ le système fasse correspondre les signaux de sortie $y_1(t)$ et $y_2(t)$. le système est dit linéaire si pour α, β on a:-

$$\begin{aligned}\Phi(\alpha x_1(t) + \beta x_2(t)) &= \Phi(\alpha x_1(t)) + \Phi(\beta x_2(t)) \\ &= \alpha \Phi(x_1(t)) + \beta \Phi(x_2(t)) \\ &= \alpha y_1(t) + \beta y_2(t).\end{aligned}$$

1.9.3 Specification des systèmes linéaires

stationnaires:-

- l'opérateur fonctionnel Φ peut être déterminé dans le domaine du temps par l'intégrale de convolution définie ci-dessus par:-

$$y(t) = \int_{-\infty}^{+\infty} h(\tau) \cdot x(t-\tau) d\tau = x(t) * h(t) = (h * x)(t).$$

tel que $y(t)$ est la sortie et $x(t)$ est l'entrée.

- fonction $h(t)$ définie par:

$$h(t-\tau) = \phi(\tau) \delta(t-\tau) \text{ est la transformée}$$

de l'impulsion de Dirac. Pour cela elle s'appelle :
réponse impulsionnelle.

D'autre part l'opérateur Φ peut-être aussi déterminé dans le domaine des fréquences, dans ce cas il est caractérisé par la fonction de transfert $H(s)$ définie par :-

$$Y(s) = H(s) \cdot X(s) \quad (1)$$

en effet on peut obtenir cette relation de l'intégrale de convolution comme suite :-

$$y(t) = \int_{-\infty}^{+\infty} h(\tau) x(t-\tau) d\tau$$

La relation (1) peut-être obtenue de l'intégrale ci-dessus en mettant les deux membres de cette dernière au transformé de Fourier :-

$$\int_{-\infty}^{+\infty} y(t) \cdot e^{-st} dt = \int_{-\infty}^{+\infty} e^{-st} dt \int_{-\infty}^{+\infty} h(\tau) \cdot x(t-\tau) d\tau.$$

Le membre gauche est la transformée de Fourier du signal de sortie $y(t)$ désigné par $Y(s)$, donc :-

$$Y(s) = \int_{-\infty}^{+\infty} h(\tau) \cdot d\tau \int_{-\infty}^{+\infty} x(t-\tau) e^{-st} dt.$$

en changeant la variable d'intégration du 2^{ème} intégrale de t à $t-\tau$ on obtient :-

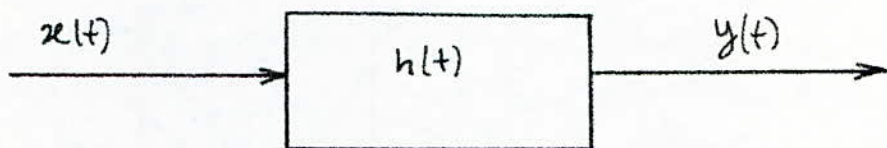
$$Y(s) = \int_{-\infty}^{+\infty} h(\tau) \cdot e^{-s\tau} d\tau \int_{-\infty}^{+\infty} x(t-\tau) \cdot e^{s(t-\tau)} d(t-\tau).$$

La variable $t-\tau$ est une nouvelle variable du 2^{ème} intégrale et le 1^{er} intégrale peut être évalué indépendamment du 2^{ème} donc 1^{er} intégrale = $H(s)$

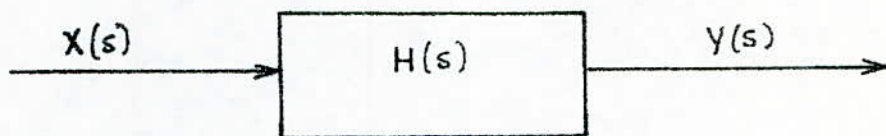
$$2^{\text{ème}} \text{ intégrale} = X(s)$$

et finalement on aura : $y(s) = H(s) \cdot X(s)$

- représentation dans le domaine du temps



- représentation dans le domaine des fréquences:-



1.10 Système physiquement réalisable :-

1.10.1 Système stable :-

un système est dit stable si à toute entrée bornée correspond une sortie bornée. c.à.d :-

$$\forall t \quad |x| \leq M_1 < +\infty \quad \text{correspond} \quad |y| \leq M_2 < +\infty$$

- dans le domaine du temps :

pour une entrée bornée $|x(t)| \leq M$ correspond une sortie $|y(t)| = \int_{-\infty}^{+\infty} |h(\tau) \cdot x(t-\tau)| d\tau$

$$|y(t)| \leq \int_{-\infty}^{+\infty} |h(\tau)| \cdot |x(t-\tau)| d\tau \leq M \int_{-\infty}^{+\infty} |h(\tau)| d\tau$$

donc pour que $|y(t)|$ soit bornée il faut et il suffit que
 l'intégrale : $\int_{-\infty}^{+\infty} |h(\tau)| d\tau$ soit finie

c'est à dire soit absolument intégrable.

- dans le domaine des fréquences :-

on sait que $H(s)$ est la transformée de $h(t)$

$$H(s) = \int_{-\infty}^{+\infty} e^{-st} h(t) dt$$

$$|H(s)| \leq \int_{-\infty}^{+\infty} |e^{-st}| \cdot |h(t)| dt \quad \text{puisque } |e^{-st}| = e^{-\alpha t}$$

on aura $|H(s)| \leq \int_{-\infty}^{+\infty} e^{-\alpha t} |h(t)| dt$.

pour que le système soit stable il faut que la fonction de transfert $H(s)$ ait pour domaine de convergence contenant l'axe imaginaire pour lequel on a $\alpha=0$

c'est à dire $s=j\omega$ donc :

$$H(s) \leq \int_{-\infty}^{+\infty} h(t) dt < +\infty$$

1.10.2. Système réalisable :-

un système réalisable c'est à dire système réel est un système dont la sortie n'anticipe pas l'entrée.

- dans le domaine du temps il faut que

pour $\forall t < 0$, $h(t)=0$

- dans le domaine des fréquences, la condition

pour qu'un système soit réalisable est que la fonction de transfert $H(s)$ ait pour domaine de convergence le demi-plan défini par $\operatorname{Re}\{s\} > \alpha_0$ où α_0 est un nombre fini. dans ce cas, on a les singularités de $H(s)$ se trouvant à gauche de la droite $s = \alpha_0 + j\omega$ de telle façon que :-

$$h(t) = \frac{1}{2\pi j} \int_{\alpha_0 - j\omega}^{\alpha_0 + j\omega} H(s) \cdot e^{st} ds = 0 \text{ pour } t < 0$$

1.40.3. Système physiquement réalisable:-

un système est dit physiquement réalisable s'il est à la fois stable et réalisable.

- dans le domaine du temps :-

$$\int_{-\infty}^{+\infty} |h(t)| dt < +\infty \text{ et } h(t) = 0 \text{ pour } t < 0$$

- dans le domaine des fréquences :

soit le système dont la fonction de transfert a pour module $|H(j\omega)|$. il est dit physiquement réalisable si l'intégrale ci-dessous est définie.

$$\int_{-\infty}^{+\infty} \frac{\log |H(j\omega)|}{1 + \omega^2} d\omega \leq M < +\infty$$

1.11. Relation entre la fonction d'auto-correlation d'entrée et celle de sortie:-

si $x(t)$ est une excitation stochastique d'entrée, d'un système stationnaire linéaire, on sait que $y(t)$ l'excitation de sortie est de même un signal stochastique. On sait de plus que l'intégrale de convolution du signal de sortie est donnée par:

$$y(t) = \int_{-\infty}^{+\infty} h(t_1) x(t-t_1) dt_1$$

de même

$$y(t+\tau) = \int_{-\infty}^{+\infty} h(t_2) x(t+\tau-t_2) dt_2.$$

Or par définition on a la fonction d'auto-correlation donnée par:

$$\rho_{yy}(\tau) = \lim_{T \rightarrow \infty} \frac{1}{2T} \int_{-T}^T y(t) y(t+\tau) dt.$$

Substituant les valeurs de $y(t)$ et $y(t+\tau)$ dans $\rho_{yy}(\tau)$, on obtient:

$$\rho_{yy}(\tau) = \lim_{T \rightarrow \infty} \frac{1}{2T} \int_{-T}^T dt \int_{-\infty}^{+\infty} h(t_1) x(t-t_1) dt_1 \int_{-\infty}^{+\infty} h(t_2) x(t+\tau-t_2) dt_2$$

en permutant l'ordre des intégrations, on aura:-

$$\rho_{yy}(\tau) = \int_{-\infty}^{+\infty} h(t_1) dt_1 \int_{-\infty}^{+\infty} h(t_2) dt_2 \left(\lim_{T \rightarrow \infty} \frac{1}{2T} \int_{-T}^T x(t-t_1) y(t+\tau-t_2) dt \right)$$

Or par définition la fonction d'auto-correlation d'entrée est:-

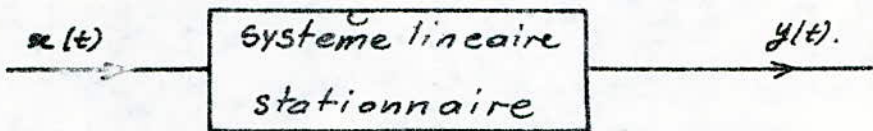
$$\rho_{xx}(\tau+t_1-t_2) = \lim_{T \rightarrow \infty} \frac{1}{2T} \int_{-T}^T x(t-t_1) x(t+\tau-t_2) dt.$$

et ça nous permet d'écrire la relation entre ρ_{yy} et ρ_{xx} :-

$$\rho_{yy}(\tau) = \int_{-\infty}^{+\infty} h(t_1) dt_1 \int_{-\infty}^{+\infty} h(t_2) dt_2 \rho_{xx}(\tau+t_1-t_2)$$

1.12. Relation entre la densité spectrale d'entrée et celle de sortie:-

soit le système de fonction de transfert $H(j\omega)$ et de réponse impulsionnelle $h(t)$ reliant l'entrée $x(t)$ avec la sortie $y(t)$.



La fonction de corrélation est:-

$$S_{xx}(\tau) = \lim_{T \rightarrow \infty} \frac{1}{2T} \int_{-T}^{+T} x(t) \cdot x(t+\tau) dt.$$

et la sortie est reliée à l'entrée à l'aide de l'intégrale de convolution:-

$$y(t) = \int_{-\infty}^{+\infty} h(t_2) \cdot x(t-t_2) dt_2$$

et d'après la relation établie précédemment:-

$$S_{yy}(\tau) = \int_{-\infty}^{+\infty} h(t_1) dt_1 \int_{-\infty}^{+\infty} h(t_2) S_{xx}(\tau+t_1-t_2) dt_2.$$

on peut écrire:-

$$\int_{-\infty}^{+\infty} S_{yy}(\tau) e^{-j\omega\tau} d\tau = \int_{-\infty}^{+\infty} h(t_1) dt_1 \int_{-\infty}^{+\infty} h(t_2) dt_2 \int_{-\infty}^{+\infty} e^{-j\omega\tau} S_{xx}(\tau+t_1-t_2) d\tau.$$

puisque l'on a $S_{xx}(\tau+t_1-t_2) = S_{xx}(\tau) \cdot e^{-(t_1-t_2)}$

donc :

$$\begin{aligned} \int_{-\infty}^{+\infty} S_{yy}(\tau) e^{-j\omega\tau} d\tau &= S_y(\omega) = \int_{-\infty}^{+\infty} h(t_1) e^{-j\omega t_1} dt_1 \int_{-\infty}^{+\infty} h(t_2) e^{-j\omega t_2} dt_2 S_{xx}(\tau) e^{-j\omega\tau} d\tau \\ &= H(j\omega) \cdot H(-j\omega) \cdot S_x(\omega) \end{aligned}$$

donc $S_y(\omega) = |H(j\omega)|^2 S_x(\omega)$

1.13. Réponse d'un système linéaire stationnaire

soumis à des entrées aléatoires :-

notre système à deux entrées aléatoires : une entrée utile $m(t)$ et une entrée perturbatrice $n(t)$. donc la sortie sera :-

$$y(t) = \int_{-\infty}^{+\infty} m(t-t_1) h_1(t_1) dt_1 + \int_{-\infty}^{+\infty} n(t-t_1) h_2(t_1) dt_1$$

et

$$y(t+\tau) = \int_{-\infty}^{+\infty} m(t+\tau-t_2) h_1(t_2) dt_2 + \int_{-\infty}^{+\infty} n(t+\tau-t_2) h_2(t_2) dt_2.$$

d'autre part la fonction de corrélation est donnée par :-

$$S_{yy}(\tau) = \lim_{T \rightarrow \infty} \frac{1}{2T} \int_{-T}^T y(t+\tau) \cdot y(t) dt$$

en portant $y(t+\tau)$ et $y(t)$ dans $S_{yy}(\tau)$ on obtient :-

$$S_{yy}(\tau) = \lim_{T \rightarrow \infty} \frac{1}{2T} \left\{ \int_{-T}^T dt \left[\left(\int_{-\infty}^{+\infty} m(t+\tau-t_2) h_1(t_2) dt_2 + \int_{-\infty}^{+\infty} n(t+\tau-t_2) h_2(t_2) dt_2 \right) \right] \right\}$$

$$\cdot \left(\int_{-\infty}^{+\infty} m(t-t_1) h_1(t_1) dt_1 + \int_{-\infty}^{+\infty} n(t-t_1) h_2(t_1) dt_1 \right)$$

$$S_{yy}(\tau) = \int_{-\infty}^{+\infty} dt_1 \int_{-\infty}^{+\infty} dt_2 \left(h_2(t_2) S_m(\tau+t_1-t_2) h_1(t_2) + h_2(t_2) S_n(\tau+t_1-t_2) h_1(t_2) + h_2(t_1) S_{mn}(\tau+t_1-t_2) h_2(t_2) + h_2(t_1) S_{nm}(\tau+t_1-t_2) h_2(t_2) + h_1(t_1) S_{mn}(\tau+t_1-t_2) h_2(t_2) + h_1(t_1) S_{nm}(\tau+t_1-t_2) h_2(t_2) \right) dt_2$$

après multiplication des deux membres par $\int_{-\infty}^{+\infty} e^{-j\omega t} dt$ on obtient :-

$$S_y(\omega) = |M(j\omega)|^2 S_m(\omega) + |N(j\omega)|^2 S_n(\omega) + M^*(j\omega) S_{mn}(\omega) N(j\omega) + M(j\omega) S_{nm}(\omega) N^*(j\omega).$$

où $M(j\omega)$ et $N(j\omega)$ sont les fonctions de transfert de m et n respectivement.

dans le cas où les deux entrées m et n sont indépendantes c.-à-d qu'il n'y a pas de corrélation entre elles donc

$$S_{mn}(\omega) = S_{nm}(\omega) = 0 \quad \text{on obtient : -}$$

$$S_y(\omega) = |M(j\omega)|^2 S_m(\omega) + |N(j\omega)|^2 S_n(\omega)$$

1.14 Expression de la dispersion du signal de sortie d'un système linéaire stationnaire :-

soit un système linéaire stationnaire dont le signal d'entrée est $x(t)$ et ce de la sortie $y(t)$. on désire exprimer la dispersion du signal de sortie $y(t)$. pour cela on suppose que la valeur moyenne est nulle . donc :-

$$\sigma_y^2 = \lim_{T \rightarrow \infty} \frac{1}{2T} \int_{-T}^T y(t)^2 dt = \lim_{T \rightarrow \infty} \frac{1}{2T} \int_{-T}^T y(t) \cdot y(t) dt .$$

$$\text{avec } y(t) = \frac{1}{2\pi} \int_{-\infty}^{+\infty} Y(-j\omega) \cdot e^{-j\omega t} d\omega .$$

$$\text{on aura : } \sigma_y^2 = \lim_{T \rightarrow \infty} \frac{1}{2T} \int_{-T}^{+T} y(t) \cdot \left(\frac{1}{2\pi} \int_{-\infty}^{+\infty} Y(-j\omega) e^{-j\omega t} d\omega \right) dt$$

$$\text{on peut écrire : } Y(-j\omega) = H_{Y/X}(-j\omega) \cdot X(-j\omega)$$

$$\sigma_y^2 = \lim_{T \rightarrow \infty} \frac{1}{2T} \int_{-T}^{+T} y(t) \cdot \left(\frac{1}{2\pi} \int_{-\infty}^{+\infty} H_{Y/X}(-j\omega) \cdot X(-j\omega) e^{-j\omega t} d\omega \right) dt .$$

$$\sigma_y^2 = \lim_{T \rightarrow \infty} \frac{1}{2T} \int_{-T}^{+T} H_{Y/X}(-j\omega) \cdot X(-j\omega) \cdot \underbrace{\frac{1}{2\pi} \int_{-\infty}^{+\infty} y(t) e^{-j\omega t} dt}_{I} .$$

$$\text{avec } I = Y(j\omega) = H_{Y/X}(j\omega) \cdot X(j\omega)$$

$$\sigma_y^2 = \lim_{T \rightarrow \infty} \frac{1}{2T} \cdot \frac{1}{2\pi} \int_{-T}^T H_{y/x}(-j\omega) \cdot X(-j\omega) \cdot H_{y/x}(j\omega) \cdot X(j\omega) d\omega$$

$$\sigma_y^2 = \lim_{T \rightarrow \infty} \frac{1}{2T} \cdot \frac{1}{2\pi} \int_{-T}^T |H_{y/x}(j\omega)|^2 \cdot |X(j\omega)|^2 d\omega$$

$$\sigma_y^2 = \frac{1}{2\pi} \int_{-\infty}^{+\infty} |H_{y/x}(j\omega)|^2 \underbrace{\lim_{T \rightarrow \infty} \frac{|X(j\omega)|^2}{2T}}_{S_x(\omega)} d\omega$$

donc $\sigma_y^2 = \frac{1}{2\pi} \int_{-\infty}^{+\infty} |H_{y/x}(j\omega)|^2 S_x(\omega) d\omega$

dans le cas particulier :-

- dispersion de l'écart ($x(t) - x_0(t)$) telle que $x(t)$ est la sortie et $x_0(t)$ est l'entrée.

$$\sigma_{x-x_0}^2 = \frac{1}{2\pi j} \int_{-j\infty}^{+j\infty} \left| \frac{Hx - x_0(s)}{x_0} \right|^2 S_{x_0}(s) ds$$

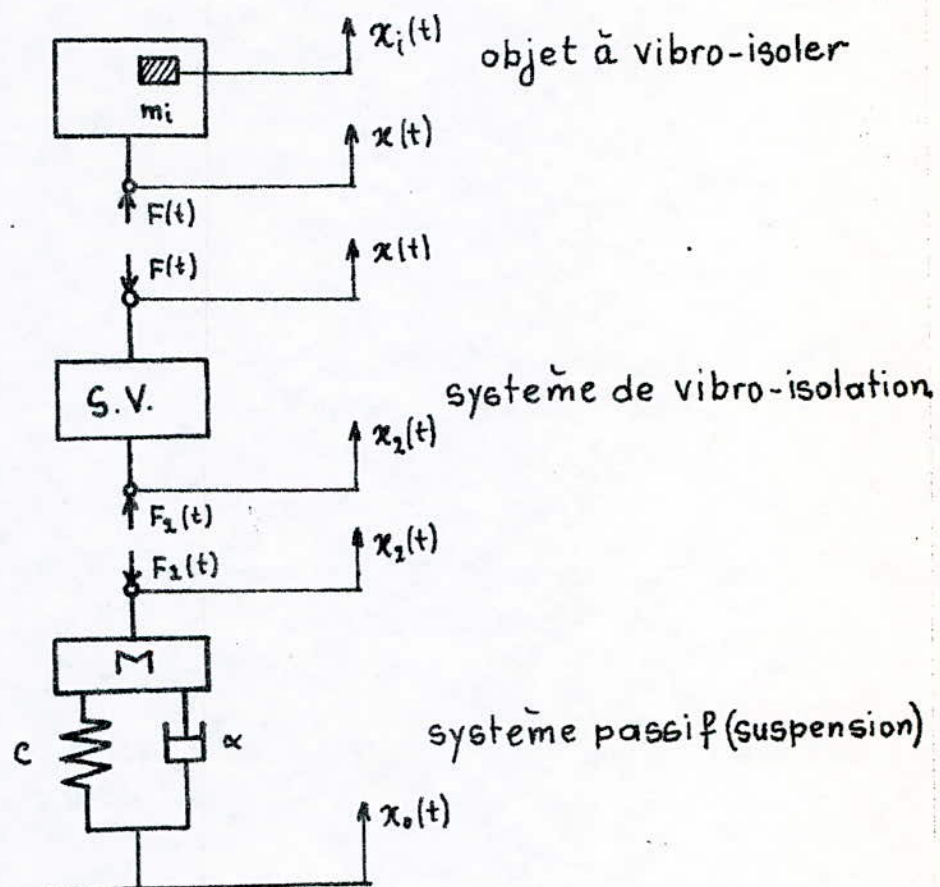
- dispersion de l'accélération de sortie $\ddot{x}(t)$

$$\sigma_{\ddot{x}}^2 = \frac{1}{2\pi j} \int_{-j\infty}^{+j\infty} \left| H\ddot{x}/\ddot{x}_0(s) \right|^2 S_{\ddot{x}_0}(s) ds$$

avec $s = j\omega$

II CONSTRUCTION ANALYTIQUE D'UN S.V. SUPPORTÉ PAR UN ELEMENT PASSIF

2.1 representation du problème:-



2.2. Hypothèses:-

pour faire la construction analytique d'un tel système de vibro-isolation on a recours aux hypothèses suivantes:

- le système est linéaire et a structure inconnue.

- on suppose qu'il n'existe que des vibrations verticales
- l'excitation $x_0(t)$ est un processus normal, stationnaire et ergodique. Sa densité spectrale est une fonction rationnelle de ω^2
- on suppose qu'il n'y a aucune action des systèmes sur l'excitation.

2.3 Problème de critères de la vibro-isolation:-

2.3.1 Critère de déplacement relatif:-

soit un système caractérisé par son entrée $x_2(t)$, sa sortie $x(t)$ et l'écart entre eux : $\varepsilon(t) = x(t) - x_2(t)$ qui peut être écrit à l'aide de sa valeur quadratique moyenne

$$\langle \overline{\varepsilon(t)}^2 \rangle = \lim_{T \rightarrow \infty} \frac{1}{2T} \int_{-T}^T \varepsilon^2(t) dt$$

notre but est de minimiser cette valeur c-à-d limiter les déplacements relatifs

2.3.2 Critère de l'accélération minimale:

ce critère a pour objet de minimiser l'accélération du système de vibro-isolation donc de lui imposer par la suite la souplesse afin d'avoir du confort et de sécurité.

la valeur quadratique moyenne de l'accélération est :

$$\langle \ddot{x}_i^2 \rangle = \lim_{T \rightarrow \infty} \frac{1}{2T} \int_{-T}^T \ddot{x}_i^2(t) dt .$$

- Notre système de vibro-isolation prévu doit-être d'une part souple pour avoir une accélération minimale, d'autre part il doit être rigide pour limiter les déplacements relatifs. donc nous sommes en présence de deux critères contradictoires. il faut donc trouver une solution optimale satisfaisant à chacun des deux critères sans avoir une influence entre eux.

soient l'écart : $\varepsilon(t) = \mathbf{x}(t) - \mathbf{x}_2(t)$

et l'accélération de la ième masse : $\ddot{x}_i(t)$.
en prenant par hypothèses :

$$\varepsilon(t) = 0 \quad \text{pour } t < 0$$

$$\ddot{x}_i(t) = 0 \quad \text{pour } t < 0$$

- pour mettre au point un compromis entre les deux critères précédents il faut minimiser la fonctionnelle suivante :

$$C = \langle \varepsilon^2(t) \rangle + \sum_{i=1}^n \lambda_i \langle \ddot{x}_i^2(t) \rangle$$

où λ_i sont les multiplicateurs de LAGRANGE
Si on considère que les valeurs moyennes de $\varepsilon(t)$ et $\ddot{x}_i(t)$ sont nulles, on aura :-

$$\langle \varepsilon^2(t) \rangle = \sigma_{\mathbf{x}-\mathbf{x}_2}^2 \quad \text{et} \quad \langle \ddot{x}_i^2(t) \rangle = \sigma_{\ddot{x}_i}^2$$

et la fonctionnelle sera :-

$$C = \sigma_{\mathbf{x}-\mathbf{x}_2}^2 + \sum_{i=1}^n \lambda_i \sigma_{\ddot{x}_i}^2$$

2.4. Formulation mathématique du problème:-
d'après le schéma représentatif de 2.1 on peut écrire pour
le système passif:

$$M\ddot{x}_2 = -Cx_2 + Cx_0 - \alpha x_2 + \alpha x_0 - F_2(t).$$

en passant aux transformées de Fourier on aura:-

$$\ddot{X}_2(s) = \frac{c+\alpha s}{M s^2 + c + \alpha s} \dot{X}_0(s) - \left(\frac{s^2}{M s^2 + c + \alpha s} \right) F_2(s).$$

puisque $F_2(s)$ exprime la dépendance entre le système passif et le système de vibro-isolation.

on peut écrire $F_2(s)$ sous la forme suivante:-

$$F_2(s) = H_1 \ddot{X}_2(s) - H_2 \dot{X}(s).$$

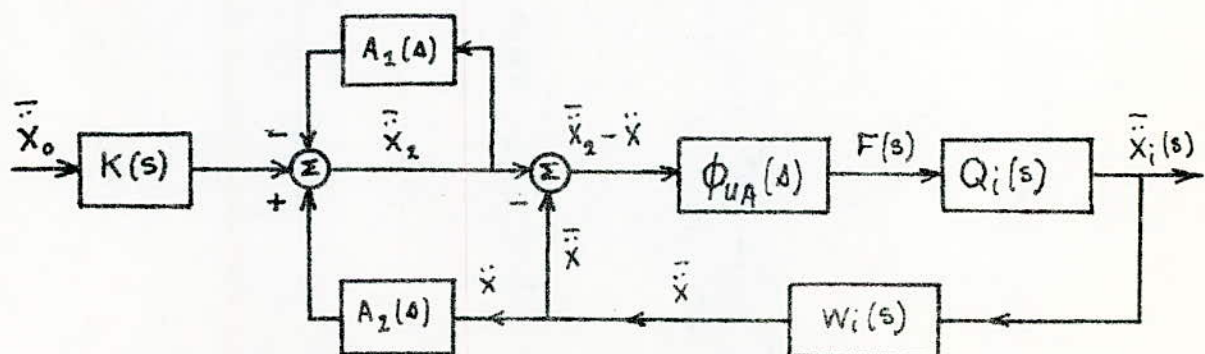
donc :

$$\ddot{X}_2(s) = \frac{c+\alpha s}{M s^2 + c + \alpha s} \dot{X}_0(s) - \frac{s^2 \cdot H_1}{M s^2 + c + \alpha s} \ddot{X}_2(s) + \frac{s^2 \cdot H_2}{M s^2 + c + \alpha s} \dot{X}(s)$$

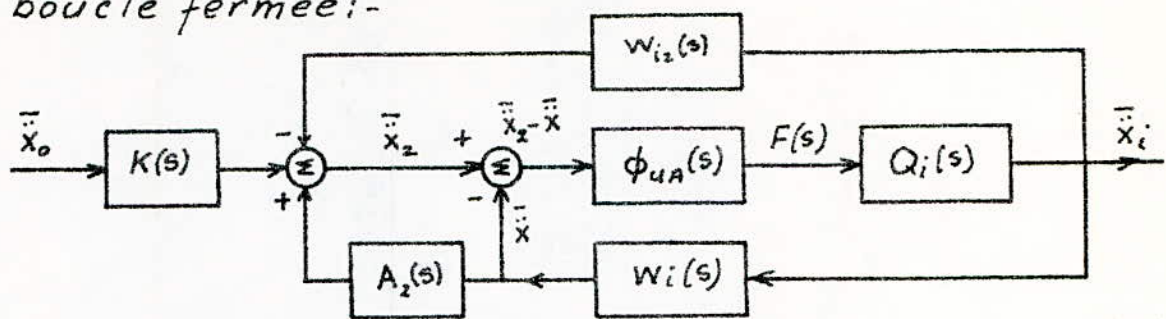
posons $K(s) = \frac{c+\alpha s}{M s^2 + c + \alpha s}$; $A_1(s) = \frac{s^2 \cdot H_1}{M s^2 + c + \alpha s}$ et

$$A_2(s) = \frac{s^2 \cdot H_2}{M s^2 + c + \alpha s}$$

donc on peut représenter le schéma-bloc de notre système comme suit :

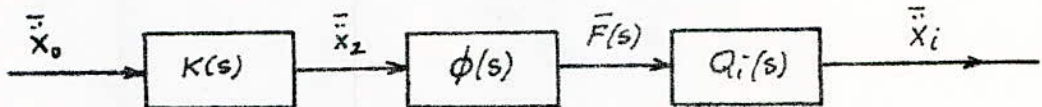


On peut mettre ce schéma-bloc sous la forme:-
boucle fermée:-



avec $w_{i2}(s) = h(s) \cdot A_2(s)$ et $h(s) = \frac{1 + \phi_{UA}(s) \cdot W_i(s) \cdot Q_i(s)}{\phi_{UA}(s) \cdot Q_i(s)}$

boucle ouverté:



$$K(s) = \frac{\bar{x}_2}{\bar{x}_0} , \quad \phi(s) = \frac{\bar{F}(s)}{\bar{x}_2} , \quad Q_i(s) = \frac{\bar{x}_i}{\bar{F}(s)}$$

La fonction de transfert en boucle ouverte est:

$$\frac{\bar{x}_i}{\bar{x}_0} = K(s) \cdot \phi(s) \cdot Q_i(s)$$

La fonction de transfert en boucle fermée est:

$$\frac{\bar{x}_i}{\bar{x}_0} = \frac{\phi_{UA}(s) \cdot Q_i(s) \cdot K(s)}{1 + \phi_{UA}(s) \cdot Q_i(s) \cdot W_i(s) - \phi_{UA}(s) \cdot Q_i(s) \cdot A_2(s) \cdot W_i(s) + \phi_{UA}(s) \cdot Q_i(s) \cdot W_{i2}(s)}$$

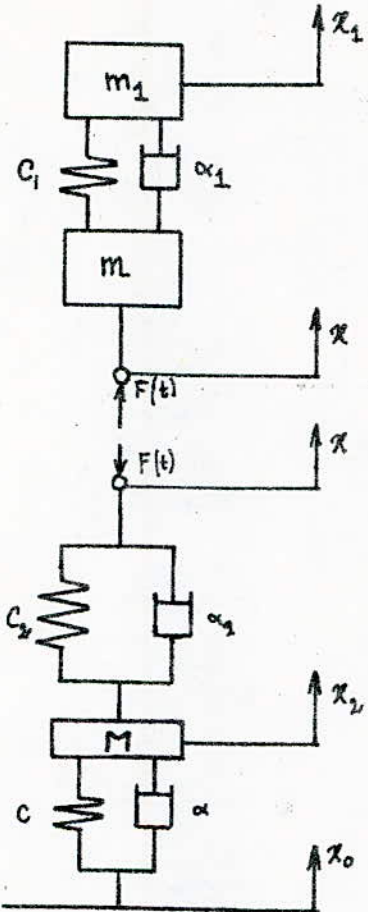
de ces deux fonctions de transfert on tire :

$$\phi_{UA}(s) = \frac{\phi(s)}{1 + (A_2(s) - 1) \cdot Q_i(s) \cdot W_i(s) \cdot \phi(s) - Q_i(s) \cdot W_{i2}(s) \cdot \phi(s)}$$

et

$$\phi(s) = \frac{\phi_{UA}(s)}{1 + \phi_{UA}(s) \cdot Q_i(s) \cdot W_i(s) - \phi_{UA}(s) \cdot Q_i(s) \cdot A_2(s) \cdot W_i(s) + \phi_{UA}(s) \cdot Q_i(s) \cdot W_{i2}(s)}$$

exemple : cas particulier où le système de vibro-isolation est un fauteuil classique composé d'un ressort et d'un amortisseur.



d'après la relation fondamentale de la dynamique on aura le système d'équations suivant:

$$m_1 \ddot{x}_1 = -C_1 x_1 - \alpha_1 \dot{x}_1 + C_1 x_2 + \alpha_1 x_2$$

$$m \ddot{x}_2 = -C_2 x_2 - \alpha_2 \dot{x}_2 + C_2 x_1 + \alpha_2 x_1 + F(t)$$

$$0 = -C_2 x_0 - \alpha_2 \dot{x}_0 + C_2 x_2 + \alpha_2 \dot{x}_2 - F(t)$$

$$\begin{aligned} M \ddot{x}_2 &= -C x_2 + C x_0 - \alpha \dot{x}_2 + \alpha \dot{x}_0 - C_2 x_2 \\ &\quad - \alpha_2 \dot{x}_2 + C_2 x_0 + \alpha_2 \dot{x}_0. \end{aligned}$$

Or par application de la transformation de Fourier on aura:-

$$* \quad \tilde{X}_1(s) = \frac{C_1 + \alpha_1 s}{m_1 s^2 + C + \alpha_1 s} \tilde{X}(s)$$

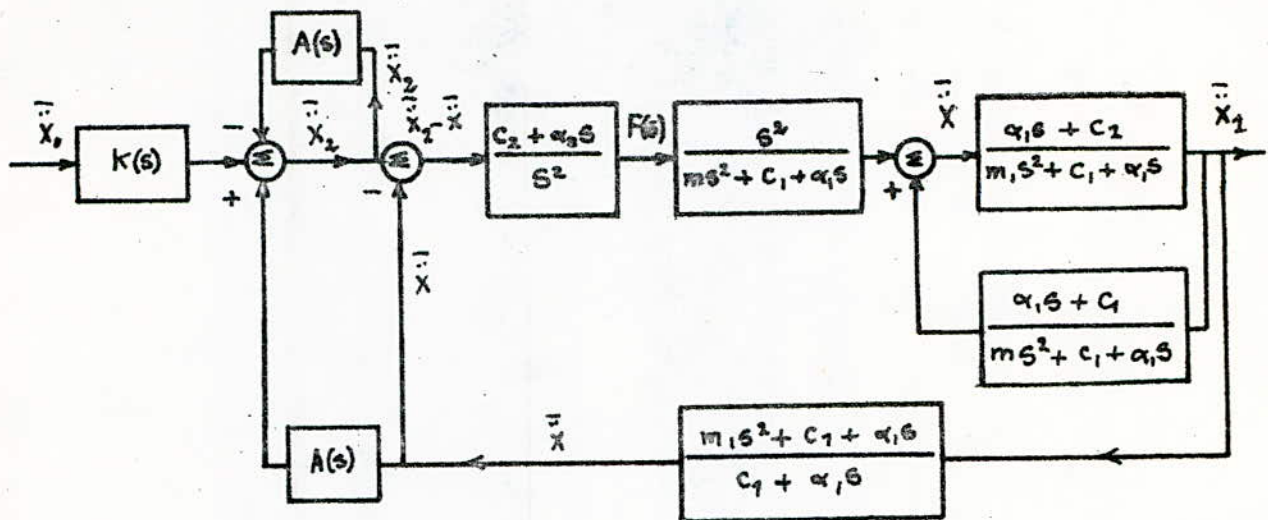
$$* \quad \frac{(m s^2 + C_1 + \alpha_1 s)}{s^2} \tilde{X} = \frac{(C_1 + \alpha_1 s)}{s^2} \tilde{X}_1 + \tilde{F}(s)$$

$$* \quad F(s) = \frac{(C_2 + \alpha_2 s)}{s^2} (\tilde{X}_2 - \tilde{X})$$

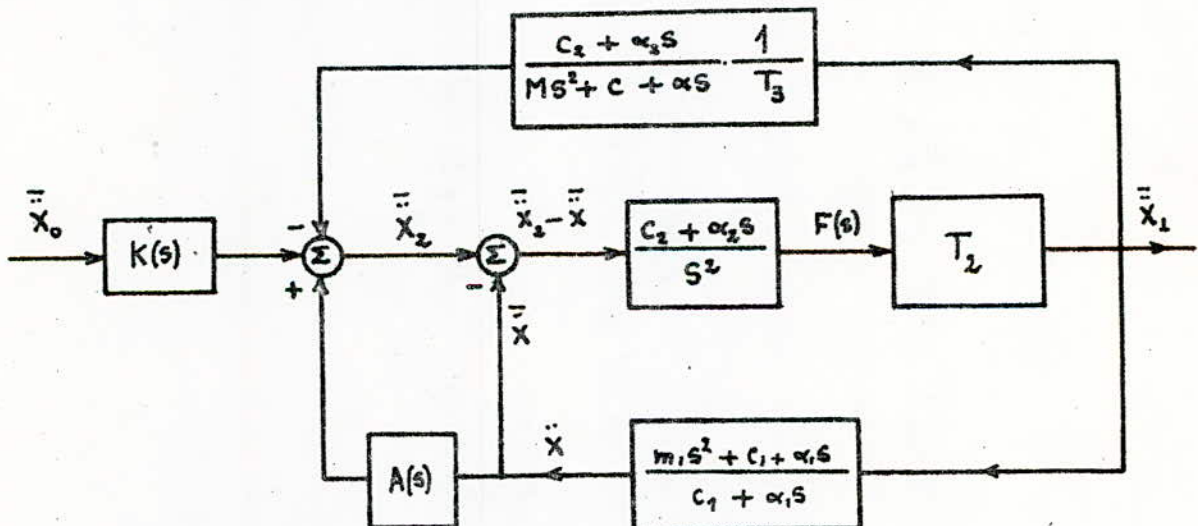
$$* \quad \tilde{X}_2 = \frac{(C + \alpha s)}{M s^2 + C + \alpha s} \tilde{X}_0 - \frac{(C_0 + \alpha_0 s)}{M s^2 + C + \alpha s} \tilde{X}_0 + \frac{(C_2 + \alpha_2 s)}{M s^2 + C + \alpha s} \tilde{X}$$

Posons $K(s) = \frac{C + \alpha s}{M s^2 + C + \alpha s}$ et $A(s) = \frac{C_2 + \alpha_2 s}{M s^2 + C + \alpha s}$

après simulation des équations précédentes on obtient le schéma-block suivant :-



Ce schéma-block peut être réduit comme suit :-



avec

$$T_2 = \frac{\alpha_3^2 (C_1 + \alpha_1 s)}{(m_1 s^2 + C_1 + \alpha_1 s)(m s^2 + \alpha_3 s + C_1) - (C_1 + \alpha_1 s)^2}$$

$$\text{si on pose : } T_1 = \frac{C_2 + \alpha_3 s}{s^2} \quad \text{et} \quad T_4 = \frac{m_1 s^2 + C_1 + \alpha_1 s}{C_1 + \alpha_1 s}$$

on aura :

$$T_3 = \frac{T_1 \cdot T_2}{1 + T_1 \cdot T_2 \cdot T_4}$$

donc on peut dire que le schéma-block du 2.4 est vérifié par cet exemple.

2.5 Solution générale du problème par l'équation de Wiener-Hopf:-

La fonctionnelle qu'on doit optimiser peut être écrite sous la forme suivante:-

$$C = \sigma_{x-x_0}^2 + \sum_{i=1}^n \lambda_i G_{x_i}^2$$

avec $\sigma_{x-x_0}^2 = \frac{1}{2\pi j} \int_{-j\infty}^{j\infty} H_{x-x_0}(s) \left| \frac{\tilde{x}_0(s)}{\tilde{x}_0} \right|^2 ds$

$$G_{x_i}^2 = \frac{1}{2\pi j} \int_{-j\infty}^{j\infty} H_{\ddot{x}_i}(s) \left| \frac{\tilde{x}_0(s)}{\tilde{x}_0} \right|^2 ds$$

pour calculer les deux fonctions de transfert on doit établir les relations suivantes:-

posons $L(s) = \frac{F(s)}{X(s)}$; $L_i(s) = \frac{\bar{X}_i(s)}{\bar{X}(s)}$

$$Q_i(s) = \frac{\bar{X}_i(s)}{F(s)} = \frac{\bar{X}_i(s)}{\bar{X}(s)} \cdot \frac{\bar{X}(s)}{F(s)} = \frac{s^2 L_i(s)}{L(s)}$$

$$W_i(s) = \frac{\bar{X}(s)}{\bar{X}_i(s)} = \frac{1}{L_i(s)}$$

donc les fonctions de transfert sont:-

$$H_{x-x_0}(s) = \frac{\bar{X}(s) - \bar{X}_0(s)}{\bar{X}_0(s)} = \frac{\frac{\bar{X}(s)}{F(s)} - \frac{\bar{X}_0(s)}{F(s)}}{\frac{\bar{X}_0(s)}{F(s)}} = \frac{\frac{1}{L(s)} - \frac{1}{s^2 \phi(s)}}{\frac{1}{k(s) \cdot \phi(s)}}$$

$$H_{x-x_0}(s) = \frac{\left(\frac{s^2 \phi(s)}{L(s)} - 1 \right) \cdot k(s)}{s^2}$$

$$H_{\ddot{x}_i} = \frac{\bar{X}_i(s)}{\bar{X}_0(s)} = \phi(s) \cdot K(s) \cdot Q_i(s) = \frac{s^2 \cdot L_i(s)}{L(s)} \cdot k(s) \cdot \phi(s)$$

posons $G(s) = \frac{s^2}{L(s)}$ on aura :-

$$H_{\frac{\partial \phi}{\partial s}}(s) = \frac{(G(s) \cdot \phi(s) - 1) K(s)}{s^2}$$

et

$$H_{\frac{\partial \phi}{\partial s}}(s) = G(s) \cdot L_i(s) \cdot K(s) \cdot \phi(s)$$

en tenant compte de la propriété $|H(s)|^2 = H(s) \cdot H(-s)$. La fonctionnelle C s'écrit :

$$\begin{aligned} C &= \frac{1}{2\pi j} \int_{-j\infty}^{j\infty} \left\{ \frac{(G(s) \cdot \phi(s) - 1) \cdot K(s)}{s^2} \cdot \frac{(G(-s) \cdot \phi(-s) - 1) \cdot K(-s)}{s^2} \right\} S_{\frac{\partial \phi}{\partial s}}(s) ds + \\ &+ \frac{1}{2\pi j} \int_{-j\infty}^{j\infty} \left\{ \sum_{i=1}^n \lambda_i (G(s) \cdot L_i(s) \cdot \phi(s) \cdot K(s)) \cdot (G(-s) \cdot L_i(-s) \cdot \phi(-s) \cdot K(-s)) \right\} S_{\frac{\partial \phi}{\partial s}}(s) ds. \end{aligned}$$

or d'après l'hypothèse on peut écrire :-

$$S_{\frac{\partial \phi}{\partial s}}(s) = s^4 S_0 \psi(s) \psi(-s) \quad \text{avec } S_0 = \text{constante}$$

on aura donc :-

$$\begin{aligned} C &= \frac{1}{2\pi j} \int_{-j\infty}^{j\infty} \left\{ ((G(s) \phi(s) - 1) K(s)) ((G(-s) \phi(-s) - 1) K(-s)) + \right. \\ &\left. + \sum_{i=1}^n \lambda_i s^4 (G(s) \cdot L_i(s) \cdot \phi(s) \cdot K(s)) \cdot (G(-s) \cdot L_i(-s) \cdot \phi(-s) \cdot K(-s)) \right\} S_0 \psi(s) \psi(-s) ds \end{aligned}$$

soit la fonction définie par $\Phi_w(s) = \phi(s) + \Delta \phi(s)$
 $= \phi(s) + \epsilon \gamma(s)$

où $\gamma(s)$: fonction de balance et

ϵ : paramètre constant

$\phi_w(s)$: est une fonction optimale pour laquelle la fonctionnelle est minimale.

soit la fonctionnelle C^* après avoir remplacé $\phi(s)$ par $\Phi_w(s)$

$$C^* = \frac{1}{2\pi j} \int_{-j\infty}^{j\infty} \left\{ \left[((\phi(s) + \varepsilon \delta(s)) G(s) - 1) K(s) \right] \left[((\phi(-s) + \varepsilon \delta(-s)) G(-s) - 1) K(-s) \right] + \right. \\ \left. + \sum_{i=1}^n \lambda_i s^4 \left[G(s) L_i(s) K(s) (\phi(s) + \varepsilon \delta(s)) \right] \left[G(-s) L_i(-s) K(-s) (\phi(-s) + \varepsilon \delta(-s)) \right] \right\} S_0 \psi(s) \psi(-s) ds$$

La différence entre C et C^* constitue l'erreur notée par:-

$$\Delta C = C^* - C.$$

$$\Delta C = \frac{1}{2\pi j} \int_{-j\infty}^{j\infty} \left\{ \left[(\phi(s) G(s) + \varepsilon \delta(s) G(s) - 1) K(s) \right] \left[(\phi(-s) G(-s) + \varepsilon \delta(-s) G(-s) - 1) K(-s) \right] + \right. \\ \left. - \left[(\phi(s) G(s) - 1) K(s) \right] \left[(\phi(-s) G(-s) - 1) K(-s) \right] + \sum_{i=1}^n \lambda_i s^4 \left[(G(s) L_i(s) K(s) \phi(s) + \right. \right. \\ \left. \left. + G(s) L_i(s) K(s) \delta(s) \varepsilon) (G(-s) L_i(-s) K(-s) \phi(-s) + G(-s) L_i(-s) K(-s) \varepsilon \delta(-s)) \right] + \right. \\ \left. - (G(s) L_i(s) \phi(s) K(s)) (G(-s) L_i(-s) \phi(-s) K(-s)) \right] \right\} S_0 \psi(s) \psi(-s) ds.$$

$$\Delta C = \frac{1}{2\pi j} \int_{-j\infty}^{j\infty} \left\{ \left[\varepsilon^2 \delta(s) \delta(-s) G(s) G(-s) + \varepsilon \delta(s) G(s) G(-s) \phi(-s) + \varepsilon \delta(-s) G(s) G(-s) \phi(s) + \right. \right. \\ \left. \left. - \varepsilon \delta(s) G(s) - \varepsilon \delta(-s) G(-s) \right] K(s) K(-s) + \sum_{i=1}^n \lambda_i s^4 \left[\varepsilon G(s) L_i(s) K(s) \phi(s) \times \right. \right. \\ \left. \left. \times G(-s) L_i(-s) K(-s) \delta(-s) + \varepsilon G(s) L_i(s) K(s) \delta(s) G(-s) L_i(-s) K(-s) \phi(-s) + \right. \right. \\ \left. \left. + \varepsilon^2 G(s) G(-s) L_i(s) L_i(-s) K(s) K(-s) \delta(s) \delta(-s) \right] \right\} S_0 \psi(s) \psi(-s) ds.$$

Identifier $\phi(s)$ à $\Phi_w(s)$ revient à avoir l'écart ΔC minimum pour $\varepsilon = 0$ ce qui se traduit par:-

$$\left. \frac{d(\Delta C)}{d\varepsilon} \right|_{\varepsilon=0} = 0 \quad \text{donc :-}$$

$$\int_{-j\infty}^{+j\infty} \left\{ \left[\bar{\gamma}(s) G(s) G(-s) \phi(s) + \bar{\gamma}(-s) G(s) G(-s) \phi(s) - \bar{\gamma}(s) G(s) - \bar{\gamma}(-s) G(-s) \right] K(s) K(-s) + \right.$$

$$+ \sum_{i=2}^n \lambda_i s^4 \left[G(s) L_i(s) K(s) \phi(s) G(-s) L_i(-s) K(-s) \bar{\gamma}(-s) + \right.$$

$$\left. \left. + G(s) L_i(s) K(s) G(-s) L_i(-s) K(-s) \phi(-s) \bar{\gamma}(s) \right] \right\} S_0 \psi(s) \psi(-s) ds = 0$$

on peut mettre cette intégrale sous la forme :-

$$\int_{-j\infty}^{+j\infty} \left\{ \left[\left(G(s) G(-s) + \sum_{i=2}^n \lambda_i s^4 L_i(s) L_i(-s) G(s) G(-s) \right) K(s) K(-s) \phi(-s) + \right. \right.$$

$$- G(s) K(s) K(-s) \bar{\gamma}(s) + \left[\left(G(s) G(-s) + \sum_{i=2}^n \lambda_i s^4 L_i(s) L_i(-s) G(s) G(-s) \right) \times \right.$$

$$\left. \left. \times K(s) K(-s) \phi(s) - G(-s) K(s) K(-s) \right] \bar{\gamma}(-s) \right\} S_0 \psi(s) \psi(-s) ds = 0$$

Posons $D(s) \cdot D(-s) = 1 + \sum_{i=2}^n \lambda_i s^4 L_i(s) L_i(-s) G(s) G(-s)$

on aura :- $\int_{-j\infty}^{j\infty} \left\{ \left[D(s) \cdot D(-s) \cdot K(s) \cdot K(-s) \phi(-s) \psi(s) \cdot \psi(-s) - G(s) K(s) K(-s) \psi(s) \psi(-s) \right] \bar{\gamma}(s) + \right. \right.$
 $+ \left[D(s) D(-s) K(s) K(-s) \phi(s) \psi(s) \psi(-s) - G(-s) K(s) K(-s) \psi(s) \psi(-s) \right] \bar{\gamma}(-s) \right\} ds = 0$
 $\int_{-j\infty}^{j\infty} \left\{ \left[D(-s) \psi(-s) K(-s) \phi(-s) - \frac{G(s) K(-s) \psi(-s)}{D(s)} \right] D(s) \cdot \psi(s) \cdot K(s) \cdot \bar{\gamma}(s) + \right. \right.$
 $+ \left[D(s) \cdot \psi(s) \cdot K(s) \cdot \phi(s) - \frac{G(-s) K(s) \psi(s)}{D(-s)} \right] D(-s) \psi(-s) K(-s) \bar{\gamma}(-s) \right\} ds = 0$

$D(s) \psi(s) \phi(s) \cdot K(s)$ à des pôles à gauche de l'axe imaginaire.

par conséquent de même pour la fraction $\frac{G(-s) K(s) \psi(s)}{D(-s)}$.

on prend que la partie ayant des pôles à gauche de l'axe imaginaire pour pouvoir effectuer la différence :

$$D(s) \cdot K(s) \cdot \psi(s) \phi(s) - \frac{G(-s) K(s) \psi(s)}{D(-s)} \text{ et cela pour respecter les}$$

conditions de stabilité et de réalisation.

Pour la 1^{ère} intégrale on effectue le changement de variables des par - s on obtient :-

$$\begin{aligned} & - \int_{j\infty}^{j\infty} \left(D(s) \cdot \psi(s) K(s) \phi(s) - \left\{ \frac{G(-s) \cdot \psi(s) K(s)}{D(-s)} \right\}_+ \right) D(-s) \psi(-s) K(-s) \delta(-s) ds = \\ & \int_{-j\infty}^{j\infty} \left(D(s) \psi(s) K(s) \phi(s) - \left\{ \frac{G(-s) \psi(s) K(s)}{D(-s)} \right\}_+ \right) D(-s) \psi(-s) K(-s) \delta(-s) ds. \end{aligned}$$

donc cette intégrale est identique à la 2^{ième}.

La somme des deux intégrales donne :-

$$2 \int_{-j\infty}^{j\infty} \left[D(s) \psi(s) K(s) \phi(s) - \left\{ \frac{G(-s) \psi(s) K(s)}{D(-s)} \right\}_+ \right] D(-s) \psi(-s) K(-s) \delta(-s) ds = 0$$

on aura donc :-

$$\phi(s) = \frac{1}{D(s) \cdot \psi(s) \cdot K(s)} \left\{ \frac{G(-s) \cdot \psi(s) \cdot K(s)}{D(-s)} \right\}_+$$

si on pose $R(s) R(-s) = 1 + \sum_{i=2}^n \lambda_i s^i L_i(s) L_i(-s)$

donc : $D(s) D(-s) = R(s) R(-s) G(s) G(-s) \Rightarrow D(s) = R(s) G(s)$.

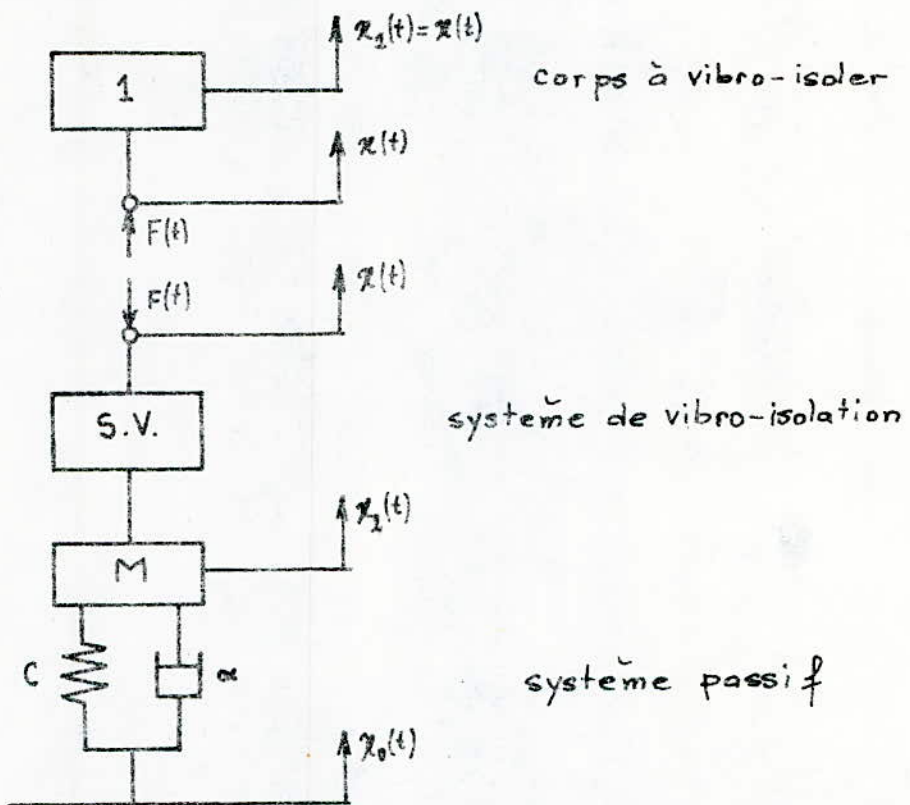
finalement la fonction de transfert optimum du système de vibro-isolation en boucle ouverte est donnée par :

$$\phi(s) = \frac{1}{R(s) G(s) \psi(s) K(s)} \left\{ \frac{\psi(s) \cdot K(s)}{R(-s)} \right\}_+$$

Or en remplaçant $\phi(s)$ dans la relation donnant $\phi_{uf}(s)$ en 2.4 on obtient la fonction de transfert optimum du système de vibro-isolation en boucle fermée.

III S.V. POUR VIBRO-ISOLER UN CORPS RIGIDE SUPPORTÉ PAR UN ÉLÉMENT PASSIF

3.1 Schéma représentatif:-



dans ce cas on a un corps rigide :

$$L_1(s) = \frac{\bar{X}_1(s)}{\bar{X}(s)} = 1 \quad \text{et} \quad R(s)R(-s) = 1 + 2s^4$$

$$L(s) = \frac{F(s)}{X(s)} = ms^2 \implies G(s) = \frac{s^2}{L(s)} = \frac{1}{m}$$

avec la fonction de transfert optimum du système de vibro-isolation :

$$\phi(s) = \frac{1}{R(s)G(s)\psi(s)K(s)} \left\{ \frac{\psi(s) \cdot K(s)}{R(s)} \right\}_+$$

3.2 Excitation par un bruit blanc :-

dans le cas d'un bruit blanc on a la densité spectrale

égale à une constante : $S_{\ddot{x}_0}(s) = N^2$

or par hypothèse on a : $S_{\ddot{x}_0}(s) = S_0^4 \psi(s)\psi(-s)$

par identification on tire : $\frac{N^2}{S^4} = S_0 \psi(s)\psi(-s) \implies$

$$S_0 = N^2 \text{ et } \psi(s) = \frac{1}{S^2}$$

on a $R(s)R(-s) = 1 + \lambda s^4$ qui peut être écrite sous la forme : $R(s)R(-s) = (As^2 + Bs + c)(As^2 - Bs + c)$

par identification on obtient :-

$$A = \sqrt{\lambda}, \quad B^2 = 2\sqrt{\lambda} \quad \text{et} \quad c = 1$$

$$\text{donc } R(s) = \lambda^{1/2}s^2 + \sqrt{2}\lambda^{1/4}s + 1 \text{ et } R(-s) = \lambda^{1/2}s^2 - \sqrt{2}\lambda^{1/4}s + 1$$

la fonction de transfert du système passif est :

$$K(s) = \frac{c + \alpha s}{Ms^2 + c + \alpha s} \quad \text{et} \quad K(-s) = \frac{c - \alpha s}{Ms^2 - \alpha s + c}$$

en remplaçant chaque terme par son expression on obtient :-

$$\phi(s) = \frac{1}{(\lambda^{1/2}s^2 + \sqrt{2}\lambda^{1/4}s + 1) \cdot \frac{1}{m} \cdot \frac{1}{s^2} \cdot \frac{c + \alpha s}{Ms^2 + c + \alpha s}} \left\{ \frac{\frac{1}{s^2} \cdot \frac{c + \alpha s}{Ms^2 + c + \alpha s}}{2^{1/2}A - \sqrt{2}\lambda^{1/4}s + 1} \right\}_+$$

$$\text{soit } N_+ = \left\{ \frac{\frac{1}{s^2} \cdot \frac{c + \alpha s}{Ms^2 + c + \alpha s}}{\lambda^{1/2}s^2 - \sqrt{2}\lambda^{1/4}s + 1} \right\}_+ = \left\{ \frac{\alpha s + c}{s^2(Ms^2 + \alpha s + c)(\lambda^{1/2}s^2 - \sqrt{2}\lambda^{1/4}s + 1)} \right\}_+ \quad (1)$$

décomposons cette fraction rationnelle :

$$N_+ = \left\{ \frac{A}{s^2} + \frac{B}{s} + \frac{Ds + E}{Ms^2 + \alpha s + c} + \frac{Fs + E}{\lambda^{1/2}s^2 - \sqrt{2}\lambda^{1/4}s + 1} \right\}_+ \quad (2)$$

- on remarque que l'équation $\lambda^{1/2}s^2 - \sqrt{2}\lambda^{1/4}s + 1 = 0$ a deux pôles à droite de l'axe imaginaire $s_{1,2} = \frac{\sqrt{2}}{2}\lambda^{1/4}(1 \pm j)$ donc elle ne vérifie pas la condition de stabilité par contre l'équation $Ms^2 + \alpha s + c$ a deux pôles réelles négatifs : $s_{3,4} = \frac{1}{2M}(-\alpha \pm \sqrt{\alpha^2 - 4Mc})$ par conséquent :

$$N_+ = \frac{A}{s^2} + \frac{B}{s} + \frac{Ds + E}{Ms^2 + \alpha s + c}$$

or par identification entre (1) et (2) on trouve :-

$$A = 1 \quad ; \quad B = \sqrt{2}\lambda^{1/4}$$

$$D = \frac{-\sqrt{2}\lambda^{1/4}M^3 - \lambda^{1/2}M^2\alpha}{\sqrt{2}\lambda^{1/4}M\alpha + \sqrt{2}\lambda^{3/4}\alpha c + \lambda^{1/2}\alpha^2 + \lambda c^2 + M^2}$$

$$E = \frac{-\sqrt{2}\lambda^{1/4}M^2\alpha - \lambda^{1/2}M\alpha^2 + \lambda^{1/2}cM^2 - M^3}{\sqrt{2}\lambda^{1/4}M\alpha + \sqrt{2}\lambda^{3/4}\alpha c + \lambda^{1/2}\alpha^2 + \lambda c^2 + M^2}$$

en réduisant N_+ au même dénominateur on obtient :-

$$N_+ = \frac{(Ms^2 + \alpha s + c)A + B \cdot (Ms^2 + \alpha s + c) \cdot s + (Ds + E)s^2}{s^2(Ms^2 + \alpha s + c)}$$

$$N_+ = \frac{(BM + D)s^3 + (MA + B\alpha + E)s^2 + (\alpha A + BC)s + CA}{s^2(Ms^2 + \alpha s + c)}$$

en remplaçant N_+ dans $\phi(s)$ on obtient :-

$$\phi(s) = \frac{m[(BM + D)s^3 + (MA + B\alpha + E)s^2 + (\alpha A + BC)s + CA]}{(\lambda^{1/2}s^2 + \sqrt{2}\lambda^{1/4}s + 1)(c + \alpha s)}$$

a) Dispersion de l'écart :-

elle est donnée par :
$$\delta_{x_2 - x_2}^2 = \frac{1}{2\pi j} \int_{-j\infty}^{j\infty} \left| \frac{H_{x_2 - x_2}(s)}{s} \right|^2 S_{x_0}(s) ds$$

avec $H_{x_2 - x_2}(s) = \frac{(G(s) \cdot \phi(s) - 1)K(s)}{s^2}$ et $G(s) = \frac{1}{m}$

$$G(s)\phi(s) = \frac{(BM+D-\lambda^{1/2}\alpha)s^3 + (MA+B\alpha+E-\lambda^{1/2}c-\sqrt{2}\lambda^{1/4}\alpha)s^2 + (\alpha A+BC-\sqrt{2}\lambda^{1/4}c-\alpha)s + CA-C}{(\lambda^{1/2}s^2 + \sqrt{2}\lambda^{1/4}s + 1)(\alpha s + c)}$$

on demonstre que $\alpha A+BC-\sqrt{2}\lambda^{1/4}c-\alpha = CA-C = 0$

$$\text{donc } H_{\frac{\ddot{x}_1 - x_2}{x_0}}(s) = \frac{(BM+D-\lambda^{1/2}\alpha)s + (MA+B\alpha+E-\lambda^{1/2}c-\sqrt{2}\lambda^{1/4}\alpha)}{(\lambda^{1/2}s^2 + \sqrt{2}\lambda^{1/4}s + 1)(Ms^2 + \alpha s + C)}$$

ou

$$H_{\frac{\ddot{x}_1 - x_2}{x_0}}(s) = \frac{(BM+D-\lambda^{1/2}\alpha)s + (MA+B\alpha+E-\lambda^{1/2}c-\sqrt{2}\lambda^{1/4}\alpha)}{\lambda^{1/2}Ms^4 + (\lambda^{1/2}\alpha + \sqrt{2}\lambda^{1/4}M)s^3 + (\lambda^{1/2}c + \sqrt{2}\lambda^{1/4}\alpha + M)s^2 + (\sqrt{2}\lambda^{1/4}c + \alpha)s + C}$$

$$\sigma_{\frac{\ddot{x}_1 - x_2}{x_0}}^2 = \frac{N^2}{2\pi j} \int_{-j\infty}^{j\infty} \left| \frac{n_3 s^3 + n_2 s^2 + n_1 s + c_0}{d_4 s^4 + d_3 s^3 + d_2 s^2 + d_1 s + d_0} \right|^2 ds$$

de la table d'integrale on tire :-

$$\sigma_{\frac{\ddot{x}_1 - x_2}{x_0}}^2 = N_1 / D$$

$$\text{avec } N_1 = N^2 \left\{ n_3^2 (-d_0^2 d_3 + d_0 d_1 d_2) + (n_2^2 - 2 \cdot n_1 n_3) d_0 d_1 \cdot d_4 + (n_1^2 - 2 \cdot n_0 n_2) d_0 d_3 d_4 + n_0^2 (-d_1 d_4^2 + d_2 d_3 d_4) \right\}$$

$$\text{et } D = 2 \cdot d_0 d_4 (-d_0 d_3^2 - d_1^2 d_4 + d_1 d_2 d_3)$$

$$\text{ou } n_3 = 0$$

$$d_4 = \lambda^{1/2}H$$

$$n_2 = 0$$

$$d_3 = \lambda^{1/2}\alpha + \sqrt{2}\lambda^{1/4}M$$

$$n_1 = (BM+D-\lambda^{1/2}\alpha)$$

$$d_2 = \lambda^{1/2}c + \sqrt{2}\lambda^{1/4}\alpha + M$$

$$n_0 = (MA+B\alpha+E-\lambda^{1/2}c-\sqrt{2}\lambda^{1/4}\alpha)$$

$$d_1 = \sqrt{2}\lambda^{1/4}c + \alpha$$

$$d_0 = \epsilon$$

b) Dispersion de l'accélération :-

elle est donnée par :

$$\sigma_{\frac{\ddot{x}_1}{x_0}}^2 = \frac{1}{2\pi j} \int_{-j\infty}^{j\infty} \left| \frac{H_{\frac{\ddot{x}_1}{x_0}}(s)}{s} \right|^2 S_{\dot{x}_0}(s) ds$$

$$\text{avec } H_{\frac{\ddot{x}_1}{x_0}}(s) = G(s) \cdot L_1(s) \cdot K(s) \cdot \phi(s)$$

$$H_{\ddot{u}_1}(s) = \frac{(BM+D)s^3 + (MA+B\alpha+E)s^2 + (\alpha A + BC)s + CA}{\lambda^{1/2}Ms^4 + (\lambda^{1/2}\alpha + \sqrt{2}\lambda^{1/4}M)s^3 + (\lambda^{1/2}C + \sqrt{2}\lambda^{1/4}\alpha + M)s^2 + (\sqrt{2}\lambda^{1/4}C + \alpha)s + C}$$

$$\delta_{\ddot{u}_1}^2 = \frac{N^2}{2\pi j} \int_{-j\infty}^{j\infty} \left| \frac{n_3 s^3 + n_2 s^2 + n_1 s + n_0}{d_4 s^4 + d_3 s^3 + d_2 s^2 + d_1 s + d_0} \right|^2 ds$$

de même la table d'intégrale nous donne :-

$$\delta_{\ddot{u}_1}^2 = \frac{N^2}{D}$$

$$\text{avec } N_1 = N^2 \left\{ n_3^2 (-d_0^2 d_3 + d_0 d_1 d_2) + (n_2^2 - 2 \cdot n_1 \cdot n_3) d_0 d_1 d_4 + (n_1^2 - 2 \cdot n_0 n_2) d_0 d_3 d_4 + n_0^2 (-d_1 d_4^2 + d_2 d_3 d_4) \right\}.$$

$$\text{où } n_3 = BM + D$$

$$n_2 = AM + B\alpha + E$$

$$n_1 = \alpha A + BC$$

$$n_0 = CA.$$

3.3 Excitation par un processus tel que la densité spectrale est égale à $S_{\ddot{x}_0}(s) = 2\alpha_2 N^2 \frac{\Omega^2 - s^2}{(\Omega^2 + s^2)^2 - 4\alpha_2^2 s^2}$

la densité spectrale peut être mis sous la forme suivante:-

$$S_{\ddot{x}_0}(s) = 2\alpha_2 N^2 s^4 \frac{\Omega + s}{s^2(s^2 + 2\sqrt{\alpha_2} s + \Omega^2)} \frac{\Omega - s}{s^2(s^2 - 2\sqrt{\alpha_2} s + \Omega^2)}$$

$$\text{d'où } \psi(s) = \frac{\Omega + s}{s^2(s^2 + 2\sqrt{\alpha_2} s + \Omega^2)}$$

on a en outre:-

$$R(s) = \lambda^{1/2} s^2 + \sqrt{2} \lambda^{1/4} s + 1, \quad G(s) = \frac{1}{m} \quad \text{et} \quad K(s) = \frac{\alpha s + c}{Ms^2 + \alpha s + c}$$

la fonction de transfert optimum du système de vibro-isolation sera donc :-

$$\phi(s) = \frac{1}{(\lambda^{1/2} s^2 + \sqrt{2} \lambda^{1/4} s + 1) \cdot \frac{1}{m} \cdot \frac{\Omega + s}{s^2(s^2 + 2\sqrt{\alpha_2} s + \Omega^2)} \cdot \frac{\alpha s + c}{Ms^2 + \alpha s + c}} \left\{ \begin{array}{l} (\Omega + s)(\alpha s + c) \\ s^2(s^2 + 2\sqrt{\alpha_2} s + \Omega^2)(Ms^2 + \alpha s + c) \\ \lambda^{1/2} s^2 - \sqrt{2} \lambda^{1/4} s + 1 \end{array} \right\}$$

Soit

$$N_+ = \left\{ \frac{(\Omega + s)(\alpha s + c)}{s^2(s^2 + 2\sqrt{\alpha_2} s + \Omega^2)(Ms^2 + \alpha s + c)(\lambda^{1/2} s^2 - \sqrt{2} \lambda^{1/4} s + 1)} \right\}_+$$

$$N = \underbrace{\frac{G}{s^2} + \frac{H}{s} + \frac{Is + J}{s^2 + 2\sqrt{\alpha_2} s + \Omega^2}}_{N_+} + \underbrace{\frac{Ks + L}{Ms^2 + \alpha s + c}}_{N_-} + \underbrace{\frac{Ms + N}{\lambda^{1/2} s^2 - \sqrt{2} \lambda^{1/4} s + 1}}$$

$$G = \lim_{s \rightarrow 0} \frac{(\Omega + s)(\alpha s + c)}{(s^2 + 2\sqrt{\alpha_2} s + \Omega^2)(Ms^2 + \alpha s + c)(\lambda^{1/2} s^2 - \sqrt{2} \lambda^{1/4} s + 1)} = \frac{1}{\Omega}$$

de même on trouve à l'aide d'une division par puissance croissante:

$$H = \frac{1}{\Omega^3} \left(\sqrt{2} \Omega^2 \lambda^{1/4} + \Omega - 2\sqrt{\alpha_2} \right)$$

3.3. Excitation par un processus tel que la densité spectrale est égale à $S_{\ddot{x}_0}(s) = 2\alpha_2 N^2 \frac{\Omega^2 - s^2}{(\Omega^2 + s^2)^2 - 4\alpha_2 \Omega^2}$

la densité spectrale peut être mis sous la forme suivante:-

$$S_{\ddot{x}_0}(s) = 2\alpha_2 N^2 s^4 \frac{\Omega + s}{s^2(s^2 + 2\sqrt{\alpha_2} s + \Omega^2)} \frac{\Omega - s}{s^2(s^2 - 2\sqrt{\alpha_2} s + \Omega^2)}$$

$$\text{d'où } \psi(s) = \frac{\Omega + s}{s^2(s^2 + 2\sqrt{\alpha_2} s + \Omega^2)}$$

on a en outre:-

$$R(s) = \lambda^{1/2} s^2 + \sqrt{2} \lambda^{1/4} s + 1, \quad G(s) = \frac{1}{m} \quad \text{et} \quad K(s) = \frac{\alpha s + c}{Ms^2 + \alpha s + c}$$

la fonction de transfert optimum du système de vibro-isolation sera donc :-

$$\Phi(s) = \frac{1}{(\lambda^{1/2} s^2 + \sqrt{2} \lambda^{1/4} s + 1) \cdot \frac{1}{m} \cdot \frac{\Omega + s}{s^2(s^2 + 2\sqrt{\alpha_2} s + \Omega^2)} \cdot \frac{\alpha s + c}{Ms^2 + \alpha s + c}} \left\{ \begin{array}{l} (\Omega + s)(\alpha s + c) \\ s^2(s^2 + 2\sqrt{\alpha_2} s + \Omega^2)(Ms^2 + \alpha s + c) \\ \lambda^{1/2} s^2 - \sqrt{2} \lambda^{1/4} s + 1 \end{array} \right\}$$

Soit

$$N_+ = \left\{ \frac{(\Omega + s)(\alpha s + c)}{s^2(s^2 + 2\sqrt{\alpha_2} s + \Omega^2)(Ms^2 + \alpha s + c)(\lambda^{1/2} s^2 - \sqrt{2} \lambda^{1/4} s + 1)} \right\}_+$$

$$N = \underbrace{\frac{G}{s^2} + \frac{H}{s} + \frac{Is + J}{s^2 + 2\sqrt{\alpha_2} s + \Omega^2}}_{N_+} + \underbrace{\frac{Ks + L}{Ms^2 + \alpha s + c}}_{N_0} + \underbrace{\frac{Ms + N}{\lambda^{1/2} s^2 - \sqrt{2} \lambda^{1/4} s + 1}}_{N_-}$$

$$G = \lim_{s \rightarrow 0} \frac{(\Omega + s)(\alpha s + c)}{(s^2 + 2\sqrt{\alpha_2} s + \Omega^2)(Ms^2 + \alpha s + c)(\lambda^{1/2} s^2 - \sqrt{2} \lambda^{1/4} s + 1)} = \frac{1}{\Omega}$$

de même on trouve à l'aide d'une division par puissance croissante:

$$H = \frac{1}{\Omega^3} \left(\sqrt{2} \cdot \Omega^2 \lambda^{1/4} + \Omega - 2\sqrt{\alpha_2} \right)$$

L'expression des fractions N peut être écrite sous la forme:

$$N = \frac{G}{S^2} + \frac{H}{S} + \frac{I^*}{(S - S_1)} + \frac{J^*}{(S - S_2)} + \frac{K^*}{(S - S_3)} + \frac{L^*}{(S - S_4)} + \frac{MS + N}{2\beta S^2 - \sqrt{\alpha^2 - \alpha^2} + 1}$$

à l'aide des liaisons suivante:

$$I^* = \frac{(a + s_1)(c + \alpha s_1)}{s_1^2(Ms_1^2 + \alpha s_1 + c)(2^{1/2}s_1^2 - \sqrt{\alpha^2 - \alpha^2} + 1)(s_1 - s_2)}$$

$$J^* = \frac{(a + s_2)(c + \alpha s_2)}{s_2^2(Ms_2^2 + \alpha s_2 + c)(2^{1/2}s_2^2 - \sqrt{\alpha^2 - \alpha^2} + 1)(s_2 - s_1)}$$

avec $s_1 = -\sqrt{\alpha^2 + j\sqrt{\alpha^2 - \alpha^2}}$ et $s_2 = -\sqrt{\alpha^2 - j\sqrt{\alpha^2 - \alpha^2}}$

on démontre que I^* et J^* sont des nombres complexes conjugués. mais I et J sont des réels purs.

Alors: $I = I^* + J^*$ et

$$J = (I^* + J^*)\sqrt{\alpha^2} + j(I^* - J^*)\sqrt{\alpha^2 - \alpha^2}$$

$$K^* = \frac{(a + s_3)(c + \alpha s_3)}{s_3^2(Ms_3^2 + 2j\sqrt{\alpha^2}s_3 + \alpha^2)(2^{1/2}s_3^2 - \sqrt{\alpha^2 - 4Ms_3^2} + 1)(s_3 - s_4)}$$

$$L^* = \frac{(a + s_4)(c + \alpha s_4)}{s_4^2(Ms_4^2 + 2j\sqrt{\alpha^2}s_4 + \alpha^2)(2^{1/2}s_4^2 - \sqrt{\alpha^2 - 4Ms_4^2} + 1)(s_4 - s_3)}$$

avec $s_3 = \frac{1}{2M}(-\alpha + \sqrt{\alpha^2 - 4Ms_3^2})$ et $s_4 = \frac{1}{2M}(-\alpha - \sqrt{\alpha^2 - 4Ms_4^2})$

et $K = K^* + L^*$

$$L = \frac{1}{2M}((K^* + L^*) + (K^* - L^*)\sqrt{\alpha^2 - 4Ms_3^2})$$

donc:

$$N_+ = \frac{N_+(S)}{S^2(S^2 + 2j\sqrt{\alpha^2}S + \alpha^2)(Ms^2 + \alpha s + c)}$$

avec

$$\begin{aligned} N_+(S) = & (NM + JM + K)S^5 + (MG + H(2j\sqrt{\alpha^2}M + \alpha) + I\alpha + JM + \\ & + 2k\sqrt{\alpha^2} + L)S^4 + (G(2j\sqrt{\alpha^2}M + \alpha) + H(c + 2\alpha j\sqrt{\alpha^2} + Ma^2) + Ic + J\alpha + \\ & + K\alpha^2 + 2L\sqrt{\alpha^2})S^3 + (G(c + 2\alpha j\sqrt{\alpha^2} + Ma^2) + H(2c\sqrt{\alpha^2} + \alpha\alpha^2) + L\alpha^2 + Ic)S^2 + \\ & + (G(2c\sqrt{\alpha^2} + \alpha\alpha^2) + H\alpha^2)S + G\alpha^2 c. \end{aligned}$$

en remplaçant N_1 dans $\phi(s)$ on obtient:-

$$\phi(s) = \frac{m \cdot N_1(s)}{(\lambda^{1/2}s^2 + \sqrt{2}\lambda^{1/4}s + 1)(\Omega + s)(\alpha s + c)}$$

a) Dispersion de l'écart:

cette dispersion est donnée par:-

$$\sigma_{x-x_2}^2 = \frac{1}{2\pi j} \int_{-j\infty}^{j\infty} \left| \frac{H_{x-x_2}(s)}{\dot{x}_0} \right|^2 S_{x_0}(s) ds$$

avec

$$H_{x-x_2}(s) = \left(\frac{G(s) \cdot \phi(s) - 1}{s^2} \right) K(s).$$

on trouve

$$H_{x-x_2}(s) = \frac{N_2(s)}{(\lambda^{1/2}s^2 + \sqrt{2}\lambda^{1/4}s + 1)(\Omega + s)(Ms^2 + \alpha s + c)}$$

avec

$$\begin{aligned} N_2(s) = & (HM + IM + k)s^3 + [MG + H(2\sqrt{\alpha_2}M + \alpha) + I\alpha + JM + \\ & + 2K\sqrt{\alpha_2} + L - \lambda^{1/2}\alpha]s^2 + [G(2\sqrt{\alpha_2}M + \alpha) + H(c + 2\alpha\sqrt{\alpha_2} + M\Omega^2) + \\ & IC + J\alpha + K\Omega^2 + 2L\sqrt{\alpha_2} - \lambda^{1/2}(\alpha\alpha + c) - \sqrt{2}\lambda^{1/4}\alpha]s + [-\alpha + \\ & + G(c + 2\alpha\sqrt{\alpha_2} + M\Omega^2) + H(2c\sqrt{\alpha_2} + \alpha\Omega^2) + L\Omega^2 + JC - \lambda^{1/2}c - \sqrt{2}\lambda^{1/4}(\alpha\alpha + c)] \end{aligned}$$

en remplaçant la densité spectrale par son expression

on obtient:

$$\sigma_{x-x_2}^2 = \frac{1}{2\pi j} \int_{-j\infty}^{j\infty} \left| \frac{H_{x-x_2}(s)}{\dot{x}_0} \right|^2 \cdot 2\alpha_2 N^2 \frac{\Omega + s}{(s^2 + 2\sqrt{\alpha_2}s + \Omega^2)(s^2 - 2\sqrt{\alpha_2}s + \Omega^2)} ds$$

$$\sigma_{x-x_2}^2 = \frac{2\alpha_2 N^2}{2\pi j} \int_{-j\infty}^{j\infty} \left| \frac{N_2(s)}{(\lambda^{1/2}s^2 + \sqrt{2}\lambda^{1/4}s + 1)(s^2 + 2\sqrt{\alpha_2}s + \Omega^2)(Ms^2 + \alpha s + c)} \right|^2 ds$$

$$\sigma_{x-x_2}^2 = \frac{2\alpha_2 N^2}{2\pi j} \int_{-j\infty}^{j\infty} \left| \frac{N_2(s)}{D(s)} \right|^2 ds$$

avec $D(s) = \lambda^{1/2} M s^6 + [\sqrt{2} \lambda^{1/4} M + (2\sqrt{\alpha_2} M + \alpha) \lambda^{1/2}] s^5 +$
 $+ [\sqrt{2} (2\sqrt{\alpha_2} M + \alpha) \lambda^{1/4} + (c + 2\alpha\sqrt{\alpha_2} + M\omega^2) \lambda^{1/2} M] s^4 + [(\lambda^{1/2} M + \alpha) +$
 $+ \sqrt{2} (c + 2\alpha\sqrt{\alpha_2} + M\omega^2) \lambda^{1/4} + (2c\sqrt{\alpha_2} + \alpha\omega^2) \lambda^{1/2}] s^3 + [(c + 2\alpha\sqrt{\alpha_2} + M\omega^2) +$
 $+ \sqrt{2} (2c\sqrt{\alpha_2} + \alpha\omega^2) \lambda^{1/4} + \omega^2 c \lambda^{1/2}] s^2 + [2c\sqrt{\alpha_2} + \alpha\omega^2 + \sqrt{2}\omega^2 c \lambda^{1/4}] s +$
 $\omega^2 c.$

$$\sigma_{w-w_2}^2 = \frac{2\alpha_2 N^2}{2\pi j} \int_{-j\infty}^{j\infty} \frac{n_6 s^6 + n_4 s^4 + n_3 s^3 + n_2 s^2 + n_1 s + n_0}{d_6 s^6 + d_5 s^5 + d_4 s^4 + d_3 s^3 + d_2 s^2 + d_1 s + d_0} ds$$

ω

$$n_5 = n_4 = 0$$

$$n_3 = HM + IM + K$$

$$n_2 = (MG + H(2\sqrt{\alpha_2} M + \alpha) + I\alpha + JH + 2K\sqrt{\alpha_2} + L - \lambda^{1/2}\alpha)$$

$$n_1 = G(2\sqrt{\alpha_2} M + \alpha) + H(c + 2\alpha\sqrt{\alpha_2} + M\omega^2) + IC + JD +$$

$$+ K\omega^2 + 2L\sqrt{\alpha_2} - \lambda^{1/2}(I\alpha + C) - \sqrt{2}\lambda^{1/4}\alpha$$

$$n_0 = G(c + 2\alpha\sqrt{\alpha_2} + M\omega^2) + H(2c\sqrt{\alpha_2} + \alpha\omega^2) + L\omega^2 + JC +$$

$$- \lambda^{1/2}\omega c - \sqrt{2}\lambda^{1/4}(I\alpha + C) - \alpha.$$

$$d_6 = \lambda^{1/2} M$$

$$d_5 = \sqrt{2}\lambda^{1/4}M + (2\sqrt{\alpha_2} M + \alpha) \lambda^{1/2}$$

$$d_4 = \sqrt{2} (2\sqrt{\alpha_2} M + \alpha) \lambda^{1/4} + (c + 2\alpha\sqrt{\alpha_2} + M\omega^2) \lambda^{1/2} + M$$

$$d_3 = 2\sqrt{\alpha_2} M + \alpha + \sqrt{2} (c + 2\alpha\sqrt{\alpha_2} + M\omega^2) \lambda^{1/4} + (2c\sqrt{\alpha_2} + \alpha\omega^2) \lambda^{1/2}$$

$$d_2 = c + 2\alpha\sqrt{\alpha_2} + M\omega^2 + \sqrt{2} (2c\sqrt{\alpha_2} + \alpha\omega^2) \lambda^{1/4} + \omega^2 c \lambda^{1/2}$$

$$d_1 = 2c\sqrt{\alpha_2} + \alpha\omega^2 + \sqrt{2}\omega^2 c \lambda^{1/4}$$

$$d_0 = \omega^2 c.$$

La table d'intégrale donne :

$$\sigma^2 \ddot{x}_2 = \frac{2\alpha_2 N^2}{2\Delta_6} \left[n_5^2 m_0 + (n_4^2 - 2n_3 n_5) m_1 + (n_3^2 - 2n_2 n_4 + 2n_1 n_5) m_2 + (n_2^2 - 2n_1 n_3 + 2n_0 n_4) m_3 + (n_1^2 - 2n_0 n_2) m_4 + n_0^2 m_5 \right]$$

ou

$$m_0 = \frac{1}{\alpha_6} (d_4 m_1 - d_2 m_2 + d_0 m_3)$$

$$m_1 = -d_0 d_1 d_5 + d_0 d_3^2 + d_1^2 d_4 - d_1 d_2 d_3$$

$$m_2 = d_0 d_3 d_5 + d_1^2 d_6 - d_1 d_2 d_5$$

$$m_3 = d_0 d_5^2 + d_1 d_3 d_6 - d_1 d_4 d_5$$

$$m_4 = 1/d_0 (d_2 m_3 - d_4 m_2 + d_6 m_1)$$

$$m_5 = 1/d_0 (d_2 m_4 - d_4 m_3 + d_6 m_2)$$

$$\Delta_6 = d_0 (d_2 m_5 - d_3 m_4 + d_5 m_3)$$

b) dispersion de l'accélération :-

$$\sigma_{\ddot{x}_2}^2 = \frac{1}{2\pi j} \int_{-j\infty}^{j\infty} \left| \frac{H_{\ddot{x}_2}(s)}{\dot{x}_0} \right|^2 S_{\ddot{x}_0}(s) ds.$$

avec :

$$\frac{H_{\ddot{x}_2}}{\dot{x}_0}(s) = G(s) \cdot L_1(s) \cdot K(s) \cdot \phi(s).$$

$$\text{on trouve : } \frac{H_{\ddot{x}_2}(s)}{\dot{x}_0} = \frac{N_1(s)}{(\lambda^{1/2}s^2 + \sqrt{2}\lambda^{1/4}s + 1)(\Omega + s)(Ms^2 + \alpha s + C)}$$

avec $N_1(s)$ déterminé précédemment.

$$\sigma_{\ddot{x}_2}^2 = \frac{1}{2\pi j} \int_{-j\infty}^{j\infty} \left| \frac{N_1(s)}{(\lambda^{1/2}s^2 + \sqrt{2}\lambda^{1/4}s + 1)(\Omega + s)(Ms^2 + \alpha s + C)} \right|^2 \frac{2N_{\alpha_2}^2 (\Omega^2 - s^2) ds}{(\Omega^2 + s^2)^2 - 4\alpha_2 s^2}$$

$$\sigma_{\ddot{x}_2}^2 = \frac{2N_{\alpha_2}^2}{2\pi j} \int_{-j\infty}^{j\infty} \left| \frac{N_1(s)}{(\lambda^{1/2}s^2 + \sqrt{2}\lambda^{1/4}s + 1)(Ms^2 + \alpha s + C)(s^2 + 2\sqrt{\alpha_2} + \Omega^2)} \right|^2 ds$$

$$S_{\alpha_2}^2 = \frac{2N^2\alpha_2}{2\pi f} \int_{-\infty}^{+\infty} \left| \frac{N_1(s)}{D(s)} \right|^2 ds.$$

$$S_{\alpha_2}^2 = \frac{2N^2\alpha_2}{2\pi f} \int_{-\infty}^{+\infty} \left| \frac{n_0 s^6 + n_4 s^4 + n_3 s^3 + n_2 s^2 + n_1 s + n_0}{a_6 s^6 + a_5 s^5 + a_4 s^4 + a_3 s^3 + a_2 s^2 + a_1 s + a_0} \right|^2 ds$$

où $n_5 = HM + IM + K$

$$n_4 = MG + H(2\sqrt{\alpha_2}M + \alpha) + Id + JM + 2K\sqrt{\alpha_2} + L$$

$$n_3 = G(2\sqrt{\alpha_2}M + \alpha) + H(c + 2\alpha\sqrt{\alpha_2} + Ma^2) + Ic + Jd + Kd^2 + 2L\sqrt{\alpha_2}$$

$$n_2 = G(c + 2\alpha\sqrt{\alpha_2} + Ma^2) + H(3\alpha\sqrt{\alpha_2} + \alpha d^2) + Ld^2 + Jc$$

$$n_1 = G(\alpha c\sqrt{\alpha_2} + \alpha d^2) + L^2 S$$

$$n_0 = Gn^2c = Sf.$$

$D(s)$ est le même que dans le cas précédent.

d'où la table d'intégrale donne:-

$$\begin{aligned} D_{\alpha_2}^2 &= \frac{2N^2\alpha_2}{2A_6} \left[n_0^2 \cdot m_0 + (n_1^2 - 2n_2 n_3) m_1 + (n_2^2 - 2n_3 n_4 + 2n_1 n_5) m_2 + \right. \\ &\quad \left. + (n_3^2 - 2n_4 n_5 + 2n_0 n_6) m_3 + (n_4^2 - 2n_0 n_2) m_4 + n_5^2 m_5 \right] \end{aligned}$$

où $m_0, m_1, m_2, m_3, m_4, m_5$ et m_6 sont les mêmes que dans le cas de la dispersion de l'écart.

3.4. Determination des fonctions de transfert optimum pour les deux formes d'excitations:-

la fonction de transfert optimum du système de vibro-isolation est donnée par :

$$H_{\frac{X_1}{X_2}} = \frac{\bar{X}(s)}{\bar{X}_2(s)} = \frac{\bar{X}(s)}{\bar{F}(s)} \cdot \frac{\bar{F}(s)}{\bar{X}_2(s)} = \frac{s^2}{L(s)} \cdot \frac{F(s)}{\bar{X}_2(s)} = G(s) \cdot \phi(s).$$

donc : $H_{\frac{X_1}{X_2}} = G(s) \cdot \phi(s)$.

dans le cas d'un corps rigide on a $G(s) = \frac{1}{m}$.

a) excitation par un bruit blanc : $S_{\ddot{X}_2(s)}(s) = N^2$:-

on trouve :

$$H_{\frac{X_1}{X_2}} = \frac{n_3 s^3 + n_2 s^2 + n_1 s + n_0}{(\lambda^{1/2} s^2 + \sqrt{2} \lambda^{1/4} s + 1)(c + \alpha s)}$$

où n_3, n_2, n_1, n_0 sont les mêmes que dans le cas de la dispersion de l'accélération. Ils seront déterminés ultérieurement pour chaque valeur de λ .

b) excitation par un processus tel que $S_{\ddot{X}_2(s)}(s) = 2 \alpha_2 N^2 \frac{\omega^2 - s^2}{(\omega^2 + s^2)^2 - 4 \alpha_2 s^2}$:-

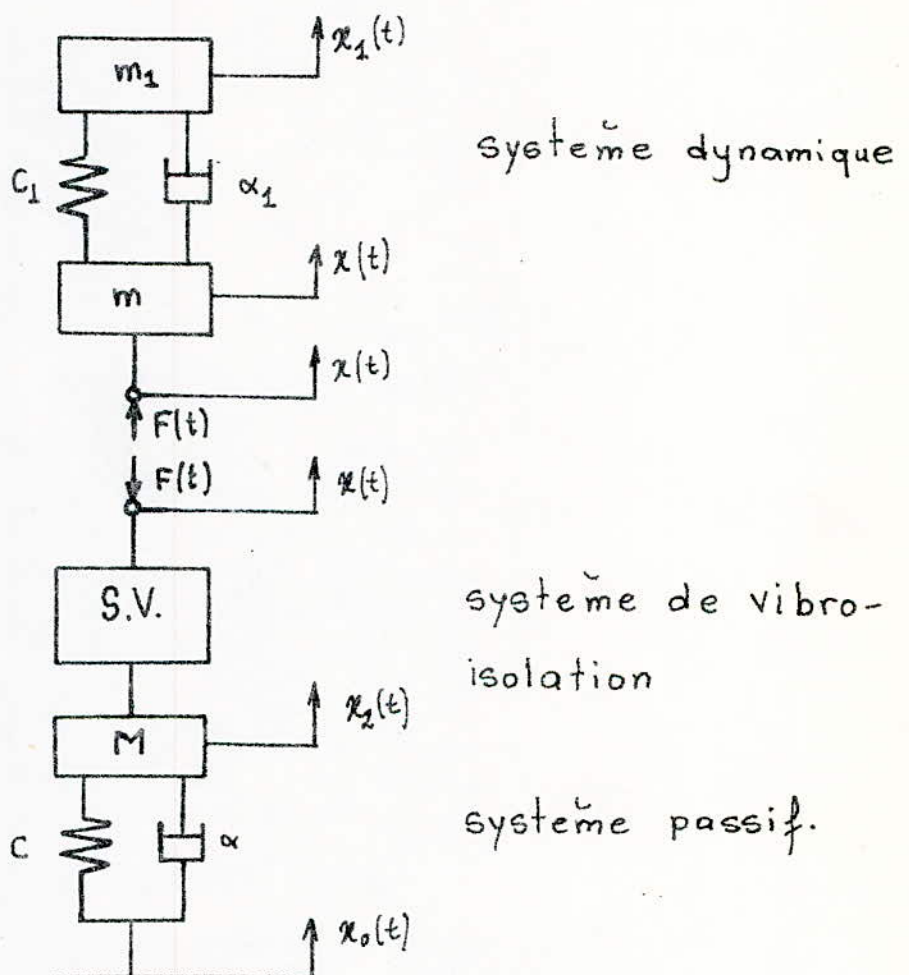
on trouve :-

$$H_{\frac{X_1}{X_2}} = \frac{n_5 s^5 + n_4 s^4 + n_3 s^3 + n_2 s^2 + n_1 s + n_0}{(\lambda^{1/2} s^2 + \sqrt{2} \lambda^{1/4} s + 1)(c s + c)(-\omega + s)}$$

où $n_5, n_4, n_3, n_2, n_1, n_0$ sont les mêmes que dans le cas de la dispersion de l'accélération pour cette même excitation. Ils sont déterminés dans la partie programmation pour chaque valeur de λ .

IV S.V. POUR VIBRO-ISOLER UN SYSTEME DYNAMIQUE SUPPORTE PAR UN ELEMENT PASSIF

4.1 Schéma représentatif:-



dans le cas d'un système dynamique on a :-

$$R(s) \cdot R(-s) = 1 + \lambda s^4 L_1(s) \cdot L_1(-s)$$

avec

$$L_1(s) = \frac{\bar{X}_1(s)}{X(s)} = \frac{\alpha_1 s + c}{m_1 s^2 + \alpha_1 s + C_1}$$

donc :

$$R(-s)R(-s) = 1 + \lambda s^4 \frac{\alpha_1 s + c_1}{m_1 s^2 + \alpha_1 s + c_1} \frac{-\alpha_1 s + c_2}{m_1 s^2 - \alpha_1 s + c_2}$$

$$R(s) \cdot R(-s) = \frac{-\lambda \alpha_1^2 s^6 + (m_1^2 + 2c_1^2)s^4 + (2m_1 c_1 - \alpha_1^2)s^2 + c_1^2}{(m_1 s^2 + \alpha_1 s + c_1)(m_1 s^2 - \alpha_1 s + c_2)}$$

Soit :-

$$R(s) \cdot R(-s) = \frac{As^3 + Bs^2 + Ds + E}{(m_1 s^2 + \alpha_1 s + c_1)} \frac{-As^3 + Bs^2 - Ds + E}{(m_1 s^2 - \alpha_1 s + c_2)}$$

or par identification on trouve :

$$\begin{cases} A = \alpha_1 \sqrt{\lambda} \\ B^2 - 2\alpha_1 \sqrt{\lambda} D = m_1^2 + 2c_1^2 \\ 2Bc_1 - D^2 = 2m_1 c_1 - \alpha_1^2 \\ E = c_1 \end{cases}$$

La résolution de ce système non linéaire en B et D sera faite ultérieurement par programmation FORTRAN, ce qui nous permet de déterminer la forme de $R(s)$:

$$R(s) = \frac{As^3 + Bs^2 + Ds + E}{m_1 s^2 + \alpha_1 s + c_1}$$

4.2. Calcul de l'impédance de déplacement:-

$$\text{on a } L(s) = \frac{\bar{F}(s)}{\bar{X}(s)}$$

soit $Z(s) = L(s)$; l'impédance de déplacement du système . $Z(s) = \frac{F(s)}{X(s)}$

en appliquant la relation fondamentale de la dynamique pour la masse m on aura :-

$$m\ddot{x}(t) = -C_1 x - \alpha_1 \dot{x} + Gx_1 + \alpha_1 x_1 + F(t)$$

en passant aux x transformées de Fourier on obtient:

$$m s^2 \bar{X}(s) = -C_1 \bar{X}(s) - \alpha_1 s \bar{X}(s) + C_1 \bar{x}_1(s) + \alpha_1 \bar{x}_1(s) + \bar{F}(s)$$

$$(ms^2 + \alpha_1 s + C_1) \bar{X}(s) = \bar{F}(s) + (\alpha_1 s + C_1) \bar{x}_1(s) \quad (1)$$

en outre on a :-

$$\frac{\bar{x}_1(s)}{\bar{X}(s)} = \frac{\alpha_1 s + C_1}{ms^2 + \alpha_1 s + C_1} \quad (2)$$

en remplaçant la relation (2) dans (1) on obtient:

$$\left((ms^2 + \alpha_1 s + C_1) - \frac{C_1 + \alpha_1 s}{ms^2 + \alpha_1 s + C_1} \right) \bar{X}(s) = \bar{F}(s)$$

donc :

$$\frac{\bar{F}(s)}{\bar{X}(s)} = \frac{(ms^2 + \alpha_1 s + C_1)(ms^2 + \alpha_1 s + C_1) - (C_1 + \alpha_1 s)^2}{ms^2 + \alpha_1 s + C_1}$$

finalement :

$$\bar{Z} = \frac{\bar{F}(s)}{\bar{X}(s)} = \frac{m_1 m_2 s^4 + (m_1 + m_2) \alpha_1 s^3 + (m_1 + m_2) C_1 s^2}{m_1 s^2 + \alpha_1 s + C_1}$$

4.3 Excitation par un bruit blanc :-

Le bruit blanc a pour densité spectrale

$$S_{\tilde{e}_0}(s) = N^2 = \text{constante.}$$

or par hypothèse on a :

$$S_{\tilde{e}_0}(s) = s^4 \cdot S_0 \psi(s) \psi(-s).$$

donc on tire par identification :-

$$S_0 = N^2 \quad \text{et} \quad \psi(s) = \frac{1}{s^2}$$

- la fonction de transfert optimum du système de vibro-isolation est donnée par :-

$$\phi(s) = \frac{1}{R(s) \cdot G(s) \cdot \psi(s) \cdot K(s)} \left\{ \frac{\psi(s) \cdot K(s)}{R(-s)} \right\}_+$$

$$\text{où } G(s) = \frac{\rho^2}{L(s)} = \frac{\rho^2}{Z(\alpha)} \quad \text{et} \quad K(s) = \frac{\alpha s + c}{M s^2 + \alpha s + c}$$

$$\text{Soient : } F_1 = \frac{1}{R(s) \cdot G(s) \cdot \psi(s) \cdot K(s)}$$

$$F_1 = \frac{1}{A s^3 + B s^2 + D s + E \cdot \frac{s^2 (w_1 s^2 + \alpha_1 s + c_1)}{w_1 s^4 + (w+w_1) \alpha_1 s^3 + (w+w_1) c_1 s^2} \cdot \frac{1}{M s^2 + \alpha s + c}}$$

$$F_1 = \frac{(w w_1 s^4 + (w+w_1) \alpha_1 s^3 + (w+w_1) c_1 s^2) (M s^2 + \alpha s + c)}{(A s^3 + B s^2 + D s + E) (\alpha s + c)}$$

$$\text{et } F_2 = \frac{\psi(s) \cdot K(s)}{R(-s)} = \frac{\frac{1}{s^2} \cdot \frac{\alpha s + c}{M s^2 + \alpha s + c}}{\frac{-A s^3 + B s^2 - D s + E}{w_1 s^2 - \alpha_1 s + c_1}}$$

$$F_2 = \frac{(\alpha s + c)(w_1 s^2 - \alpha_1 s + c_1)}{s^2 (M s^2 + \alpha s + c) (-A s^3 + B s^2 - D s + E)}$$

décomposons F_2 sous la forme suivante:-

$$F_2 = \underbrace{\frac{F}{s^2} + \frac{G}{s} + \frac{Hs+I}{Ms^2+\alpha s+F}}_{F_{2+}} + \underbrace{\frac{Js^2+ks+L}{-As^3+Bs^2-Ds+E}}_{F_{2-}}$$

$$F = \lim_{s \rightarrow 0} \frac{(\alpha s + C)(Ms^2 - \alpha s + C_1)}{(Ms^2 + \alpha s + C)(-As^3 + Bs^2 - Ds + E)} = \frac{C \cdot C_1}{C \cdot E} = \frac{C_1}{E}$$

puisque $E = C_1 \Rightarrow F = 1$.

de plus à l'aide d'une division par puissance croissante on trouve: $G = \frac{D}{C_1} - \frac{\alpha_1}{C_1}$

or par application des limites on aura:-

$$H^* = \frac{(\alpha s_3 + C)(Ms_3^2 - \alpha s_3 + C_1)}{s_3^2(s_3 - s_4)(-As_3^3 + Bs_3^2 - Ds_3 + E)}$$

$$I^* = \frac{(\alpha s_4 + C)(Ms_4^2 - \alpha s_4 + C_1)}{s_4^2(s_4 - s_3)(-As_4^3 + Bs_4^2 - Ds_4 + E)}$$

$$\text{avec: } s_3 = \frac{1}{2M}(-\alpha + \sqrt{\alpha^2 - 4MF}) \quad \text{et}$$

$$s_4 = \frac{1}{2M}(-\alpha - \sqrt{\alpha^2 - 4MF})$$

finalement on aura:-

$$H = H^* + I^*$$

$$I = [H + (H^* - I^*)\sqrt{\alpha^2 - 4MF}] \cdot \frac{1}{2M}$$

done

$$F_{2+} = \frac{F}{s^2} + \frac{G}{s} + \frac{Hs+I}{Ms^2+\alpha s+F}.$$

$$F_{2+} = \frac{(GH+H)s^3 + (MF+G\alpha+I)s^2 + (Fa+Gf)s + Fs}{s^2(Ms^2+\alpha s+F)}$$

La fonction de transfert $\phi(s)$ est:-

$$\phi(s) = F_1 \cdot F_2 \dots$$

$$\phi(s) = \frac{[(GM+H)s^3 + (MF+\alpha G+I)s^2 + (F\alpha + G_F)s + F_F][m_1 s^4 + (m+m_1)\alpha_1 s^3 + (m+m_1)G_1 s^2]}{s^2 (As^3 + Bs^2 + Ds + E)(\alpha s + \zeta)}.$$

a) Dispersion de l'écart:-

est donnée par:-

$$\sigma_{x-x_0}^2 = \frac{1}{2\pi j} \int_{-j\infty}^{j\infty} \left| \frac{H_{x-x_0}(s)}{\dot{x}_0} \right|^2 S_{\ddot{x}_0}(s) ds.$$

où :

$$\frac{H_{x-x_0}(s)}{\dot{x}_0} = \frac{(G(s) \cdot \phi(s) - 1) \cdot k(s)}{s^2}.$$

$$\text{et } G(s) = \frac{s^2}{\dot{x}(s)} = \frac{m_1 s^2 + \alpha_1 s + C_1}{m_1 s^2 + (m+m_1) \alpha_1 s + (m+m_1) G_1}$$

on aise :

$$G(s) \cdot \phi(s) = \frac{[(GM+H)s^3 + (MF+\alpha G+I)s^2 + (F\alpha + G_F)s + F_F][m_1 s^4 + \alpha_1 s^3 + C]}{(As^3 + Bs^2 + Ds + E)(\alpha s + \zeta)}$$

donc :-

$$\frac{H_{x-x_0}(s)}{\dot{x}_0} = \frac{N(s)}{(As^3 + Bs^2 + Ds + E)(Ms^2 + \alpha s + C)}$$

avec :

$$N(s) = (GM+H)m_1 s^3 + [(GM+H)\alpha_1 + (MF+\alpha G+I)m_1 - A\alpha]s^2 + [(GM+H)C + (MF+\alpha G+I)\alpha_1 + (F\alpha + G_F)m_1 - Ac - B\alpha]s + [(MF+\alpha G+I)C + (F\alpha + G_F)\alpha_1 + F_C m_1 - Bc - D\alpha]$$

$$\frac{H_{x-x_0}(s)}{\dot{x}_0} = \frac{N(s)}{D(s)}$$

$$D(s) = A M s + (A\alpha + B M) s^2 + (A\zeta + B\alpha + C M) s +$$

$$(D\alpha + E M + B\zeta) s^2 + (D\zeta + \alpha E) s + E\zeta.$$

par conséquent :

$$\sigma_{x-x_2}^2 = \frac{1}{2\pi j} \int_{-j\infty}^{j\infty} \left| \frac{N(s)}{D(s)} \right|^2 N^2 ds$$

la table d'intégrale nous donne :-

$$\sigma_{x-x_2}^2 = \frac{N^2}{\Delta_5} \left[n_3^2 \cdot m_2 + (n_2^2 - 2n_1 n_3) \cdot m_2 + (n_1^2 - 2 \cdot n_0 n_2) m_3 + n_0^2 \cdot m_4 \right]$$

$$\text{où : } m_0 = \frac{1}{d_5} (d_3 m_1 - d_1 m_2) \quad m_3 = \frac{1}{d_6} (d_2 m_2 - d_4 m_1)$$

$$m_1 = -d_0 d_3 + d_1 d_2 \quad m_4 = \frac{1}{d_0} (d_2 m_3 - d_4 m_2)$$

$$m_2 = -d_0 d_5 + d_1 d_4 \quad \Delta_5 = d_0 (d_1 m_4 - d_3 m_3 + d_5 m_2)$$

$$\text{avec } d_5 = AM$$

$$d_4 = A\alpha + BM$$

$$d_3 = A\zeta + B\alpha + DM$$

$$d_2 = D\alpha + EM + B\zeta$$

$$d_1 = D\zeta + \alpha E$$

$$d_0 = E\zeta.$$

$$\text{et } n_3 = (GM + H) u_2$$

$$n_2 = (GM + H)\alpha_1 + (MF + \alpha G + I) u_1 - A\alpha$$

$$n_1 = (GM + H)G + (MF + \alpha G + I)\alpha_1 + (F\alpha + G\zeta) u_1 - Ac - B\alpha$$

$$n_0 = (MF + \alpha G + I)C_1 + (F\alpha + G\zeta)\alpha_2 + F\zeta m_1 - Bc - D\alpha.$$

ou

$$\begin{aligned}m_0 &= \frac{1}{d_5} (d_3 m_1 - d_1 m_2) & m_3 &= \frac{1}{d_0} (d_2 m_2 - d_4 m_1) \\m_2 &= -d_0 d_3 + d_1 d_2 & m_4 &= \frac{1}{d_0} (d_2 m_3 - d_4 m_2) \\m_2 &= -d_0 d_5 + d_1 d_4 & d_5 &= d_0 (d_1 m_4 - d_3 m_3 + d_5 m_2)\end{aligned}$$

avec $d_5 = AH$

$$d_4 = BM + \alpha A$$

$$d_3 = DH + \alpha B + AF$$

$$d_2 = EM + D\alpha + FB$$

$$d_1 = E\alpha + CD$$

$$d_0 = CE$$

et

$$n_4 = (GH + H)\alpha_2$$

$$n_3 = (GH + H)G + (HF + \alpha G + I)\alpha_1$$

$$n_2 = (MF + \alpha G + I)G_1 + (F\alpha + GF)\alpha_1$$

$$n_1 = (F\alpha + GF)C_1 + FS\alpha_1$$

$$n_0 = FS C_1.$$

4.4. Excitation par un processus tel que :

$$S_{\ddot{x}_0}(s) = 2\alpha_2 N^2 \frac{\Omega^2 - s^2}{(\Omega^2 + s^2)^2 + 4\alpha_2 s^2}$$

on sait que de la densité spectrale $S_{\ddot{x}_0}(s)$, on tire :-

$$\psi(s) = \frac{\Omega + s}{s^2(s^2 + 2\sqrt{\alpha_2}s + \Omega^2)}$$

La fonction de transfert optimum du s.v. est :-

$$\phi(s) = \underbrace{\frac{1}{R(s) \cdot G(s) \cdot \psi(s) \cdot K(s)}}_{F_1} \left\{ \frac{\psi(s) \cdot K(s)}{R(-s)} \right\}_{F_2}$$

avec

$$F_1 = \frac{(M\omega_1 s^4 + (M + m_1)\alpha_1 s^3 + (M + m_1)c_1 s^2)(s^2 + 2\sqrt{\alpha_2}s + \Omega^2)(Ms^2 + \alpha s + c)}{(As^3 + Bs^2 + Ds + E)(\Omega + s)(\alpha s + c)}.$$

et

$$F_2 = \frac{(m_1 s^2 - \alpha_1 s + c)(\Omega + s)(\alpha s + c)}{s^2(s^2 + 2\sqrt{\alpha_2}s + \Omega^2)(Ms^2 + \alpha s + c)(-As^3 + Bs^2 - Ds + E)}$$

décomposons cette fraction F_2 en :-

$$F_2 = \frac{N}{s^2} + \frac{P}{s} + \frac{Qs + R}{s^2 + 2\sqrt{\alpha_2}s + \Omega^2} + \frac{Ts + U}{Ms^2 + \alpha s + c} + \frac{\Omega s^2 + \alpha s + X}{-As^3 + Bs^2 - Ds + E}$$

$$F_2 = \frac{N}{s^2} + \frac{P}{s} + \frac{Q^*}{s - s_1} + \frac{R^*}{s - s_2} + \frac{T^*}{s - s_3} + \frac{U^*}{s - s_4} + \frac{\Omega s^2 + \alpha s + X}{-As^3 + Bs^2 - Ds + E}$$

à l'aide des limites on trouve :-

$$N = \frac{1}{\Omega}$$

$$P = \frac{1}{\Omega^2} - \frac{\alpha_1}{\Omega C_1} + \frac{D}{\Omega C_1} - \frac{2\sqrt{\alpha_2}}{\Omega^3}$$

$$Q^* = \frac{(m, s_1^2 - \alpha_1 s_1 + c_1)(\Omega + s_1)(\alpha s_1 + c)}{s_1^2(Ms_1^2 + \alpha s_1 + c)(-\Omega s_1^3 + BS_1^2 - DS_1 + E)(s_1 - s_2)}$$

$$R^* = \frac{(m, s_2^2 - \alpha_1 s_2 + c_1)(\Omega + s_2)(\alpha s_2 + c)}{s_2^2(Ms_2^2 + \alpha s_2 + c)(-\Omega s_2^3 + BS_2^2 - DS_2 + E)(s_2 - s_1)}$$

où $s_1 = -\sqrt{\alpha_2} + j\sqrt{\Omega^2 - \alpha_2}$ et $s_2 = -\sqrt{\alpha_2} - j\sqrt{\Omega^2 - \alpha_2}$

on démontre que Q^* et R^* sont des nombres complexes conjugués et que Q et R sont des réels purs :

$$Q = Q^* + R^*$$

$$R = (Q^* + R^*)\sqrt{\alpha_2} + (Q^* - R^*)\sqrt{\alpha_2 - \Omega^2}$$

$$T^* = \frac{(m, s_3^2 - \alpha_1 s_3 + c_1)(\Omega + s_3)(\alpha s_3 + c)}{s_3^2(s_3^2 + 2\sqrt{\alpha_2}s_3 + \Omega^2)(-\Omega s_3^3 + BS_3^2 - DS_3 + E)(s_3 - s_4)}$$

$$U^* = \frac{(m, s_4^2 - \alpha_1 s_4 + c_1)(\Omega + s_4)(\alpha s_4 + c)}{s_4^2(s_4^2 + 2\sqrt{\alpha_2}s_4 + \Omega^2)(-\Omega s_4^3 + BS_4^2 - DS_4 + E)(s_4 - s_3)}$$

où $s_3 = \frac{1}{2M}(-\alpha + \sqrt{\alpha^2 - 4Mc})$ et $s_4 = \frac{1}{2M}(-\alpha - \sqrt{\alpha^2 - 4Mc})$

on trouve donc :

$$T = T^* + U^*$$

$$U = [T^* + U^* + (T^* - U^*)\sqrt{\alpha_2^2 - 4Mc}] \cdot \frac{1}{2M}$$

soit : $F_{2+} = \frac{N}{S^2} + \frac{P}{S} + \frac{QS + R}{S^2 + 2\sqrt{\alpha_2}S + \Omega^2} + \frac{Ts + U}{MS^2 + QS + C}$

en réduisant au même dénominateur, on obtient :-

$$F_{2+} = \frac{N(S)}{S^2(S^2 + 2\sqrt{\alpha_2}S + \Omega^2)(MS^2 + QS + C)}$$

avec $N(s) = [MP + QH + T]s^5 + [MN + (\alpha + 2\sqrt{\alpha_2}M)P + Q\alpha +$
 $+ RM + 2\sqrt{\alpha_2}T + U]s^4 + [(\alpha + 2\sqrt{\alpha_2}M)N + QC + R\alpha +$
 $+ (C + 2\alpha\sqrt{\alpha_2} + \Omega^2M)P + T\Omega^2 + 2U\sqrt{\alpha_2}]s^3 + [(2\sqrt{\alpha_2}C + \alpha\Omega^2)P +$
 $+ (\xi + 2\alpha\sqrt{\alpha_2} + \Omega^2M)N + RS + U\Omega^2]s^2 + [\Omega^2\zeta P +$
 $+ (2\sqrt{\alpha_2}\zeta + \alpha\Omega^2)N]s + N\Omega^2\zeta.$

La fonction de transfert optimum est :-

$$\phi(s) = \frac{[mm_1 s^2 + (m+m_1)\alpha_1 s + (m+m_1)c_1] \cdot N(s)}{(As^3 + Bs^2 + Ds + E)(\alpha+s)(\alpha s + c)}$$

a) Dispersion de l'écart :-

$$\sigma_{x-x_0}^2 = \frac{1}{2\pi j} \int_{-j\infty}^{j\infty} \left| \frac{H_{x-x_0}(s)}{x_0} \right|^2 S_{x_0}(s) ds$$

où

$$H_{x-x_0}(s) = \frac{(G(s) \cdot \phi(s) - 1) \cdot K(s)}{s^2}$$

avec $G(s) = \frac{s^2}{Z(s)} = \frac{m_1 s^2 + \alpha_1 s + c_1}{mm_1 s^2 + (m+m_1)\alpha_1 s + (m+m_1)c_1}$

donc

$$\phi(s) \cdot C(s) = \frac{(m_1 s^2 + \alpha_1 s + c_1) \cdot N(s)}{(As^3 + Bs^2 + Ds + E)(\alpha+s)(\alpha s + c)}$$

$$H_{x-x_0}(s) = \frac{N_1(s)}{(As^3 + Bs^2 + Ds + E)(\alpha+s)(\alpha s + c)}$$

avec $N_1(s) = [(MP + QH + T)m_1]s^5 + [(MP + QH + T)\alpha_1 +$
 $+ (MN + (\alpha + 2\sqrt{\alpha_2}M)P + Q\alpha + RM + 2\sqrt{\alpha_2}T + U)m_1]s^4 +$
 $+ [(MP + QH + T)c_1 + (MN + (\alpha + 2\sqrt{\alpha_2}M)P + Q\alpha + RM +$
 $+ 2\sqrt{\alpha_2}T + U)\alpha_1 + ((\alpha + 2\sqrt{\alpha_2}M)N + (\xi + 2\alpha\sqrt{\alpha_2} + \Omega^2M)P +$
 $+ QC + R\alpha + T\Omega^2 + 2U\sqrt{\alpha_2})m_1 - A\alpha]s^3 +$

$$\begin{aligned}
& + \left[(MN + (\alpha + 2\sqrt{\alpha_2}M)P + Q\alpha + RM + 2\sqrt{\alpha_2}T + U)C_1 + \right. \\
& ((\alpha + 2\sqrt{\alpha_2}M)N + (\varsigma + 2\alpha\sqrt{\alpha_2} + \Omega^2M)P + QC + R\alpha + T\Omega^2 + \\
& + 2U\sqrt{\alpha_2})\alpha_1 + ((C + 2\alpha\sqrt{\alpha_2} + \Omega^2M)N + (2\sqrt{\alpha_2}\varsigma + \alpha\Omega^2)P + \\
& + RS + U\Omega^2)m_1 - \alpha B - (\alpha\Omega + C)A \left. \right] s^2 + \\
& + \left[((\varsigma + 2\alpha\sqrt{\alpha_2} + \Omega^2M)P + (\alpha + 2\sqrt{\alpha_2}M)N + QC + R\alpha + T\Omega^2 + \right. \\
& + 2U\sqrt{\alpha_2})C_2 + ((\varsigma + 2\alpha\sqrt{\alpha_2} + \Omega^2M)N + (2\sqrt{\alpha_2}\varsigma + \alpha\Omega^2)P + \\
& RS + U\Omega^2)\alpha_1 + ((2\sqrt{\alpha_2}\varsigma + \alpha\Omega^2)N + \Omega^2\varsigma P)m_1 - \alpha D - 2\varsigma A + \\
& - (\alpha\Omega + C)B \left. \right] s + \left[((\varsigma + 2\alpha\sqrt{\alpha_2} + \Omega^2M)N + (2\sqrt{\alpha_2}\varsigma + \alpha\Omega^2)P + \right. \\
& + RS + U\Omega^2)G + N\Omega^2\varsigma m_1 + ((2\sqrt{\alpha_2}\varsigma + \alpha\Omega^2)N + \\
& + \Omega^2\varsigma P)\alpha_1 - \alpha E - (\alpha\Omega + \varsigma)D - \Omega\varsigma B \left. \right]
\end{aligned}$$

$$\sigma_{x-x_2}^2 = \frac{1}{2\pi j} \int_{-j\infty}^{j\infty} \frac{N_1(s)}{(As^2 + Bs^2 + Ds + E)(\Omega + s)(Ms^2 + \alpha s + C)} \Bigg|_{x_0}^2 S_{x_0}(s) ds$$

$$\sigma_{x-x_2}^2 = \frac{2\alpha_2 N^2}{2\pi j} \int_{-j\infty}^{j\infty} \frac{N_1(s)}{(As^3 + Bs^2 + Ds + E)(Ms^2 + \alpha s + C)(s^2 + 2\sqrt{\alpha_2}s + \Omega^2)} ds$$

$$\sigma_{x-x_2}^2 = \frac{2\alpha_2 N^2}{2\pi j} \int_{-j\infty}^{j\infty} \left| \frac{N_1(s)}{D_1(s)} \right|^2 ds.$$

avec : $D_1(s) = AMS^7 + [MB + A(\alpha + 2\sqrt{\alpha_2}M)]s^6 +$
 $+ [(\alpha + 2\sqrt{\alpha_2}M)B + DM + (C + 2\alpha\sqrt{\alpha_2} + M\Omega^2)A]s^5 +$
 $+ [EM + (\alpha + 2\sqrt{\alpha_2}M)D + (\varsigma + 2\alpha\sqrt{\alpha_2} + M\Omega^2) +$
 $+ (2\sqrt{\alpha_2}\varsigma + \alpha\Omega^2)A]s^4 + [(\alpha + 2\sqrt{\alpha_2}M)E +$
 $+ (\varsigma + 2\alpha\sqrt{\alpha_2} + M\Omega^2)D + (2\sqrt{\alpha_2}\varsigma + \alpha\Omega^2)B + A\Omega^2\varsigma]s^3 +$
 $+ [(\varsigma + 2\alpha\sqrt{\alpha_2} + M\Omega^2)E + (2\sqrt{\alpha_2}\varsigma + \alpha\Omega^2)D + \Omega^2\varsigma B]s^2 +$

$$+ [(2\sqrt{\alpha_2} \xi + \alpha \Omega^2) E + D \Omega^2 \zeta] S + \Omega^2 E \zeta N$$

finalement la table d'intégrale nous donne :-

$$\sigma_{u-u_2}^2 = \frac{2 \alpha_2 N^2}{2 \Delta_7} \left[n_5^2 \cdot m_1 + (n_4^2 - 2n_3 n_5) m_2 + (n_3^2 - 2n_2 n_4 + 2n_1 n_5) m_3 + (n_2^2 - 2n_1 n_3 + 2n_0 n_4) m_4 + (n_1^2 - 2n_0 n_2) m_5 + n_0^2 m_6 \right]$$

ou

$$m_0 = \frac{1}{d_7} [d_5 m_1 - d_3 m_2 + d_1 m_3]$$

$$m_1 = -(d_2 d_4 - d_0 d_5)^2 + (d_0 d_3 - d_1 d_2)(d_0 d_7 - d_1 d_6 + d_2 d_5 - d_3 d_4).$$

$$m_2 = (d_0 d_7 - d_1 d_6)(-d_0 d_5 + d_2 d_4) + (d_0 d_3 - d_1 d_2)(d_2 d_7 - d_3 d_6).$$

$$m_3 = -(d_0 d_7 - d_2 d_6)^2 + (d_0 d_3 - d_1 d_2)(d_4 d_7 - d_5 d_6)$$

$$m_4 = \frac{1}{d_0} [d_2 m_3 - d_4 m_2 + d_6 m_1]$$

$$m_5 = \frac{1}{d_0} [d_2 m_4 - d_4 m_3 + d_6 m_2]$$

$$m_6 = \frac{1}{d_0} [d_2 m_5 - d_4 m_4 + d_6 m_3]$$

$$\Delta_7 = d_0 (d_1 m_6 - d_3 m_8 + d_5 m_4 - d_7 m_3).$$

avec

$$d_7 = A M$$

$$d_6 = M B + A (\alpha + 2\sqrt{\alpha_2} M)$$

$$d_5 = (\alpha + 2\sqrt{\alpha_2} M) B + D M + (C + 2\alpha\sqrt{\alpha_2} + M\Omega^2) A.$$

$$d_4 = E M + (\alpha + 2\sqrt{\alpha_2} M) D + (E + 2\alpha\sqrt{\alpha_2} + M\Omega^2) B + (2\sqrt{\alpha_2} C + \alpha\Omega^2) A.$$

$$d_3 = (\alpha + 2\sqrt{\alpha_2} M) E + (C + 2\alpha\sqrt{\alpha_2} + M\Omega^2) D + (2\sqrt{\alpha_2} \xi + \alpha\Omega^2) B + A\Omega^2 E.$$

$$d_2 = (\xi + 2\alpha\sqrt{\alpha_2} + M\Omega^2) E + (2\sqrt{\alpha_2} \xi + \alpha\Omega^2) D + \Omega^2 \zeta B.$$

$$d_1 = (2\sqrt{\alpha_2} \xi + \alpha\Omega^2) E + D \Omega^2 \zeta$$

$$d_0 = \Omega^2 \zeta E N.$$

$$n_5 = (MP + QM + T) m_1.$$

$$n_4 = (MP + QM + T) \alpha_2 + (MN + (\alpha + 2\sqrt{\alpha_2} M) P + Q\alpha + RM + 2\sqrt{\alpha_2} T + U) m_1$$

$$n_3 = (MP + QM + T) C_I + (MN + (\alpha + 2\sqrt{\alpha_2} M) P + Q\alpha + RM + 2\sqrt{\alpha_2} T + U) \alpha_2 + ((\alpha + 2\sqrt{\alpha_2} M) N + (\zeta + 2\alpha\sqrt{\alpha_2} + \omega^2 M) P + Q\zeta + R\alpha + T\omega^2 + 2U\sqrt{\alpha_2}) m_1 - A\alpha$$

$$n_2 = (MN + (\alpha + 2\sqrt{\alpha_2} M) P + Q\alpha + RM + 2\sqrt{\alpha_2} T + U) C_I + ((\alpha + 2\sqrt{\alpha_2} M) N + (\zeta + 2\alpha\sqrt{\alpha_2} + \omega^2 M) P + Q\zeta + R\alpha + T\omega^2 + 2U\sqrt{\alpha_2}) \alpha_2 + ((\zeta + 2\alpha\sqrt{\alpha_2} + \omega^2 M) N + (2\sqrt{\alpha_2} \zeta + \alpha\omega^2) P + R\zeta + U\omega^2) m_1 - \alpha B - (\alpha\omega + C) A.$$

$$n_1 = ((\zeta + 2\alpha\sqrt{\alpha_2} + \omega^2 M) P + (\alpha + 2\sqrt{\alpha_2} M) N + Q\zeta + R\alpha + T\omega^2 + 2U\sqrt{\alpha_2}) C_I + ((\zeta + 2\alpha\sqrt{\alpha_2} + \omega^2 M) N + R\zeta + (2\sqrt{\alpha_2} \zeta + \alpha\omega^2) P + U\omega^2) \alpha_2 + ((2\sqrt{\alpha_2} \zeta + \alpha\omega^2) N + \omega^2 \zeta P) m_1 - \alpha D - (\alpha\omega + \zeta) B - \omega \zeta A$$

$$n_0 = ((\zeta + 2\alpha\sqrt{\alpha_2} + \omega^2 M) N + (2\sqrt{\alpha_2} \zeta + \alpha\omega^2) P + R\zeta + U\omega^2) C_I + N\omega^2 C m_1 + ((2\sqrt{\alpha_2} \zeta + \alpha\omega^2) N + \omega^2 \zeta P) \alpha_2 - \alpha E - (\alpha\omega + C) D - \omega \zeta B.$$

b) Dispersion de l'accélération :-

$$\sigma_{\ddot{x}_1}^2 = \frac{1}{2\pi j} \int_{-\infty}^{+\infty} \left| \frac{H_{\ddot{x}_1}(s)}{s_0} \right|^2 S_{\ddot{x}_0}(s) ds.$$

$$\text{où } H_{\ddot{x}_1}(s) = G(s) \cdot L_1(s) \cdot K(s) \cdot \phi(s).$$

on trouve :

$$\frac{H_{\dot{x}_2}(s)}{\dot{x}_0} = \frac{N(s) \cdot (\alpha s + c)}{(As^3 + Bs^2 + Cs + E)(Ms^2 + \alpha s + c)(s + n)}$$

par suite :

$$O_{\dot{x}_2}^2 = \frac{1}{2\pi j} \int_{-j\infty}^{j\infty} \left| \frac{H_{\dot{x}_2}(s)}{\dot{x}_0} \right|^2 \frac{2\alpha_2 N^2}{(n^2 + s^2)^2 - 4\alpha_2 s^2} ds.$$

on trouve :

$$O_{\dot{x}_2}^2 = \frac{2\alpha_2 N^2}{2\pi j} \int_{-j\infty}^{j\infty} \left| \frac{N_2(s)}{D_1(s)} \right|^2 ds.$$

$$\begin{aligned} \text{où } N_2(s) &= [(MP + QM + T)\alpha_2]s^6 + [(HP + QH + T)c_2 + \\ &+ (MN + (\alpha + 2\sqrt{\alpha_2}M)P + Q\alpha + RM + 2\sqrt{\alpha_2}T + U)\alpha_2]s^5 + \\ &+ [(MN + (\alpha + 2\sqrt{\alpha_2}M)P + Q\alpha + RM + 2\sqrt{\alpha_2}T + U)c_2 + \\ &+ ((\alpha + 2\sqrt{\alpha_2}M)N + (S + 2\alpha\sqrt{\alpha_2} + n^2M)P + QC + R\alpha + \\ &+ T\alpha^2 + 2U\sqrt{\alpha_2})\alpha_2]s^4 + [((\alpha + 2\sqrt{\alpha_2}M)N + QC + R\alpha + \\ &+ (S + 2\alpha\sqrt{\alpha_2} + n^2M)P + TN^2 + 2U\sqrt{\alpha_2})c_2 + \\ &+ ((S + 2\alpha\sqrt{\alpha_2} + n^2M)N + (2\sqrt{\alpha_2}S + \alpha n^2)P + RS + Un^2)\alpha_2]s^3 + \\ &+ [(C + 2\alpha\sqrt{\alpha_2} + n^2M)N + (2\sqrt{\alpha_2}C + \alpha n^2)P + RC + Un^2)c_2 + \\ &+ ((2\sqrt{\alpha_2}C + \alpha n^2)N + n^2CP)\alpha_2]s^2 + \\ &+ [((2\sqrt{\alpha_2}C + \alpha n^2)N + n^2CP)c_2 + Na^2Cc_2]s + Nn^2Cc_2. \end{aligned}$$

finalement la table d'intégrale donne :

$$\begin{aligned} O_{\dot{x}_2}^2 &= \frac{2\alpha_2 N^2}{2\Delta_Y} \left[n_6^2 m_0 + (n_5^2 - 2n_4 n_6) m_1 + (n_4^2 - 2n_3 n_5 + \right. \\ &\quad \left. + 2n_2 n_6) m_2 + (n_3^2 - 2n_2 n_4 + 2n_1 n_5 - 2n_0 n_6) m_3 + \right. \\ &\quad \left. + (n_2^2 - 2n_1 n_3 + 2n_0 n_4) m_4 + (n_1^2 - 2n_0 n_2) m_5 + n_0^2 m_6 \right] \end{aligned}$$

ou:

$$n_6 = (MP + QM + T) \alpha_2$$

$$n_5 = (MP + QM + T) C_1 + (MN + (\alpha + 2\sqrt{\alpha_2} M) P + Q\alpha + RH + 2\sqrt{\alpha_2} T + U) \alpha_2$$

$$n_4 = (MN + (\alpha + 2\sqrt{\alpha_2} M) P + Q\alpha + RH + 2\sqrt{\alpha_2} T + U) C_1 + ((\alpha + 2\sqrt{\alpha_2} M) N + (S + 2\alpha\sqrt{\alpha_2} + \Omega^2 H) P + QC + RC + \\ + T\Omega^2 + 2U\sqrt{\alpha_2}) \alpha_2.$$

$$n_3 = ((\alpha + 2\sqrt{\alpha_2} M) N + (S + 2\alpha\sqrt{\alpha_2} + \Omega^2 H) P + QC + RC + \\ + T\Omega^2 + 2U\sqrt{\alpha_2}) C_1 + ((S + 2\alpha\sqrt{\alpha_2} + \Omega^2 H) N + (2\sqrt{\alpha_2} S + \alpha\Omega^2) P + RS + U\Omega^2) \alpha_2.$$

$$n_2 = ((S + 2\alpha\sqrt{\alpha_2} + \Omega^2 H) N + (2\sqrt{\alpha_2} S + \alpha\Omega^2) P + RS + U\Omega^2) C_1 + ((2\sqrt{\alpha_2} S + \alpha\Omega^2) N + \Omega^2 SP) \alpha_2$$

$$n_1 = ((2\sqrt{\alpha_2} S + \alpha\Omega^2) N + \Omega^2 SP) C_1 + N\Omega^2 S \alpha_2$$

$$n_0 = N\Omega^2 S C_1$$

et $m_0, m_1, m_2, m_3, m_4, m_5, m_6$ et d_7

do, $d_1, d_2, d_3, d_4, d_5, d_6, d_7$

sont les mêmes que dans le cas de la dispersion de l'écart.

4.5. Determination des fonctions de transfert optimum pour les deux formes d'excitations:-

La fonction de transfert optimum du système de vibro-isolation est donnée par: $\frac{H_{re}}{x_{opt}} = G(s) \cdot \phi(s)$

avec

$$G(s) = \frac{S^2}{Z(s)} = \frac{m_1 s^2 + \alpha_1 s + C_1}{m_1 s^2 + (m_1 + m_2) \alpha_1 s + (m_1 + m_2) C_1}$$

a) excitation par un bruit blanc $S_{\text{xx}_0}(s) = N^2$:

$$H_{\frac{\text{xx}}{\text{xx}_{\text{opt}}}} = \frac{N_6 s^6 + N_4 s^4 + N_3 s^3 + N_2 s^2 + N_1 s + N_0}{(As^3 + Bs^2 + Ds + E)(\alpha s + C)}$$

avec $N_5 = n_3$

$$N_4 = n_2 + A\alpha$$

$$N_3 = n_1 + Ac + B\alpha$$

$$N_2 = n_0 + Bc + D\alpha$$

$$N_1 = (F\alpha + Gf)C_1 + Ff\alpha_2$$

$$N_0 = FC_2$$

où n_3, n_2, n_1, n_0 sont les coefficients de la dispersion de l'écart avec la même excitation.

b) excitation par un processus tel que $S_{\text{xx}_0}(s) = \frac{2\alpha_2 N^2 (\Omega^2 - s^2)}{(\Omega^2 + s^2)^2 - 4\alpha_2 s^2}$

on trouve

$$H_{\frac{\text{xx}}{\text{xx}_{\text{opt}}}} = \frac{N_7 s^7 + N_6 s^6 + N_5 s^5 + N_4 s^4 + N_3 s^3 + N_2 s^2 + N_1 s + N_0}{(As^3 + Bs^2 + Ds + E)(\Omega + s)(\alpha s + C)}$$

avec $N_7 = n_5$

$$N_6 = n_4$$

$$N_5 = n_3 + A\alpha$$

$$N_4 = n_2 + A(\alpha\Omega + C) + \alpha B$$

$$N_3 = n_1 + \alpha D + (\alpha\Omega + C)B + \Omega C A$$

$$N_2 = n_0 + \alpha E + (\alpha\Omega + C)D + \Omega C B$$

$$N_1 = (2f\sqrt{\alpha_2} + \alpha\Omega^2)N + \Omega^2 f P C_1 + N\Omega^2 f \alpha_2$$

$$N_0 = N\Omega^2 f C_2$$

où n_5, n_4, n_3, n_2, n_1 et n_0 sont les mêmes que dans le cas de la dispersion de l'écart avec la même excitation.

V CALCUL DES DISPERSIONS ET DETERMINATION DES FONCTIONS DE TRANSFERT OPTIMUM DU S.V.

5.1 caractéristiques du système passif :-

dans cette étude de vibro-isolation on a pris comme exemple de véhicule un camion du type C230 SONACOME dont les caractéristiques sont:-

La masse supportée par la suspension : $M = 3192,5 \text{ Kg}$.

La suspension est composée :

d'un amortisseur Amortex dont le coef. d'amortissement : $\alpha = 67781,32 \text{ Kg/s}$
d'un ressort à lames de coef. de raideur : $C = 339627 \text{ Kg/m}^2$.

module de la fonction de transfert du système passif:-

Soient $S_{\ddot{x}_0}(\omega)$ la densité spectrale de la route c-à-d de l'excitation et $S_{\ddot{x}_e}(\omega)$ La densité spectrale de l'excitation agissant sur la carrosserie. on démontre que $S_{\ddot{x}_e}(\omega)$ est lié à $S_{\ddot{x}_0}(\omega)$ par la relation :

$$S_{\ddot{x}_e}(\omega) = \left| \frac{H_{\ddot{x}_e}(\omega)}{\ddot{x}_0} \right|^2 S_{\ddot{x}_0}(\omega).$$

où

$$\left| \frac{H_{\ddot{x}_e}(\omega)}{\ddot{x}_0} \right|^2 = \frac{C^2 + (\alpha\omega)^2}{(C - M\omega^2)^2 + (\alpha\omega)^2}$$

5.2 caractéristiques du système dynamique :-

le modèle dynamique d'un homme opérateur avec son fauteuil a pour caractéristiques:-

La masse $m_1 = 80,862 \text{ Kg}$.

La raideur $c_2 = 7961,05 \text{ kg/s}^2$

la constante d'amortissement $\alpha_2 = 141,688 \text{ kg/s}$

pour système dynamique on a eu un système de deux équations non-linéaires paramétrés au paragraphe 4.1.

$$B^2 - 2\alpha_1\sqrt{\lambda}D - (m_1^2 + 2c_1^2) = 0$$

$$2Bc_1 - D^2 - (2m_1c_1 - \alpha_1^2) = 0$$

en remplaçant m_1 , c_1 et α_1 par ses valeurs on obtient:-

$$B^2 - 2 \cdot 141,688\sqrt{\lambda}D - ((80,862)^2 + \lambda(7961,05)^2) = 0 \quad (1)$$

$$2 \cdot 7961,05 B - D^2 - (2 \cdot 80,862 \cdot 7961,05 - (141,688)^2) = 0 \quad (2)$$

de (2) on obtient :-

$$B = \frac{D^2 + 1264417,4}{15922,2} \quad (3)$$

en remplaçant (3) dans (1) on obtient :-

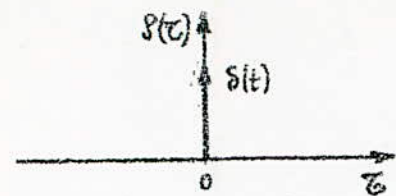
$$D^4 + 2534834,8 D^2 - 7,18395 \cdot 10^{10} \sqrt{\lambda} D - 1,60672 \cdot 10^{16} \lambda - 5,729 \cdot 10^{10} = 0.$$

un sous-programme sera élaboré ultérieurement pour la résolution de cette équation non-linéaire paramétrée. par conséquent on obtient d'après (3) les valeurs de B pour différentes valeurs de λ .

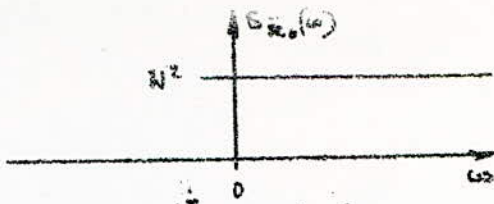
5.3. formes d'excitations :-

a) bruit blanc:-

le bruit blanc dont la fonction de corrélation est une impulsion de Dirac $S(\tau) = N^2 \delta(\tau)$ et la densité spectrale $S_{\text{ico}}(\omega) = N^2 = \text{constante}$, si appliquée à notre système dans le but de le tester, de découvrir ces caractéristiques.



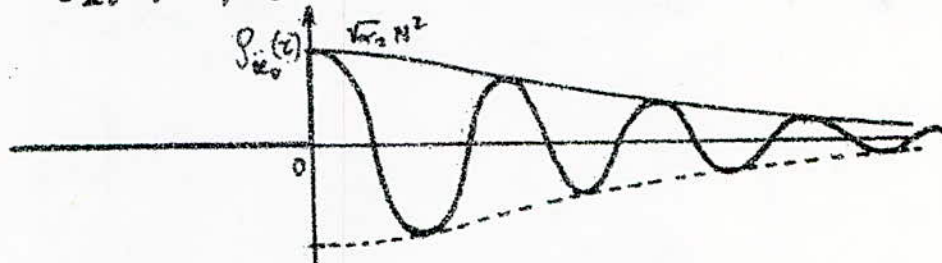
fonction de corrélation.



densité spectrale.

b) La deuxième excitation qu'on a appliquée à notre système provient de l'influence des routes sur les corps, qui peut être approchée avec un degré de précision suffisante par des fonctions de corrélation de la forme :-

$$S_{\text{cor}}(t) = \sqrt{\alpha_2} N^2 e^{-\sqrt{\alpha_2}/8} \cos \beta t.$$



graph de la fonction de corrélation.

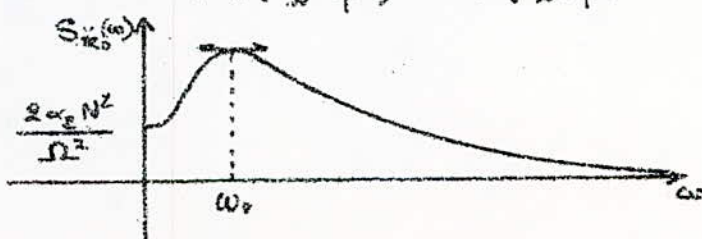
où $\sqrt{\alpha_2}$ et β sont des paramètres d'excitations dépendant du type de route et de la vitesse du mouvement.

la densité spectrale correspondante est :-

$$S_{\text{cor}}(\omega) = 2 \alpha_2 N^2 \frac{\Omega^2 - \omega^2}{(\Omega^2 + \omega^2)^2 - 4 \alpha_2 \Omega^2}$$

avec $\Omega^2 = \alpha_2 + \beta^2$.

$$S_{\text{cor}}(\omega) = \frac{2 \alpha_2 N^2 (\alpha_2 + \beta^2 + \omega^2)}{\omega^4 + 2(\alpha_2 - \beta^2) \omega^2 + (\alpha_2 + \beta^2)^2}$$



où $\omega_0^2 = -\Omega^2 + 2\alpha_2 \sqrt{\Omega^2 - \alpha_2^2}$ avec $\Omega^2 > \alpha_2^2$
 - d'après le graphique de la densité spectrale de l'excitation sur la carrosserie en fonction de la pulsation mentionné en [5] page 208 élaboré après traitement statistique des résultats de mesures des micro-profilés d'une route en pavé sur laquelle se déplaçait un véhicule à une vitesse de 70 Km/h. outre les caractéristiques suivantes:-

$$S_{\ddot{u}_2}(\omega) = (0,17)^2 \quad \text{pour } \omega = 0$$

$$S_{\ddot{u}_2}(\omega) \approx (0,65)^2 \quad \text{pour } \omega = \omega_0 = 1,5 \text{ Hz.}$$

de plus on a:-

$$S_{\ddot{u}_0}(\omega) = S_{\ddot{u}_2}(\omega) / \left| \frac{H_{\ddot{u}_2}(j\omega)}{\dot{x}_0} \right|^2$$

donc

$$S_{\ddot{u}_0}(0) = \frac{(0,17)^2}{1} = 0,0289 = \frac{2\alpha_2 N^2}{\Omega^2}$$

$$S_{\ddot{u}_0}(1,5) = \frac{(0,65)^2}{1,04} = 0,40625 = 2\alpha_2 N^2 \frac{\Omega^2 + 2,25}{(1,25)^2 - 2,25(2\Omega^2 - 4\alpha_2) + \Omega^2}$$

et

$$-\Omega^2 + 2\alpha_2 \sqrt{\Omega^2 - \alpha_2^2} = (1,5)^2 = 2,25$$

de ces 3 équations à 3 inconnues on trouve après un calcul :

$$\alpha_2 = 0,082774 [\text{Hz}]^2 \quad \Omega = 1,52792 [\text{Hz}]$$

$$\text{et} \quad N^2 = 0,40267 \left[\text{m}^2/\text{s}^3 \right]$$

5.4 Calcul des dispersions de l'écart et de l'accélération :-

pour le calcul des dispersions de l'écart et de l'accélération et la détermination des fonctions de transfert optimum, on établit quatre programmes FORTRAN dans lesquelles on utilise les notations suivantes :-

$$W = M$$

$$A = \alpha$$

$$X_1 = A$$

$$W_1 = m_1$$

$$A_1 = \alpha_1$$

$$X_2 = B$$

$$C = C$$

$$A_2 = \alpha_2$$

$$X_3 = D$$

$$C_1 = C_2$$

$$X_4 = E$$

pour le multiplicateur de Lagrange on pose :-

$$\lambda = \lambda_0 \frac{\rho}{1 - \rho} \quad \text{avec } \lambda_0 = 1 [s^4]$$

où $\rho \in [0, 1]$; $\lambda \in]-\infty, +\infty[$

$$P = \lambda$$

$$R_{out} = \rho$$

$$Z = 0$$

```

***** programme pour le calcul des dispersions de
l'ecart et de l' acceleration d'un corps
rigide avec excitation bruit blanc de
densite spectrale : S(s)=N**2
REAL N3,N2,N1,N0
READ *,W,A,C
WRITE(6,10) W,A,C
10 FORMAT(2X,F6.1,1X,F8.2,1X,F8.1)
WRITE(1,*), 'r , dispersions de l ecart et de l acceleration '
WRITE(1,*), 'valeurs de N3 , N2 , N1 , N0 '
DO 40 R=0.1,0.9,0.1
P=R/(1-R)
K=2
X1=1
X2=(SQRT(2.))*(P**0.25)
T1=(SQRT(2.))*(P**0.25)*A*W+(SQRT(2.))*(P**0.75)*A*C
T2=T1+(SQRT(P))*(A**2)+P*(C**2)+W**2
T3=-(SQRT(2.))*(P**0.25)*(W**3)-(P**0.25)*(W**2)*A
T4=-(SQRT(2.))*(P**0.25)*(W**2)*A-(P**0.25)*W*(A**2)
T5=T4+(SQRT(P))*C*(W**2)-(W**3)
X3=T3/T2
X4=T5/T2
D0=C
D1=K**0.5*P**0.25*C+A
D2=P**0.5*C+K**0.5*P**0.25*A+W
D3=P**0.5*A+K**0.5*P**0.25*W
D4=P**0.5*W
D=2.*D0*D4*(-D0*D3**2-D1**2*D4+D1*D2*D3)
C1=X2*W+X3-P**0.5*A
C0=W*X1+X2*A+X4-P**0.5*C-K**0.5*P**0.25*A
H1=C1**2*D0*D3*D4
H2=H1+C0**2*(-D1*D4**2+D2*D3*D4)
Z1=H2/(D*P)
C2=X1*W+X2*A+X4
C3=X2*W+X3
C4=A*X1+X2*C
C5=C*X1
H3=C3**2*(-D0**2*D3+D0*D1*D2)
H4=H3+D0*D1*D4*(C2**2-2.*C4*C3)
H5=H4+D0*D3*D4*(C2**2-2.*C5*C2)
H6=H5+C5**2*(-D1*D4**2+D2*D3*D4)
Z2=H6/D
WRITE(1,*), *****
WRITE(1,*), R,Z1,Z2
WRITE(1,*),
40 CONTINUE
STOP
END

```

*** r , dispersions de l ecart et de l acceleration ***

 ***** valeurs de N3 , N2 , N1 , NO ****

 0.1000000 0.5950597 0.5667470

 2586.212 58155.37 345085.6 339627.0

 0.2000000 0.4910805 0.4716001

 3180.346 70755.38 407408.3 339627.0

 0.3000000 0.4313571 0.4170318

 3644.493 80602.20 456399.4 339627.0

 0.4000000 0.3874742 0.3768953

 4073.308 89701.23 501785.9 339627.0

 0.5000000 0.3509175 0.3433596

 4510.055 98969.81 548086.4 339627.0

 0.6000000 0.3176517 0.3127032

 4992.878 109217.2 599326.3 339627.0

 0.7000000 0.2846533 0.2822887

 5577.382 121623.8 661405.3 339627.0

 0.8000001 0.2492703 0.2490074

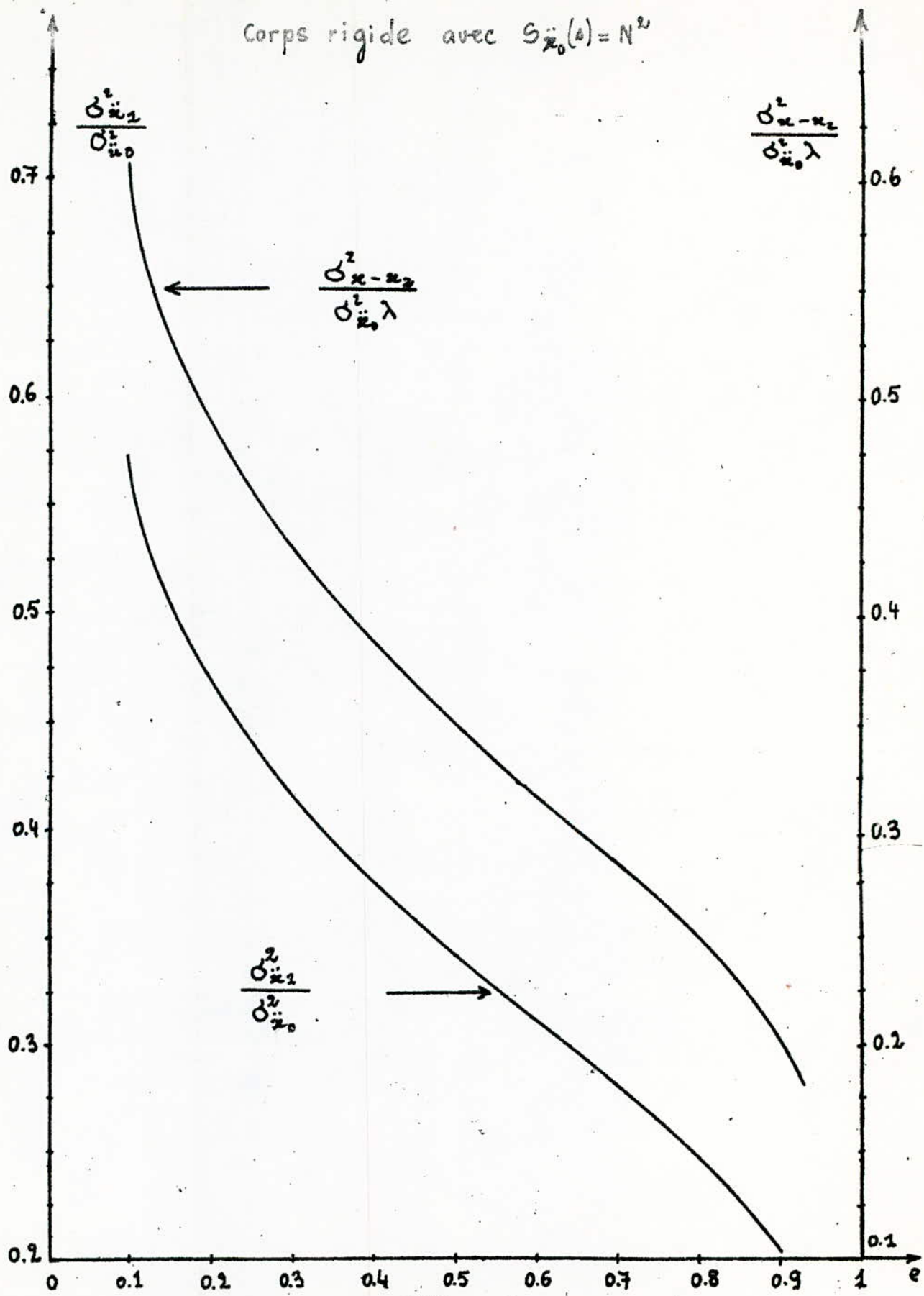
 6383.150 138728.1 747035.4 339627.0

 0.9000001 0.2037862 0.2059022

 7818.953 169208.5 899694.4 339627.0

[E0B]

Corps rigide avec $S_{\ddot{x}_0}(t) = N^2$



```

*****programme pour le calcul des dispersions de l'écart
et de l'accélération d'un corps rigide avec
excitation de densité spectrale :
S(s)=2.A2.N**2.(Q**2-s**2)/((Q**2+e**2)**2-4.A2.s**2)

READ*,W,A,C,Q,A2
WRITE(1,*),W,A,C,Q,A2
S3=(-A+SQRT(A*A-4.*W*C))/(2.*W)
S4=(-A-SQRT(A*A-4.*W*C))/(2.*W)
WRITE(1,*),____ r ____ valeurs des dispersions de l écart ____,_
WRITE(1,*),____ et de l accélération _____
WRITE(2,*),____ valeurs de N5,N4,N3,N2,N1,NO _____
DO 40 R=0.1,0.9,0.05
P=R/(1-R)
G=1/Q
H=(SQRT(2.)*Q*Q*(P**0.25)+Q-2.*SQRT(A2))/(Q**3)
U1=(Q-SQRT(A2))*(C-A*SQRT(A2))-A*(Q*Q-A2)
U11=(Q-SQRT(A2))*A*SQRT(Q*Q-A2)+(C-A*SQRT(A2))*SQRT(Q*Q-A2)
U2=W*(2.*A2-Q*Q)-A*SQRT(A2)+C
U22=A*SQRT(Q*Q-A2)-2.*W*SQRT(A2*Q*Q-A2*A2)
U3=SQRT(P)*(2.*A2-Q*Q)+(P**0.25)*SQRT(2.*A2)+1
U33=2.*SQRT(P)*SQRT(A2*Q*Q-A2*A2)+(P**0.25)*SQRT(2.*Q*Q-2.*A2)
U4=U2*U3+U33*U22
U44=-U2*U33+U22*U3
UZ1=-2.*U44*SQRT(Q*Q-A2)
UZ2=2.*U4*SQRT(Q*Q-A2)
UZ3=UZ1*(2.*A2-Q*Q)+UZ2*(2.*SQRT(A2*Q*Q-A2*A2))
UZ4=UZ2*(2.*A2-Q*Q)-UZ1*(2.*SQRT(A2*Q*Q-A2*A2))
U5=2.*(U1*UZ3+U11*UZ4)/(UZ3**2+UZ4**2)
U6=2.*SQRT(Q*Q-A2)*(UZ3*U11-UZ4*U1)/(UZ3**2+UZ4**2)
U7=U5*SQRT(A2)-U6
F1=(Q+S3)*(C+A*S3)
F2=S3*S3*(S3*S3+2.0*SQRT(A2)*S3+Q*Q)
F22=P**0.25
F3=F2*(SQRT(P)*S3*S3-SQRT(2.0)*F22*S3+1)
F4=F3*(S3-S4)
F5=F1/F4
F6=(Q+S4)*(C+A*S4)
F7=S4*S4*(S4*S4+2.0*SQRT(A2)*S4+Q*Q)
F8=F7*(SQRT(P)*S4*S4-SQRT(2.0)*F22*S4+1)
F9=F8*(S4-S3)
F10=F6/F9
E3=F5+F10
E4=(E3+(F5-F10)*SQRT(A*A-4.0*W*C))/(2.*W)

```

```

D0=Q*Q*C
D1=2.*C*SQRT(A2)+A*Q*Q+SQRT(2.)*Q*Q*C*F22
D2=C+2.*A*SQRT(A2)+W*Q*Q+SQRT(2.)*(2.*C*SQRT(A2)+A*Q*Q)*F22+
*Q*Q*C*SQRT(P)
D3=2.*SQRT(A2)*W+A+SQRT(2.)*F22*(C+2.*A*SQRT(A2)+
*W*Q*Q)+(2.*C*SQRT(A2)+A*Q*Q)*SQRT(P)
D4=SQRT(2.)*F22*(2.*SQRT(A2)*W+A)+
*(C+2.*A*SQRT(A2)+W*Q*Q)*SQRT(P)+W
D5=SQRT(2.)*W*F22+SQRT(P)*(2.0*SQRT(A2)*W+A)
D6=W*SQRT(P)
Y1=-D0*D1*D5+D0*D3*D3+D1*D1*D4-D1*D2*D3
Y2=D0*D3*D5+D1*D1*D6-D1*D2*D5
Y3=D0*D5*D5+D1*D3*D6-D1*D4*D5
Y4=(D2*Y3-D4*Y2+D6*Y1)/D0
Y5=(D2*Y4-D4*Y3+D6*Y2)/D0
Y0=(D4*Y1-D2*Y2+D0*Y3)/D6
DELTA=D0*(D1*Y5-D3*Y4+D5*Y3)
T3=H*W+U5*W+E3
TT5=E4-A*SQRT(P)
T2=W*G+H*(2.*SQRT(A2)*W+A)+U5*A+U7*W+2.*E3*SQRT(A2)+TT5
T1=G*(2.*SQRT(A2)*W+A)+H*(C+2.*A*SQRT(A2)+W*Q*Q)+U5*C+U7*A+
*E3*Q*Q+2.*E4*SQRT(A2)-SQRT(P)*(Q*A+C)-SQRT(2.)*F22*A
T0=G*(C+2.*A*SQRT(A2)+W*Q*Q)+H*(2.*C*SQRT(A2)+A*Q*Q)+
*E4*Q*Q+U7*C-SQRT(P)*Q*C-SQRT(2.)*F22*(Q*A+C)-A
WW=DELTA
Z11=(T3*T3)*(Y2/WW)+(T2*T2-2.*T1*T3)*(Y3/WW)
Z22=(T1*T1)*(Y4/WW)-(2.*T0*T2)*(Y4/WW)
Z23=(T0*T0)*(Y5/WW)
Z2=SQRT(A2)*(Z11+Z22+Z23)
T4=H*W+U5*W+E3
T5=W*G+H*(2.*SQRT(A2)*W+A)+U5*A+U7*W+2.*E3*SQRT(A2)+E4
T6=G*(2.*SQRT(A2)*W+A)+H*(C+2.*A*SQRT(A2)+W*Q*Q)+U5*C+U7*A+
1E3*Q*Q+2.0*E4*SQRT(A2)
T7=G*(C+2.0*A*SQRT(A2)+W*Q*Q)+H*(2.*C*SQRT(A2)+A*Q*Q)+E4*Q*Q+U7*W
T8=G*(2.*C*SQRT(A2)+A*Q*Q)+C*Q*Q
T9=Q*C
T39=2.0*T9*T5
T38=2.0*T8*T6
T37=T7*T7
T73=Y3/DELTA
TE=Y0/DELTA
TS=Y1/DELTA
Z33=T4*T4*TE+(T5*T5-(2.*T6)*T4)*TS
TF=Y2/DELTA

```

```
Z34=T6*T6*TF-((2.*T7)*T5-(2.*T8)*T4)*TF
Z44=(T37*T73-T38*T73+T39*T73)+(T9*T9*Y5)/DELTA
Z55=((T8*T8-(2.*T9)*T7)*Y4)/DELTA
Z4=SQRT(A2)*(Z33+Z34+Z44+Z55)
WRITE(1,*),'*****'
WRITE(1,*),'r=',R , Z2 , Z4
WRITE(2,*),'*****'
WRITE(2,*),'r=',R
WRITE(2,*),'
WRITE(2,*),'N5=',T4,'N4=',T5,'N3=',T6
WRITE(2,*),
WRITE(2,*),'N2=',T7,'N2=',T8,'N0=',T9
40 CONTINUE
STOP
END
```

[EOF]

3192.500 67781.31 339627.0 1.527920 8.3769999E-02
 --- r --- valeurs des dispersions de l ecart ---
 _____ et de l acceleration _____

 r= 5.0000001E-02 3.8507641E-03 1.380735

 r= 0.1000000 1.1330590E-02 0.9921904

 r= 0.1500000 2.1257341E-02 0.7962932

 r= 0.2000000 3.3259433E-02 0.6737968

 r= 0.2500000 4.7189333E-02 0.5878294

 r= 0.3000000 6.3040383E-02 0.5228215

 r= 0.3500000 8.0921002E-02 0.4709766

 r= 0.4000000 0.1010539 0.4279251

 r= 0.4500000 0.1237913 0.3910007

 r= 0.5000001 0.1496532 0.3584630

 r= 0.5500001 0.1793951 0.3291052

 r= 0.6000001 0.2141289 0.3020390

 r= 0.6500001 0.2555405 0.2765595

 r= 0.7000001 0.3063089 0.2520553

 r= 0.7500001 0.3709865 0.2279294

 r= 0.8000001 0.4580654 0.2034931

 r= 0.8500001 0.5857518 0.1777805

 r= 0.9000002 0.8030205 0.1490570

 r= 0.9500002 1.317845 0.1128202

[EOB]

valeurs de N5,N4,N3,N2,N1 ,N0

r = 0.1000000

N5=	1440.268	N4=	34093.12	N3=	285391.4
-----	----------	-----	----------	-----	----------

N2=	533827.9	N2=	1025107.	N0=	518922.9
-----	----------	-----	----------	-----	----------

r = 0.1500000

N5=	1790.346	N4=	41850.39	N3=	279946.9
-----	----------	-----	----------	-----	----------

N2=	578246.1	N2=	1025107.	N0=	518922.9
-----	----------	-----	----------	-----	----------

r = 0.2000000

N5=	2079.674	N4=	48216.03	N3=	315820.1
-----	----------	-----	----------	-----	----------

N2=	610272.4	N2=	1025107.	N0=	518922.9
-----	----------	-----	----------	-----	----------

r = 0.2500000

N5=	2332.125	N4=	53743.96	N3=	346575.9
-----	----------	-----	----------	-----	----------

N2=	635642.0	N2=	1025107.	N0=	518922.9
-----	----------	-----	----------	-----	----------

r = 0.3000000

N5=	2560.798	N4=	58734.12	N3=	374085.9
-----	----------	-----	----------	-----	----------

N2=	657050.5	N2=	1025107.	N0=	518922.9
-----	----------	-----	----------	-----	----------

r = 0.3500000

N5=	2774.009	N4=	63374.98	N3=	399497.6
-----	----------	-----	----------	-----	----------

N2=	676000.4	N2=	1025107.	N0=	518922.9
-----	----------	-----	----------	-----	----------

r = 0.4000000

N5=	2977.673	N4=	67799.52	N3=	423603.1
-----	----------	-----	----------	-----	----------

N2=	693441.0	N2=	1025107.	N0=	518922.9
-----	----------	-----	----------	-----	----------

r= 0.4500000

N5= 3176.474	N4= 72112.10	N3= 44.012.3
N2= 710044.0	N2= 1025107.	N0= 518922.9

r= 0.5000001		
N5= 3374.547	N4= 76404.28	N3= 470250.2
N2= 726343.4	N2= 1025107.	N0= 518922.9

r= 0.5500001		
N5= 3575.984	N4= 80766.02	N3= 493825.0
N2= 742822.3	N2= 1025107.	N0= 518922.9

r= 0.6000001		
N5= 3785.320	N4= 85296.55	N3= 518290.8
N2= 742822.3	N2= 1025107.	N0= 518922.9

r= 0.6000001		
N5= 3785.320	N4= 85296.55	N3= 518290.8
N2= 759981.2	N2= 1025107.	N0= 518922.9

r= 0.6500001		
N5= 4008.149	N4= 90118.00	N3= 544323.8
N2= 778411.8	N2= 1025107.	N0= 518922.9

r= 0.7000001		
N5= 4252.126	N4= 95397.02	N3= 572843.0
N2= 798907.0	N2= 1025107.	N0= 518922.9

r= 0.7500001		

N5= 4528.816 N4= 101385.2 N3= 605233.1

N2= 822657.5 N2= 1025107. N0= 518922.9

r= 0.8000001

N5= 4857.699 N4= 108506.3 N3= 643824.9

N2= 851675.8 N2= 1025107. N0= 518922.9

r= 0.8500001

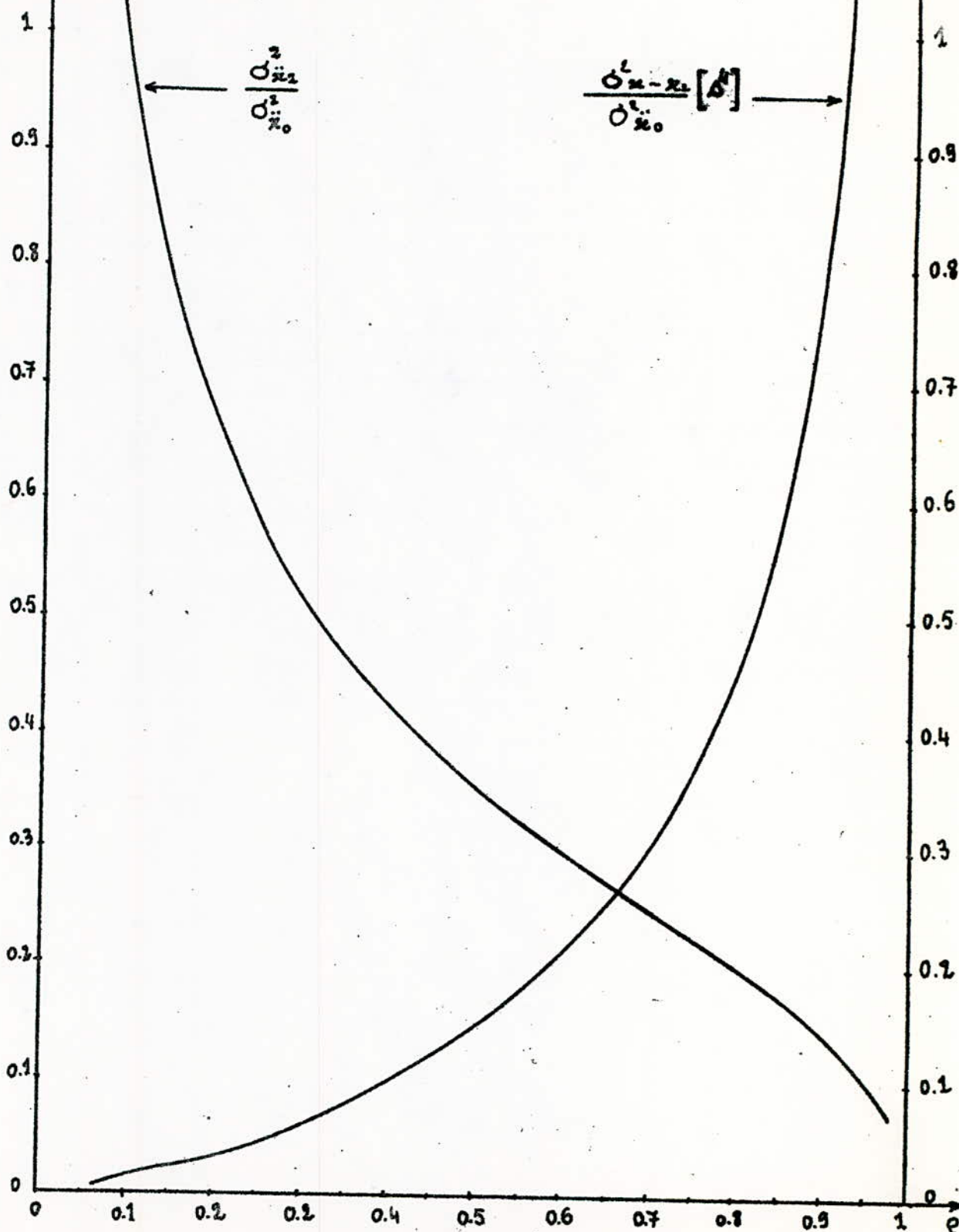
N5= 5276.444 N4= 117579.7 N3= 693129.9

N2= 889886.7 N2= 1025107. N0= 518922.9

[EOB]

corps rigide avec

$$S_{\ddot{x}_0}(\delta) = 2N^2 \alpha_2 \frac{n^2 - A^2}{(A^2 + \delta^2)^2 - 4 \alpha_2 A^2}$$



programme pour le calcul des dispersions de l'écart
et de l'accélération d'un système dynamique avec
excitation bruit blanc ***

```
REAL K1,K2,K3
REAL N5,N4,N3,N2,N1,N0
READ*,W,A,C,W1,A1,C1
WRITE(6,20)W,A,C,W1,A1,C1
20 FORMAT(2X,F6.1,1X,F8.2,1X,F8.1/2X,F7.4,1X,F7.3,1X,F7.2)
PRINT*, '*****valeurs de A , B , D , E *****'
PRINT*, ' dispersions de l écart et l acceleration '
PRINT*, '***valeus de N5 , N4 , N3 , N2 , N1 , N0***'
DO 50 R=0.1,0.9,0.1
P=R/(1-R)
X1=A1*SQRT(P)
XN=1.0
10 AN=2534834.8
PN=7.18395E10*SQRT(P)
CN=1.60672E16*P+5.129E10
XP=-AN*(XN**2)+BN*XN+CN
X3=XP**(.25)
Y=ABS(X3-XN)

IF(Y.LT.0.00000000001) GO TO 85
XN=X3
GO TO 10
85 RS=1267417.4
RT=15922.1
X2=((X3**2)+RS)/RT
X4=C1
PRINT*, ****
PRINT*, X1,X2,X3,X4
30 FORMAT(2X,4(F12.5))
F=1.0
G=(X3-A1)/C1
S3=(-A-CRT(A*A-4.*W*C))/(2.*W)
S4=(-A+CRT(A*A-4.*W*C))/(2.*W)
H1=(A*S3+(W1*S3+C2-A1*S3+C1))
H2=S3**2*(-)
H3=H2*(-X1*S3**3+Y2*S3**2-X3*S3+X4)
H4=H1/H3
U1=(A*S4+C)*(W1*S4**2-A1*S4+C1)
U2=S4**2*(S4-S3)
U3=U2*(-X1*S4**3+X2*S4**2-X3*S4+X4)
U4=U1/U3
```

```

H5=H4+U4
U5=(H5+(H4-U4)*SQRT(A*A-4.*W*C))/(2.*W)
D5=X1*W
D4=X1*A+X2*W
D3=X1*C+X2*A+X3*W
D2=X3*A+X4*W+X2*C
D1=X3*C+X4*A
D0=X4*C
Y1=-D0*D3+D1*D2
YT=-((D0*D3)/D5)*1E-28+((D1*D2)/D5)*1E-28
Y2=-D0*D5+D1*D4
YZ=(-D0*1E-28)+((D1*D4)/D5)*1E-28
Y0=D3*YT
Y10=-(D1*YZ)
Y3=D2*(-D5+(D1*D4)/D0)-D4*(-D3+(D1*D2)/D0)
Y4=D2*(Y3/D0)-D4*(Y2/D0)
DELTA=D0*(D1*(Y4*1E-28)-D3*(Y3*1E-28)+D5*(Y2*1E-28))
T0=(W*F+A*G+U5)*C1
T1=T0+(F*A+G*C)*A1
T2=T1+F*C*W1-X2*C-X3*A
T3=(G*W+H5)*C1+(W*F+A*G+U5)*A1
T4=T3+(F*A+G*C)*W1-X1*C-X2*A

T5=(G*W+H5)*A1-X1*A
T6=T5+(W*F+A*G+U5)*W1
T7=(G*W+H5)*W1
Z1=T7**2*(Y1*1E-28)+(T6**2-2.0*T4*T7)*(Y2*1E-28)
Z2=T4*(Y3*1E-28)*T4
ZT=(-2.0*T2*T6)*(Y3*1E-28)
ZR=T2*T2*(Y4*1E-28)
Z3=Z1+Z2+ZT+ZR
Z4=(Z3/(DELTA*P))
T8=(G*W+H5)*A1
T9=(G*W+H5)*C1+(W*F+A*G+U5)*A1
T10=(W*F+A*G+U5)*C1+(F*A+G*C)*A1
T11=(F*A+G*C)*C1+F*C*A1
T12=C*C1
Z55=T8**2*(Y0/DELTA)+T8**2*(Y10/DELTA)
Z5=((T9**2-2.*T10*T8)*(Y1/DELTA))*1E-28+Z55
Z6=(T10**2-2.*T11*T9+2.*T12*T8)*((Y2*1E-28)/DELTA)
Z7=Z6+(T11**2-2.*T12*T10)*((Y3*1E-28)/DELTA)
Z8=(T12*T12)*((Y4*1E-28)/DELTA)
Z9=Z7+Z8+Z5
PRINT*, _____
PRINT*, R,Z4,Z9

```

```
K1=G*W+H5
K2=F*W+A*G+U5
K3=F*A+G*C
N5=K1*W1
N4=K1*A1+K2*W1
N3=K2*A1+K3*W1+K1*C1
N2=K2*C1+K3*A1+F*C*W1
N1=K3*C1+F*C*A1
N0=F*C*C1
PRINT*,'
PRINT*,N5,N4,N3,N2
PRINT*,N1,N0
.50 CONTINUE
STOP
END
```

***** Valeurs de A , B , D , E ****
 * dispersions de l ecart et l acceleration *
 * valeus de N5 , N4 , N3 , N2 , N1 , NO *

 47.22934 2768.872 6543.611 7961.050

 r= 0.1000000 1.135711 3.652020

 206629.9 5016266. 5.6063772E+07
 5.3398074E+08 2.7619973E+09 2.7037875E+09

 70.84400 4121.622 8022.310 7961.050

 r= 0.2000000 0.9525698 2.988475

 254841.7 6122253. 6.7701248E+07
 6.4348877E+08 3.2642033E+09 2.7037875E+09

 92.75657 5373.245 9180.736 7961.050

 r= 0.3000000 0.8429071 2.614307

 292544.5 6987589. 7.6809856E+07
 7.2918106E+08 3.6576361E+09 2.7037875E+09

 115.6878 6680.615 10251.93 7961.050

 r= 0.4000000 0.7606809 2.342338

 327075.1 7787247. 8.5228488E+07
 8.0837555E+08 4.0214413E+09 2.7037875E+09

 141.6880 8160.825 11343.28 7961.050

 r= 0.5000000 0.6912743 2.117471

 362838.8 8601625. 9.3802872E+07
 8.8903194E+08 4.3920952E+09 2.7037875E+09

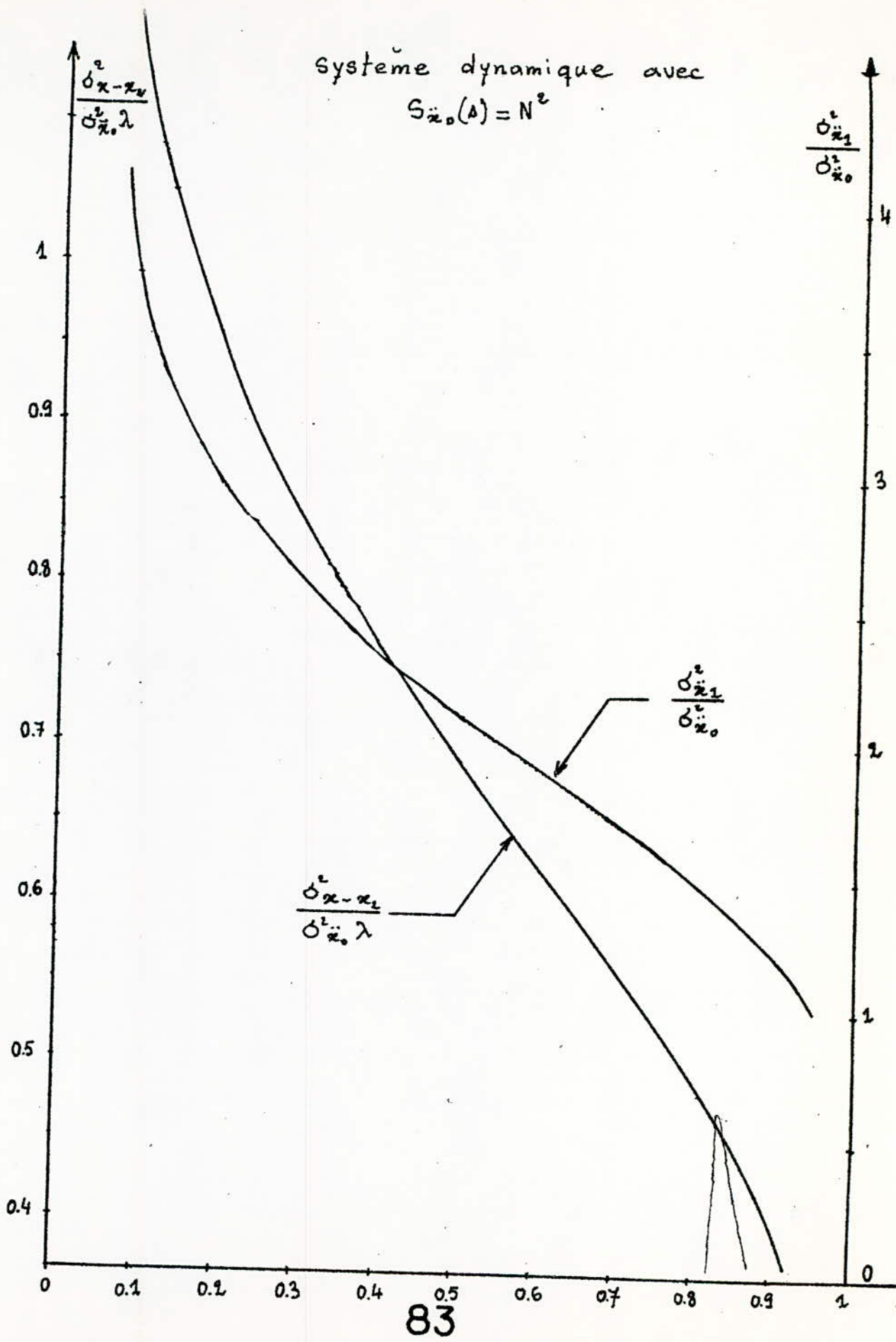
 173.5317 9971.429 12549.85 7961.050

 r= 0.6000000 0.6274861 1.914021

 402027.5 9501705. 1.0328014E+08

9.7817946E+08	4.8018765E+09	2.7037875E+09	
*****	*****	*****	*****
216.4320	12407.90	14010.38	7961.050
r = 0.7000000	0.5640742	1.714380	
449446.6	1.0590984E+07	1.1475009E+08	
1.0860696E+09	5.2979149E+09	2.7037875E+09	
*****	*****	*****	*****
283.3761	16204.95	16023.40	7961.050
r = 0.8000001	0.4947668	1.498683	
514780.8	1.2092007E+07	1.3055614E+08	
1.2347457E+07	5.9815900E+09	2.7037875E+09	
*****	*****	*****	*****
27.6542	24.329.76	19609.21	7961.050
r = 0.9000001	0.4055088	1.224036	
631123.4	1.4765291E+07	1.5870715E+08	
1.4995411E+09	7.1994281E+09	2.7037875E+09	
*****	*****	*****	*****

[OB]



```

***programme pour le calcul des dispersions de l'écart
et de l'accélération d'un système dynamique avec
l'excitation de densité spectrale :
S(s)=2.*A2.*N**2*(Q**2-s**2)/((Q*Q+s*s)**2-4*A2*s**2) ***
REAL N7,N6,N5,N4,N3,N2,N1,N0
READ*,W,A,C,W1,A1,C1,Q,A2
WRITE(1,*),'*'***** valeurs de A , B , D , E *****'
WRITE(1,*),'*' dispersions de l ecart et de l acceleration '
PRINT*,'*' valeur de N7,N6,N5,N4,N3,N2,N1,N0 '*'
DO 50 R=0.05,0.95,0.05
P=R/(1-R)
S3=(-A+SQRT(A*A-4.*W*C))/(2.*W)
S4=(-A-SQRT(A*A-4.*W*C))/(2.*W)
X1=A1*SQRT(P)
XN=1
10 AN=2534834.8
BN=7.18395E10*SQRT(P)
CN=1.60672E16*P+5.129E10
XP=-AN*(XN**2)+BN*XN+CN
X3=XP**(.25)
Y=ABS(X3-XN)
IF(Y.LT.0.0000000001) GO TO 75
XN=X3
GO TO 10
75 RS=1267417.4
RT=15922.1
X2=((X3**2)+RS)/RT
X4=C1
WRITE(1,*),'*'***** *****
WRITE(1,*),X1,X2,X3,X4
WRITE(1,*),'
G=1/Q
H1=(C-A1/(Q*C1)+X3/(Q*C1)-2.*SQRT(A2)/(Q**3)
H11=(Q-SQRT(A2))*(C-A*SQRT(A2))-A*(Q*Q-A2)
H11=(Q-SQRT(A2))*A*SQRT(Q*Q-A2)+(C-A*SQRT(A2))*SQRT(Q*Q-A2)
H2=W1*(2.*A2-Q*Q)+A1*SQRT(A2)+C1
H22=2.*W1*SQRT(A2*Q*Q-A2**2)-A1*SQRT(Q*Q-A2)
H3=H1*H2+H11*H22
H33=H2*H11-H1*H22
H4=W*(2.*A2-Q*Q)-A*SQRT(A2)+C
H44=A*SQRT(Q*Q-A2)-2.*W*SQRT(A2*Q*Q-A2*A2)
H5=-(2.*A-Q*Q)*SQRT(A2)+2.*SQRT((Q*Q-A2)*(A2*Q*Q-A2*A2))
H55=2.*SQRT((A2*Q)**2-A2**3)+(2.*A-Q*Q)*SQRT(Q*Q-A2)
H6=-X1*H5+X2*(2.*A-Q*Q)+X3*SQRT(A2)+X4

```

```

H66=X1*H55+X2*2.*SQRT(A2*Q*Q-A2*A2)+X3*SQRT(Q*Q-A2)
H7=H4*H6+H44*H66
H77=H6*H44-H4*H66
H8=-2.*H77*SQRT(Q*Q-A2)
H88=2.*H7*SQRT(Q*Q-A2)
H9=(2.*A^2-Q*Q)*H8+2.*H88*SQRT(A2*Q*Q-A2*A2)
H99=H88*(2.*A-Q*Q)-H8*2.*SQRT(A2*Q*Q-A2*A2)
TT=(H9*1E-20)*H9+(H99*1E-20)*H99
B1=2.*((H9*H3)/TT)*1E-20+((H33*H99)/TT)*1E-20)
B12=2.*(((H33*H9)/TT)*1E-20-((H3*H99)/TT)*1E-20)*SQRT(Q*Q-A2)
B2=B1*SQRT(A2)-B12
U1=(W1*S3*C3-A1*S3+C1)*(Q+S3)*(A*S3+C)
U2=S3*S3*(S3*S3+2.*SQRT(A2)+Q*Q)
U3=U2*(-X1*(S3**3)+X2*S3*S3-X3*S3+X4)*(S3-S4)
U4=U1/U3
U5=(W1*S4*S4-A1*S4+C1)*(Q+S4)*(A*S4+C)
U6=S4*S4*(S4*S4+2.*SQRT(A2)+Q*Q)
U7=U6*(-X1*(S4**3)+X2*S4*S4-X3*S4+X4)*(S4-S3)
U8=U5/U7
U9=U4+U8
U10=(U9+(U4-U8)*SQRT(A*A-4.*W*C))/(2.*W)
D0=Q*Q*C*X4*B
D1=(2.*SQRT(A2)*C+A*Q*Q)*X4+X3*Q*Q*C
D2=(C+2.*A*SQRT(A2)+W*Q*Q)*X4+(2.*SQRT(A2)*C+
*A*Q*Q)*X3+Q*Q*C*X2
D3=(A+2.0*SQRT(A2)*W)**X4+(C+2.*A*SQRT(A2)+W*Q*Q)*X3+
*(2.*SQRT(A2)*C+A*Q*Q)*X2+X1*Q*Q*C
D4=W*X4+(A+2.*SQRT(A2)*W)*X3+(C+2.*A*SQRT(A2)+W*Q*Q)*X2+
*(2.*SQRT(A2)*C+A*Q*Q)*X1
D5=(A+2.*SQRT(A2)*W)*X2+X3*W+(C+2.*A*SQRT(A2)+W*Q*Q)*X1
D6=W*X2+X1*(A+2.*SQRT(A2)*W)
D7=X1*W
Y1=(-(D1*D4-D0*D5)*1E-30)*(D1*D4-D0*D5)+*
((D0*D7-D1*D6+D2*D5-D3*D4)*1E-30)*(D0*D3-D1*D2)
Y2=(D0*D7-D1*D6)*((-D0*D5+D1*D4)*1E-30)+*
(D0*D3-D1*D2)*((D2*D7-D3*D6)*1E-30)
Y3=(-(D0*D7-D1*D6)*1E-30)*(D0*D7-D1*D6)+*
(D0*D3-D1*D2)*((D4*D7-D5*D6)*1E-30)
Y4=D2*(Y3/D0)-D4*(Y2/D0)+D6*(Y1/D0)
Y5=D2*(Y4/D0)-D4*(Y3/D0)+D6*(Y2/D0)
Y6=D2*(Y5/D0)-D4*(Y4/D0)+D6*(Y3/D0)
Y0=D5*(Y1/D7)-D3*(Y2/D7)+D1*(Y3/D7)
DEL=D0*(D1*Y6-D3*Y5+D5*Y4-D7*Y3)
T11=W*H+B1*W+U9

```

```

T12=A+2.* (SQRT(A2)*W)
T13=C+2.*A*SQRT(A2)+Q*Q*W
T14=2.*SQRT(A2)*C+A*Q*Q
T15=A*Q+C
T0=(T13*G+T14*H+B2*C+U10*Q*Q)*C1+G*Q*Q*C*W1+
*(T14*G+Q*Q*C*H)*A1-A*X4-T15*X3-Q*C*X2
T1=(T13*H+T12*G+B1*C+B2*A+U9*Q*Q+2.*U10*SQRT(A2))*C1+
*(T13*G+T14*H+B2*C+U10*Q*Q)*A1+(T14*G+Q*Q*C*H)*W1-
* A*X3-T15*X2-Q*C*X1
BS=B2*C+U10*Q*Q+T14*H+T13*G
T2=(W*G+T12*H+B1*A+B2*W+2.*SQRT(A2)*U9+U10)*C1+
*(T12*G+T13*H+B1*C+B2*A+U9*Q*Q+2.*U10*SQRT(A2))*A1+
* BS*W1-A*X2-T15*X1
T3=T11*C1+(W*G+T12*H+B1*A+B2*W+2.*SQRT(A2)*U9+U10)*A1+
*(T12*G+T13*H+B1*C+B2*A+U9*Q*Q+2.*U10*SQRT(A2))*W1-X1*A
T4=T11*A1+(W*G+T12*H+B1*A+B2*W+2.*SQRT(A2)*U9+U10)*W1
T5=T11*W1
ZG=DEL*P
Z1=T5*(T5*(Y1/ZG))+T4*(T4*(Y2/ZG))-2.*T3*(T5*(Y2/ZG))
Z2=Z1+T3*(T3*(Y3/ZG))-2.*T2*(T4*(Y3/ZG))+2.*T1*(T5*(Y3/ZG))
Z3=Z2+T2*(T2*(Y4/ZG))-2.*T1*(T3*(Y4/ZG))+2.*T0*(T4*(Y4/ZG))
Z4=Z3+T1*(T1*(Y5/ZG))-2.*T0*(T2*(Y5/ZG))+T0*(T0*(Y6/ZG))

T12=A+2.* (SQRT(A2)*W)
T13=C+2.*A*SQRT(A2)+Q*Q*W
T14=2.*SQRT(A2)*C+A*Q*Q
T15=A*Q+C
T0=(T13*G+T14*H+B2*C+U10*Q*Q)*C1+G*Q*Q*C*W1+
*(T14*G+Q*Q*C*H)*A1-A*X4-T15*X3-Q*C*X2
T1=(T13*H+T12*G+B1*C+B2*A+U9*Q*Q+2.*U10*SQRT(A2))*C1+
*(T13*G+T14*H+B2*C+U10*Q*Q)*A1+(T14*G+Q*Q*C*H)*W1-
* A*X3-T15*X2-Q*C*X1
BS=B2*C+U10*Q*Q+T14*H+T13*G
T2=(W*G+T12*H+B1*A+B2*W+2.*SQRT(A2)*U9+U10)*C1+
*(T12*G+T13*H+B1*C+B2*A+U9*Q*Q+2.*U10*SQRT(A2))*A1+
* BS*W1-A*X2-T15*X1
T3=T11*C1+(W*G+T12*H+B1*A+B2*W+2.*SQRT(A2)*U9+U10)*A1+
*(T12*G+T13*H+B1*C+B2*A+U9*Q*Q+2.*U10*SQRT(A2))*W1-X1*A
T4=T11*A1+(W*G+T12*H+B1*A+B2*W+2.*SQRT(A2)*U9+U10)*W1
T5=T11*W1
ZG=DEL*P
Z1=T5*(T5*(Y1/ZG))+T4*(T4*(Y2/ZG))-2.*T3*(T5*(Y2/ZG))
Z2=Z1+T3*(T3*(Y3/ZG))-2.*T2*(T4*(Y3/ZG))+2.*T1*(T5*(Y3/ZG))
Z3=Z2+T2*(T2*(Y4/ZG))-2.*T1*(T3*(Y4/ZG))+2.*T0*(T4*(Y4/ZG))
Z4=Z3+T1*(T1*(Y5/ZG))-2.*T0*(T2*(Y5/ZG))+T0*(T0*(Y6/ZG))

```

```

Z5=SQRT(A2)*Z4
T61=T11*A1
T51=T11*C1+(W*G+T12*H+B1*A+B2*W+2.*SQRT(A2)*U9+U10)*A1
T41=(W*G+T12*H+B1*A+B2*W+2.*SQRT(A2)*U10)*C1+
* (T12*G+T13*H+B1*C+B2*A+U9*Q*Q+2.*U10*SQRT(A2))*A1
T31=(T12*G+T13*H+B1*C+B2*A+U9*Q*Q+2.*U10*SQRT(A2))*C1+
* (T13*G+T14*H+B2*C+U10*Q*Q)*A1
T21=(T13*G+T14*H+B2*C+U10*Q*Q)*C1+(T14*G+Q*Q*C*H)*A1
T22=(T14*G+Q*Q*C*H)*C1+G*Q*Q*A1*C
T33=G*Q*Q*C*C1
Z6=T61*T61*(Y0/DEL)+(T51*T51-2.*T41*T61)*(Y1/DEL)
Z7=(T41*T41-2.*T31*T51+2.*T21*T61)*(Y2/DEL)
ZH=-2.*T33*(T61*(Y3/DEL))+2.*T22*(T51*(Y3/DEL))
Z8=T31*(T31*(Y3/DEL))-2.*T21*(T41*(Y3/DEL))+ZH
ZI=2.*T33*(T41*(Y4/DEL))
Z9=T21*(T21*(Y4/DEL))-2.*T22*(T31*(Y4/DEL))+ZI
ZU=T33*(T33*(Y6/DEL))
Z10=T22*(T22*(Y5/DEL))-2.*T33*(T21*(Y5/DEL))+ZU
Z11=SQRT(A2)*(Z6+Z7+Z8+Z9+Z10)
WRITE(1,*),R,Z5,Z11
N7=T5
N6=T4
N5=T3+X1*A
N4=T2+A*X2+T15*X1
N3=T1+A*X3+T15*X2+Q*C*X1
N2=T0+A*X4+T15*X3+Q*C*X2
N1=(T14*G+Q*Q*C*H)*C1+G*Q*Q*C*A1
N0=G*Q*Q*C*C1
PRINT*, '*****'
PRINT*, N7,N6,N5,N4
PRINT*, N4,N2,N1,N0
50 CONTINUE
STOP
END

```

)B]

*****valeurs de A , B , D , E *****
 * dispersion : +/- ecart et de l acceleration *

 32.50546 1922.069 5416.268 7961.050
 5.0000001E-02 0.8118132 1.110275

 47.22934 2768.872 6543.611 7961.050
 0.1000000 0.3398282 0.8240372

 59.52087 3473.618 7351.183 7961.050
 0.1500000 0.2469267 0.6915152

 70.84400 4121.622 8022.310 7961.050
 0.2000000 0.2182534 0.6088711

 81.80360 4747.956 8621.485 7961.050
 0.2500000 0.2072047 0.5497848

 92.75657 5373.245 9180.736 7961.050
 0.3000000 0.2019076 0.5040385

 103.9706 6012.850 9719.557 7961.050
 0.3500000 0.1984410 0.4665986

 115.6878 6680.615 10251.93 7961.050
 0.4000000 0.1953324 0.4347486

 128.1616 7391.011 10789.49 7961.050
 0.4500000 0.1919474 0.4067274

 141.6880 8160.825 11343.28 7961.050
 0.5000001 0.1880239 0.3814983

 156.6420 9011.368 11925.29 7961.050

0.5500001	0.1833970	0.3581949	
173.5317	9971.429	12549.85	7961.050
0.6000001	0.1779733	0.3362449	
193.0882	11082.43	13235.87	7961.050
0.6500001	0.1716318	0.3150809	
216.4320	12407.80	14010.38	7961.050
0.7000001	0.1642405	0.2942507	
245.4109	14052.11	14915.48	7961.050
0.7500001	0.1555866	0.2732357	
283.3761	16204.95	16023.40	7961.050
0.8000001	0.1453058	0.2513300	
0.8000001	0.1453058	0.2513300	
337.2851	19259.74	17475.36	7961.050
0.8500001	0.1327633	0.2274978	
425.0644	24229.76	19609.21	7961.050
0.9000002	0.1166517	0.1997504	
617.6048	35119.35	23620.04	7961.050
0.9500002	9.3347847E-02	0.1625812	

EOB]

*** valeurs de N7,N6,N5,N4,N3,N2,N1,N0 ***

r= 5.0000001E-02

180824.2	4426785.	5.0547560E+07	4.8991517E+08
4.8991517E+08	4.1431703E+09	6.3388943E+09	4.1311708E+09

r= 0.1000000

204699.0	4990043.	5.6706568E+07	5.4898138E+08
5.4898138E+08	4.4153047E+09	6.9238989E+09	4.1311708E+09

r= 0.1500000

221812.6	5393645.	6.1119884E+07	5.9130278E+08
5.9130278E+08	4.6102676E+09	7.3429663E+09	4.1311708E+09

r= 0.2000000

236039.5	5729099.	6.4788088E+07	6.2647738E+08
6.2647738E+08	4.7722982E+09	7.6912292E+09	4.1311708E+09

r= 0.2500000

248743.7	6028616.	6.8063352E+07	6.5788320E+08
6.5788320E+08	4.9169623E+09	8.0021550E+09	4.1311708E+09

r= 0.3000000

260603.2	6308193.	7.1120576E+07	6.8719782E+08
6.8719782E+08	5.0519900E+09	8.2923638E+09	4.1311708E+09

r= 0.3500000

272030.7	6577567.	7.4066272E+07	7.1544243E+08
7.1544243E+08	5.1820867E+09	8.5719700E+09	4.1311708E+09

r= 0.4000000

283322.4	6843726.	7.6976816E+07	7.4334970E+08
7.4334970E+08	5.3106284E+09	8.8482294E+09	4.1311708E+09

r= 0.4500000

294725.1	7112488.	7.9915848E+07	7.7152973E+08
7.7152973E+08	5.4404229E+09	9.1271803E+09	4.1311708E+09

r = 0.5000001			
306472.9	7389375.	8.2943728E+07	8.0056147E+08
8.0056147E+08	5.5741399E+09	9.4145587E+09	4.1311708E+09

r = 0.5500001			
318819.9	7680371.	8.6125928E+07	8.3107245E+08
8.3107245E+08	5.7146691E+09	9.7165742E+09	4.1311708E+09

r = 0.6000001			
332070.2	7992650.	8.9540872E+07	8.6381485E+08
8.6381485E+08	5.8654740E+09	1.0040672E+10	4.1311708E+09

r = 0.6500001			
346625.2	8335666.	9.3291944E+07	8.9977978E+08
8.9977978E+08	6.0311204E+09	1.0396663E+10	4.1311708E+09

r = 0.7000001			
363058.4	8722938.	9.7527008E+07	9.4038477E+08
9.4038477E+08	6.2181371E+09	1.0798578E+10	4.1311708E+09

r = 0.7500001			
382263.1	9175509.	1.0247617E+08	9.8783616E+08
9.8783616E+08	6.4366848E+09	1.1268255E+10	4.1311708E+09

r = 0.8000001			
405772.0	9729502.	1.0853446E+08	1.0459215E+09
1.0459215E+09	6.7042068E+09	1.1843181E+10	4.1311708E+09

r = 0.8500001			
436582.1	1.0455534E+07	1.1547414E+08	1.1220444E+09
1.1220444E+09	7.0548029E+09	1.2596633E+10	4.1311708E+09

r = 0.9000002

481863.6 1.1522555E+07 1.2814281E+08 1.2339191E+09

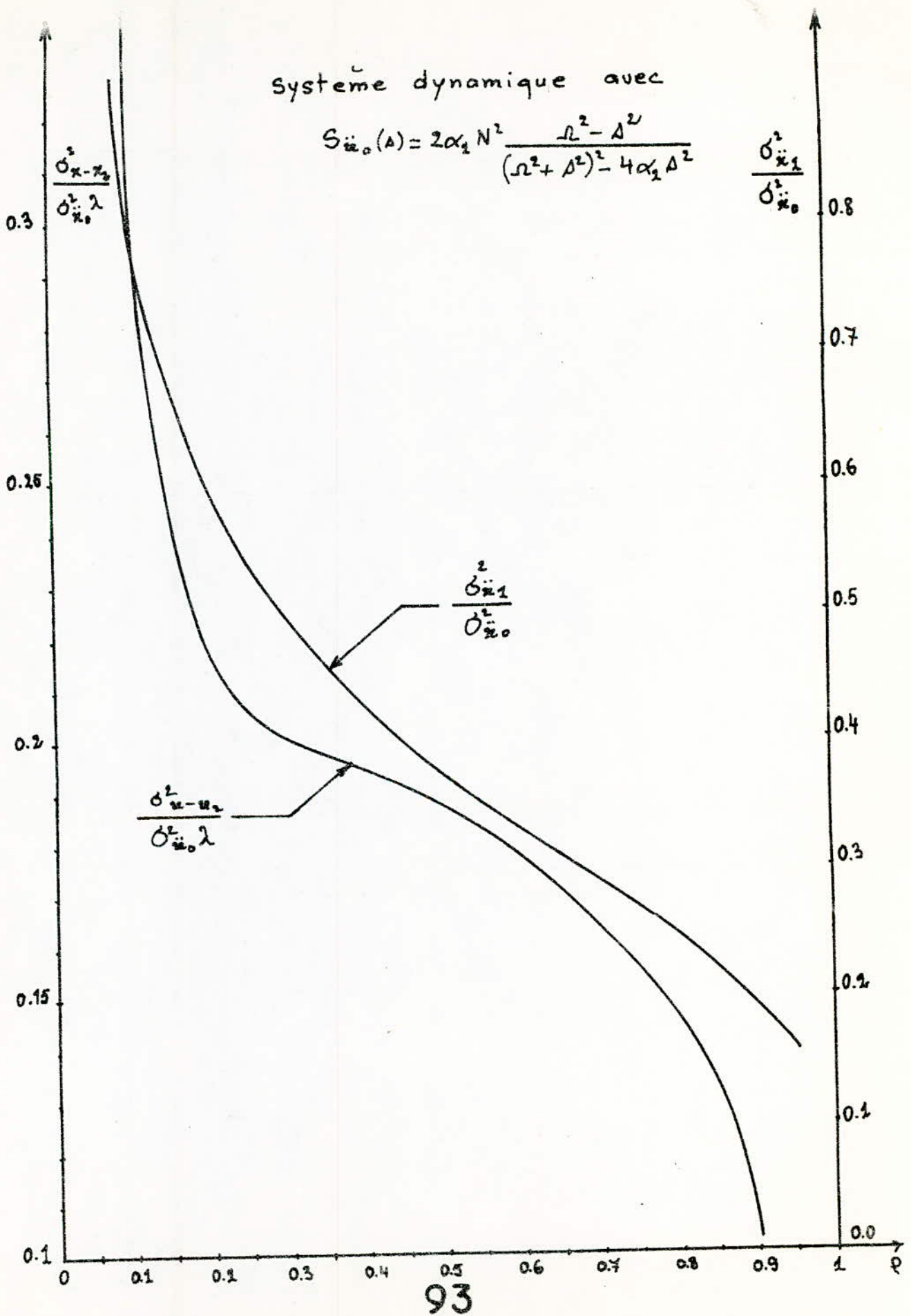
1.2339191E+09 7.5700572E+09 1.3703938E+10 4.1311708E+09

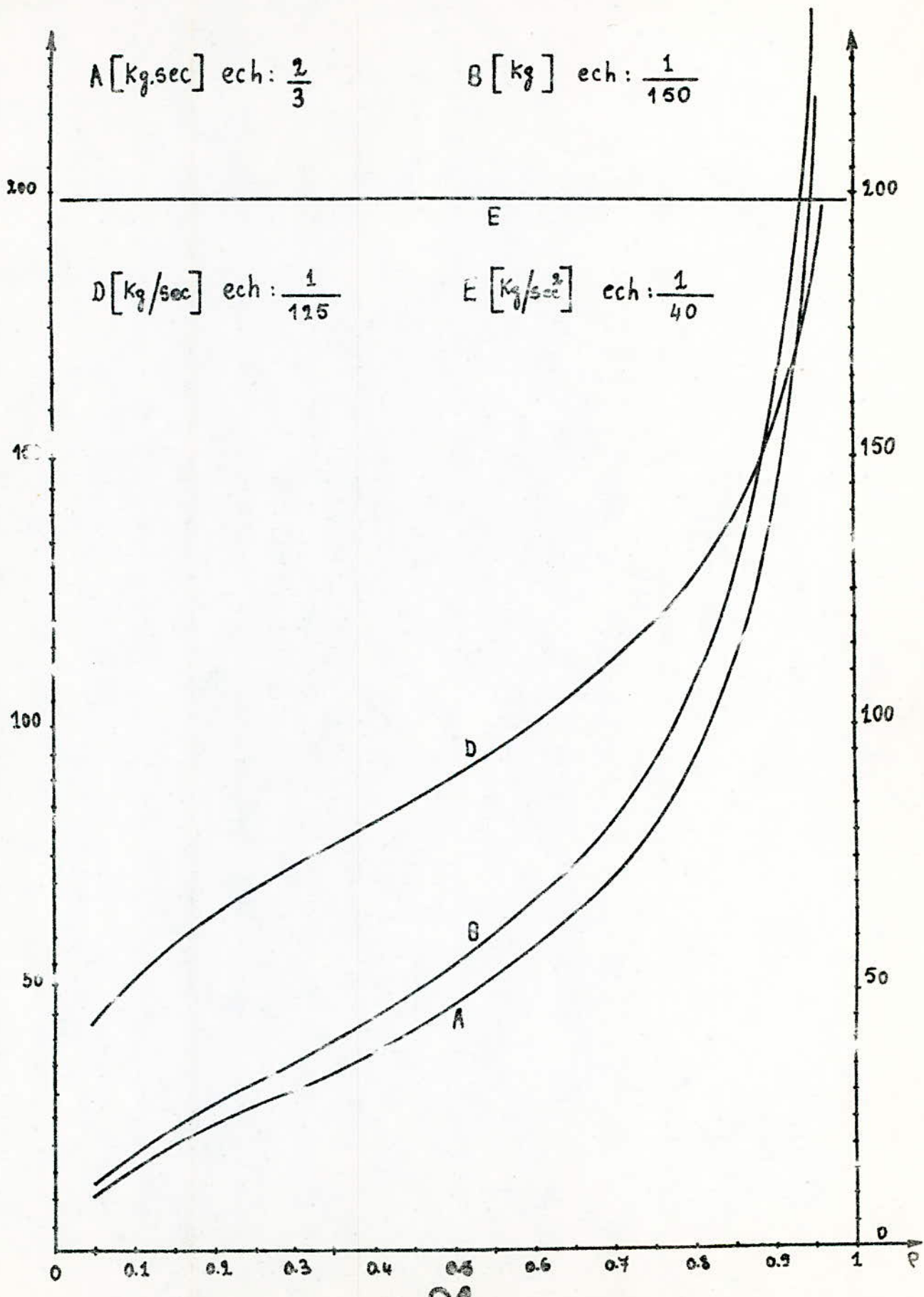
r = 0.9500002

566978.8 1.3528176E+07 1.5007586E+08 1.4442030E+09

1.4442030E+09 8.5385421E+09 1.5785250E+10 4.1311708E+09

[08]





5.5. Exemples pour la détermination des fonctions de transfert optimum :-

a) Cas du corps rigide avec excitation par un processus tel que $S_{\ddot{x}_0}(s) = \frac{2\alpha_2 N^2}{(\Omega^2 + s^2)^2 - 4\alpha_2 s^2}$

on démontre que le carré de la valeur efficace de la dispersion de l'accélération de l'excitation est

$$\sigma_{\ddot{x}_0}^2 = \frac{2\alpha_2 N^2}{2\sqrt{\alpha_2}} = \sqrt{\alpha_2} N^2$$

donc : $\sigma_{\ddot{x}_0}^2 = \sqrt{0,083774} \cdot 0,40264 = 0,116547 \text{ m}^2/\text{s}^4$.

En partant d'une valeur limite $\sigma_{\ddot{x}_1 \text{lim}}^2$, on peut déterminer la valeur de ρ correspondante et, par conséquent la dispersion de l'écart et la fonction de transfert optimum.

Or d'après les Normes hygiéniques on prend par exemple $\sigma_{\ddot{x}_1 \text{lim}}^2 = (0,19)^2 = 0,0361 \text{ m}^2/\text{s}^4$

on aura donc

$$\frac{\sigma_{\ddot{x}_1}^2}{\sigma_{\ddot{x}_0}^2} = 0,309$$

d'après le graphe on tire $\rho = 0,6 \Rightarrow \lambda = 1,5$

$$\text{et } \frac{\sigma_{x-x_2}^2}{\sigma_{\ddot{x}_0}^2} = 0,214[\text{s}^4] \Rightarrow \sigma_{x-x_2} = 0,158[\text{m}]$$

La fonction de transfert optimum est :-

$$H_{\frac{x}{x_2}} = \frac{n_5 s^5 + n_4 s^4 + n_3 s^3 + n_2 s^2 + n_1 s + n_0}{(\lambda^{1/2} s^2 + \sqrt{2} \lambda^{1/2} s + 1)(\alpha s + c)(\omega + s)}$$

d'après les tables précédentes on tire $n_5, n_4, n_3, n_2, n_1, n_0$.

$$H_{\frac{u}{u_2 \text{opt}}} = \frac{3485,32s^5 + 85296,55s^4 + 518290,8s^3 + 742822,3s^2 + 10251078 + 518922,5}{(1,22474s^2 + 1,56508s + 2)(67787,31s + 339627)(s + 7,52792)}$$

b) cas d'un système dynamique avec la même excitation :

soit $\sigma_{\ddot{u}_e, \text{lim}}^2 = (0,272)^2 m^2 / s^4$ d'après les Normes hygiéniques . on aura :

$$\frac{\sigma_{\ddot{u}_e, \text{lim}}}{\sigma_{\ddot{u}_{e0}}} = 0,385 \implies \rho = 0,5 \implies \lambda = 1$$

$$\text{et } \frac{\sigma_{\ddot{u}_{e-e_2}}^2}{\sigma_{\ddot{u}_{e0}}^2} = 0,788 \implies \sigma_{u_e - u_2} = 0,148 [m]$$

La fonction des transfert optimum est :-

$$H_{\frac{u}{u_2 \text{opt}}} = \frac{N_7s^7 + N_6s^6 + N_5s^5 + N_4s^4 + N_3s^3 + N_2s^2 + N_1s + N_0}{(As^3 + Bs^2 + Cs + E)(\Omega + s)(\alpha s + c)}.$$

$$H_{\frac{u}{u_2 \text{opt}}} = \frac{N(s)}{D(s)}$$

$$\text{avec : } N(s) = 306472,9s^7 + 7389375s^6 + 8,294372 \cdot 10^7 s^5 + \\ + 8,0056 \cdot 10^8 s^4 + 8,0056 \cdot 10^8 s^3 + 5,574139 \cdot 10^9 s^2 + \\ + 9,4145581 \cdot 10^9 s + 4,7311708 \cdot 10^9.$$

$$\text{et } D(s) = (142,688A^3 + 8160,825A^2 + 21343,28A + 7967,05) \cdot \\ (67787,31s + 339627)(s + 7,52792).$$

VI CONCLUSION

- 1- Cette étude qui a été faite, concerne la vibro-isolation d'un homme opérateur à l'intérieur d'un véhicule en mouvement, tout en supposant :
 - que notre système de vibro-isolation est linéaire, réalisable et stable.
 - qu'on vibro-isole des systèmes à paramètres discrets.
 - que les spectres de fréquences d'excitation sont connues.
- 2- On a considéré aussi qu'il n'y a que des vibrations verticales, mais en réalité il y a des mouvements et oscillations dans les trois directions de l'espace qui sont provoqués par les irrégularités de la chaussée et d'autres forces (d'accélération, de freinage, du vent, centrifuge).
- 3- En minimisant la fonctionnelle $C = \delta_{x_2-x_2}^2 + \sum_{i=1}^n \lambda_i \delta_{x_i}^2$ à l'aide de la méthode de Wiener-Hopf, on a trouvé des systèmes de vibro-isolation optimum pour deux genres d'excitations.
- 4- dans le cas du corps rigide on a eu une vibro-isolation meilleur avec l'excitation bruit blanc.
mais dans le cas du système dynamique on a eu une vibro-isolation meilleure avec l'excitation de densité spectrale $S_{\ddot{x}_0}(s) = 2\alpha_2 N^2 \frac{\Omega^2 - s^2}{(\Omega^2 + s^2)^2 - 4\alpha_2 s^2}$

- 5- le système passif (suspension) joue un rôle important pour une vibro-isolation meilleure, car il est destiné à amortir les secousses et à assurer l'adhérence permanente des roues sur le sol.
- 6- dans cette étude on a supposé que l'excitation agit directement sur la suspension. alors que réellement avant la suspension il ya l'aéronautique caractérisée par une certaine raideur et amortissement qu'en on n'a pas tenu compte. il serait intéressant de faire intervenir cet élément pour se rapprocher de la réalité.
- 7- On a développé des programmes sur le mini-ordinateur qui calculent les dispersions de l'écart et de l'accélération dans le cas des deux systèmes, et on a obtenu des courbes permettant de donner à partir d'une valeur efficace d'accélération fixée par les normes hygiéniques, la valeur efficace de l'écart et la fonction de transfert optimum du S.V. correspondantes.
- 8- il reste donc la partie réalisation physique du système de vibro-isolation qui est plus difficile, plus longue et constitue une étude de plus sérieuse.
- 9- La forme mathématique des critères de vibro-isolation est invariable, c'est seulement les paramètres d'excitation qui changent avec le type de chaussée.
- 10- pour une meilleure adaption du S.V. aux différents types d'excitation, il est souhaitable qu'une étude sera poursuivie afin d'aboutir à la conception d'un S.V. efficace pour n'importe quel type de chaussée.

1- G.C. Newton , Jr. Leonard A-Gould-James F-Kaiser.

Analytical Design of linear feedback Controls.

N.Y. John Wiley et sons , Inc London 1957.

2- WILLIAM R. PERKINS JOSE B. CRUZ , JR.

Engineering of dynamic systems.

John Wiley & Sons , Inc. N.Y., London, Sydney, Toronto

3- P. de Larinat Y. Thomas

Automatique des systèmes linéaires

1. signaux et systèmes .

4- V.A. SVETLICKIJ

Vibrations aléatoires des systèmes mécaniques.

traduit du russe par Albert Coubat.

5- Р.В. РОТЕНБЕРГ

ПОДВЕСКА АВТОМОБИЛЯ МОСКВА 1972.

6- Marek Ksiazek et C. Ahrikenscheikh.

Vibro-isolation optimum des excitations stochastiques

Promotion ENPA Juin 83.

7- Marek Ksiazek et Z. Boutaghou.

Vibro-isolation optimum d'une structure mécanique soumise
à des excitations stochastiques au voisinage d'un
dispositif de localisation.

Promotion ENPA Juin 84.

8. Marek. Ksiazk et T. REZOUNG.

Certaines formes des criteres et leurs influences
sur la vibro-isolation optimum des systemes mecaniques.

Promotion ENPA Janvier 1985.

